



ใบรับรองวิทยานิพนธ์
บัณฑิตวิทยาลัย มหาวิทยาลัยเกษตรศาสตร์

วิทยาศาสตร์มหาบัณฑิต (เทคโนโลยีและการจัดการสิ่งแวดล้อม)

ปริญญา

เทคโนโลยีและการจัดการสิ่งแวดล้อม

วิทยาศาสตร์สิ่งแวดล้อม

สาขาวิชา

ภาควิชา

เรื่อง การประยุกต์อนุภาคเหล็กกวนเลนซ์คูนย์บนดนาโนเมตร (NZVI) ในการบำบัดเมโทลาคลอร์และไซโคลไนท์

Application of Nano Zero Valent Iron Particle (NZVI) in Treating Metolachlor and Cyclonite

นามผู้วิจัย นางสาวประภัสสร สุนทร โชติ

ได้พิจารณาเห็นชอบโดย

อาจารย์ที่ปรึกษาวิทยานิพนธ์หลัก

(ผู้ช่วยศาสตราจารย์ศุภวิทย์ สถาปนจารุ, Ph.D.)

หัวหน้าภาควิชา

(ผู้ช่วยศาสตราจารย์จักรกฤษณ์ มหัจฉริยวงศ์, Ph.D.)

บัณฑิตวิทยาลัย มหาวิทยาลัยเกษตรศาสตร์รับรองแล้ว

()

(รองศาสตราจารย์กัญจนा ชีระกุล, D.Agr.)

คณบดีบัณฑิตวิทยาลัย

วันที่ เดือน พ.ศ.

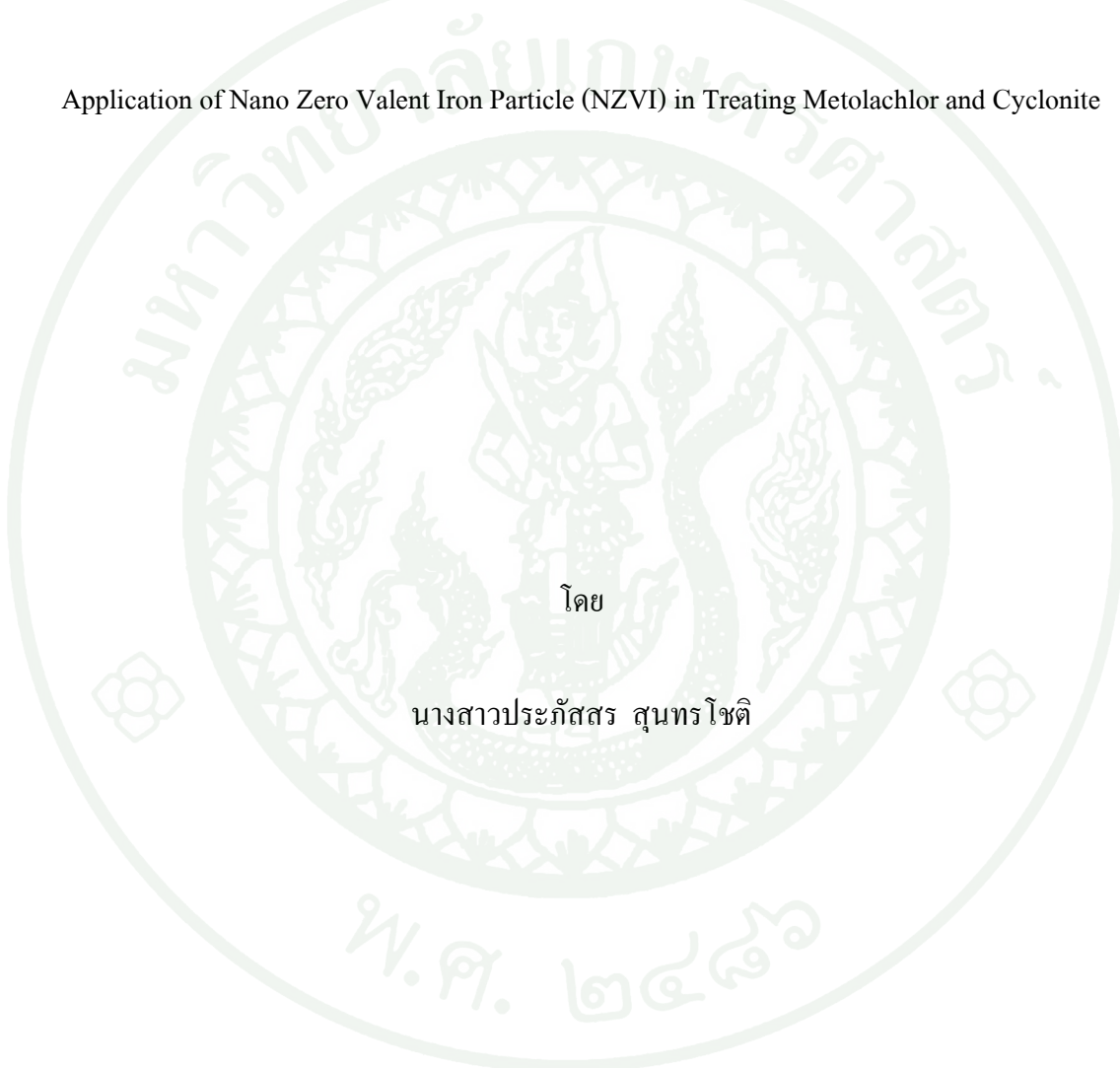
สิงหาคม มหาวิทยาลัยเกษตรศาสตร์

วิทยานิพนธ์

เรื่อง

การประยุกต์อนุภาคเหล็กวาเลนซ์ศูนย์ขนาดนาโนเมตร (NZVI)
ในการบำบัดเมทอลัคโลร์และไซโคลไนท์

Application of Nano Zero Valen Iron Particle (NZVI) in Treating Metolachlor and Cyclonite



เสนอ

บัณฑิตวิทยาลัย มหาวิทยาลัยเกษตรศาสตร์
เพื่อความสมบูรณ์แห่งปริญญาวิทยาศาสตร์มหาบัณฑิต (เทคโนโลยีและการจัดการสิ่งแวดล้อม)

พ.ศ. 2554

สิงห์ นิติวิทยานิพนธ์

ประวัติศาสตร์ สุนทร โชติ 2554: การประยุกต์อนุภาคเหล็กภาวะเลนซ์ศูนย์บนาโนเมตร (NZVI) ในการบำบัดเมทอกาลอร์และไซโคลไนท์ ปริญญาวิทยาศาสตร์มหาบัณฑิต (เทคโนโลยีและการจัดการสิ่งแวดล้อม) สาขาวิชาเทคโนโลยีและการจัดการสิ่งแวดล้อม ภาควิชาวิทยาศาสตร์สิ่งแวดล้อม อาจารย์ที่ปรึกษาวิทยานิพนธ์หลัก: ผู้ช่วยศาสตราจารย์ ตุลวิทย์ สถาปนจารุ, Ph.D. 95 หน้า

งานวิจัยนี้มีจุดประสงค์เพื่อศึกษาประสิทธิภาพของการนำอนุภาคเหล็กภาวะเลนซ์ศูนย์บนาโนเมตร (nano zero valent iron, NZVI) มาบำบัดเมทอกาลอร์และไซโคลไนท์ ผลการทดลองพบว่าเมื่อนำ NZVI ปริมาณ 1% (w/v) มาบำบัดเมทอกาลอร์ที่ความเข้มข้นเริ่มต้น 100 mg/L และเมื่อนำ NZVI ปริมาณ 0.25% (w/v) มาบำบัดไซโคลไนท์ที่ความเข้มข้นเริ่มต้น 20 mg/L ให้ประสิทธิภาพในการบำบัดสูงสุด โดยมีประสิทธิภาพมากกว่า 70 เบอร์เซ็นต์ภายในระยะเวลาสัมผัส 120 นาที จลสารสตร์ของการบำบัดสารทึ้งสองสอดคล้องกับสมการ pseudo-first-order โดยค่าคงที่ของการบำบัด (destruction rate constant, k_{obs}) เป็น $0.218 \times 10^{-3} \text{ min}^{-1}$ และ $3.91 \times 10^{-3} \text{ min}^{-1}$ สำหรับเมทอกาลอร์ และไซโคลไนท์ ตามลำดับ การศึกษาผลของค่าความเป็นกรด-ด่าง เกลือของอะลูมิเนียม รวมทั้งสภาพะออกซิเจน (aerobic condition) และสภาพะไรออกซิเจน (anaerobic condition) ในการบำบัดเมทอกาลอร์และไซโคลไนท์โดย NZVI พบว่า ประสิทธิภาพของการบำบัดเพิ่มขึ้นเมื่อค่าความเป็นกรด-ด่างลดลง ($\text{pH } 4 > \text{pH } 7 > \text{pH } 10$) และ เมื่อมีการเพิ่มปริมาณเกลือของอะลูมิเนียม ($\text{Al}_2(\text{SO}_4)_3$, AlCl_3) ใน การบำบัดสารทึ้งสองในสภาพะไรออกซิเจนยังให้ประสิทธิภาพที่ดีกว่าการบำบัดในสภาพะออกซิเจน นอกจากนี้การนำ NZVI กลับมาใช้ใหม่โดยผ่านการล้างและไม่ผ่านการล้างด้วยกรดไฮโดรคลอริกพบไม่สามารถเพิ่มประสิทธิภาพในการบำบัดทั้งเมทอกาลอร์และไซโคลไนท์

Prapatsorn Suntornchot 2011: Application of Nano Zero Valent Iron Particle (NZVI) in Treating Metolachlor and Cyclonite. Master of Science (Environmental Technology and Management), Major Field: Environmental Technology and Management, Department of Environmental Science. Thesis Advisor: Assistant Professor Tunlawit Satapanajaru, Ph.D. 95 pages.

These research objective was to study the effectiveness of nano zero valent iron (NZVI) in treating metolachlor and cyclonite. The result had showed that 1% (w/v) of NZVI dose for treating 100 mg/L metolachlor and 0.25% (w/v) of NZVI dose for treating 20 mg/L cyclonite gave the best effectiveness. The efficiency of metolachlor and cyclonite were higher than 70 % within 120 minutes. The destruction of both metolachlor and cyclonite followed pseudo-first-order kinetic reaction. The destruction rate constant (k_{obs}) was $0.218 \times 10^{-3} \text{ min}^{-1}$ for metolachlor, $3.91 \times 10^{-3} \text{ min}^{-1}$ for cyclonite. The effect of pH solutions, aluminum salts and aerobic-anaerobic conditions were determined. The effectiveness of treating both chemicals by NZVI enhanced when pH (pH 4 > pH 7 > pH 10) was decreased and aluminium salt ($\text{Al}(\text{SO}_4)_3$, AlCl_3) was added. The effectivenesses of treating metolachlor and cyclonite in anaerobic condition were higher than treating in anaerobic condition. In addition, recovery of NZVI by washing of NZVI and non washing NZVI were not able to enhance the destruction efficiencies.

Student's signature

Thesis Advisor's signature

กิตติกรรมประกาศ

ผู้วิจัยขอกราบขอบพระคุณ ผู้ช่วยศาสตราจารย์ ดร. ตูลวิทย์ สถาปนاجرุ อาจารย์ที่ปรึกษา
วิทยานิพนธ์ ที่ให้คำปรึกษาในเรื่องการเรียน การค้นคว้าวิจัย และคำแนะนำด้านต่างๆ ที่เกี่ยวกับ
งานวิจัย ตลอดจนการตรวจแก้ไขวิทยานิพนธ์จนสำเร็จสมบูรณ์

ขอขอบพระคุณ Professor Dr. Steve D. comfort, The School of Natural Resource Institute
of Agriculture and Resource, University of Nebraska Lincoln, USA. ที่ให้ความอนุเคราะห์ใช้
สถานที่ และเครื่องมือในการวิเคราะห์ตัวอย่าง ตลอดจนให้คำปรึกษา และให้แนะนำในการทำวิจัย

ขอขอบพระคุณ ผู้ช่วยศาสตราจารย์ ดร. จักรกฤษณ์ มหัจនริยวงศ์ หัวหน้าภาควิชา
วิทยาศาสตร์สิ่งแวดล้อม คณะวิทยาศาสตร์ มหาวิทยาลัยเกษตรศาสตร์ และอาจารย์ ดร. ธรรมศนีย์
พุญาสิทธิ์ อาจารย์ประจำภาควิชาวิทยาศาสตร์ทั่วไป คณะวิทยาศาสตร์ จุฬาลงกรณ์มหาวิทยาลัย
ที่ให้ความกรุณาเป็นประธานกรรมการ และผู้ทรงคุณวุฒิภายนอก ในการสอบปากเปล่าขึ้นสุดท้าย
และให้คำแนะนำ ตรวจสอบ และแก้ไขวิทยานิพนธ์

ขอขอบพระคุณศูนย์นานาประเทศโน โลยีแห่งชาติ สำนักงานพัฒนาวิทยาศาสตร์และ
เทคโนโลยีแห่งชาติที่สนับสนุนทุนวิจัย โครงการการบำบัดสารมลพิษอินทรีย์โดยใช้ออนุภาคโลหะ⁺
ขนาดนาโนที่มีคิดติดกับวัสดุที่มีพื้นผิวปรับสภาพประจำปี 2551 และบัญชีวิทยาลัยที่สนับสนุน
ทุนอุดหนุนการค้นคว้า และวิจัยประเภทวิทยานิพนธ์ ระดับบัณฑิตศึกษาประจำปีงบประมาณ 2553
และทุนสนับสนุนการเสนอผลงานวิจัยแบบปากเปล่าในการประชุมวิชาการระดับนานาชาติ ปี 2553

สุดท้ายนี้ขอกราบขอบพระคุณ คุณพ่อ คุณแม่ น้องสาว และญาติๆ ตลอดจนเพื่อนๆ
ปริญญาตรีสิ่งแวดล้อมรุ่นที่ 9 เพื่อนปริญญาโทรุ่นที่ 4 พี่ๆ และน้องๆ ภาควิชาวิทยาศาสตร์
สิ่งแวดล้อม ตลอดจนเพื่อนและพี่ที่ University of Nebraska Lincoln ที่ให้การสนับสนุนและเป็น
กำลังใจให้ผู้วิจัยมาโดยตลอด และขอขอบพระคุณผู้ที่ให้ความช่วยเหลือ และให้คำแนะนำในการทำ
วิทยานิพนธ์เล่มนี้ซึ่งมิได้อยู่นามในที่นี่ทุกๆ ท่าน

ประภัสสร สุนทรโชติ
กุมภาพันธ์ 2554

สารบัญ

หน้า

สารบัญ	(1)
สารบัญตาราง	(2)
สารบัญภาพ	(4)
คำอธิบายสัญลักษณ์และคำย่อ	(6)
คำนำ	1
วัตถุประสงค์	3
การตรวจเอกสาร	4
อุปกรณ์และวิธีการ	45
อุปกรณ์	45
วิธีการ	47
ผลและวิจารณ์	58
สรุปและข้อเสนอแนะ	83
สรุป	83
ข้อเสนอแนะ	83
เอกสารและสิ่งอ้างอิง	84
ภาคผนวก	92
ประวัติการศึกษาและการทำงาน	95

สารบัญตาราง

ตารางที่	หน้า
1 ค่าครึ่งชีวิตและ LD ₅₀ ของสารปรับศักดิ์พืช	7
2 ปริมาณและการนำเข้าของสารอันตราย	13
3 สารกำจัดวัชพืชในกลุ่มฟอสเฟตอินทรี (organophosphorus herbicides)	14
4 สารกำจัดวัชพืชในกลุ่มฟีโนξอคซี (phenoxyacetic herbicides)	15
5 สารกำจัดวัชพืชในกลุ่มเบนโซอิก (benzoic acid herbicides)	16
6 สารกำจัดวัชพืชในกลุ่มไดโน ไตรอะนิลีน (dinitroaniline herbicides)	17
7 สารกำจัดวัชพืชในกลุ่มเอมาไซด์ (amide herbicides)	18
8 สารกำจัดวัชพืชในกลุ่มคาร์บามेटและไทโอดีนาร์บามेट (carbamates and thiocarbamates herbicides)	19
9 สารกำจัดวัชพืชในกลุ่มไนทริล (nitrile herbicides)	20
10 สารกำจัดวัชพืชในกลุ่มซิมเมต्रิกอลไตรอะซีน (symeticaltriazine herbicides)	21
11 สารกำจัดวัชพืชในกลุ่มยูเรีย (urea herbicides)	22
12 สารกำจัดวัชพืชในกลุ่มยูราซิล (uracil herbicides)	23
13 สารกำจัดวัชพืชในกลุ่มไบโพริดิลีียม (pyrimidium herbicides)	24
14 คุณลักษณะทางกายภาพและทางเคมีของเมโทลาคลอร์	25
15 ค่า K _{oc} , K _d ของเมโทลาคลอร์	26
16 สารก่อระเบิดกลุ่มไนตรามีน (nitramine)	29
17 สารก่อระเบิดกลุ่มไนโตรอะโรมาติก (nitroaromatics)	30
18 สารจุดระเบิด	30
19 คุณลักษณะทางกายภาพและทางเคมีของไฮโครไนท์	32
20 ค่าคงที่การนำบัด (destruction rate constant, k _{obs}) และค่าคงที่จำเพาะการเกิดปฏิกิริยา (specific reaction rate constant, k _{SA}) ของเมโทลาคลอร์โดยใช้ NZVI	62
21 ค่าคงที่การนำบัด (destruction rate constant, k _{obs}) เมโทลาคลอร์โดยใช้ NZVI ปริมาณ 1% (w/v) อะลูมิเนียมซัลเฟต (Al ₂ (SO ₄) ₃) และอะลูมิเนียมคลอไรด์ (AlCl ₃) ปริมาณ 0.05% (w/v) และ 0.1% (w/v))	67

สารบัญตาราง (ต่อ)

ตารางที่	หน้า
22 ค่าคงที่การนำบัด (destruction rate constant, k_{obs}) และค่าคงที่จำเพาะการเกิดปฏิกิริยา (specific reaction rate constant, k_{SA}) เมื่อ添加คลอร์ โดยใช้ NZVI ภายใต้สภาวะออกซิเจน (aerobic condition) และสภาวะไร้ออกซิเจน (anaerobic condition)	68
23 ค่าคงที่การนำบัด (destruction rate constant, k_{obs}) และค่าคงที่จำเพาะการเกิดปฏิกิริยา (specific reaction rate constant, k_{SA}) ของไฮโครไนท์ โดยใช้ NZVI	72
24 ค่าคงที่การนำบัด (destruction rate constant, k_{obs}) ของการนำบัด ไฮโครไนท์ โดยใช้ NZVI ปริมาณ 0.25 % (w/v) อะลูมิเนียมชัลเฟต ($\text{Al}_2(\text{SO}_4)_3$) และอะลูมิเนียมคลอไรด์ (AlCl_3) ปริมาณ 0.05 % (w/v) และ 0.1% (w/v)	78
25 ค่าคงที่การนำบัด (destruction rate constant, k_{obs}) และค่าคงที่จำเพาะการเกิดปฏิกิริยา (specific reaction rate constant, k_{SA}) ของไฮโครไนท์ โดยใช้ NZVI ภายใต้สภาวะออกซิเจน (aerobic condition) และสภาวะไร้ออกซิเจน (anaerobic condition)	80

สารบัญภาพ

ภาพที่	หน้า
1 สูตร โครงสร้างทางเคมีของ (ก) กรด ไพริดิน (ข) พิคอลเรม	17
2 โครงสร้างทางเคมีของเมโทลาคลอร์	25
3 สูตร โครงสร้างทางเคมีของ ใน โทรกลีเชอรัล	28
4 โครงสร้างทางเคมีของ ไซโครไนท์	31
5 การใช้อุปกรณ์เหล็กขนาดนาโนเมตรสำหรับบำบัดของเสียอันตรายที่ปนเปื้อนในตัวกลางต่างๆ	39
6 รูปแบบการนำอนุภาคเหล็กขนาดนาโนเมตรมาใช้บำบัดน้ำได้ดีที่สุดที่ปนเปื้อนจริง ^{(ก) แนวกำแพงปฏิกิริยา (permeable reactive barrier, PRB) (ข) การใช้โดยตรง (injection well)}	39
7 ปฏิกิริยาอันดับศูนย์ (zero order)	41
8 ปฏิกิริยาอันดับหนึ่ง (first order) และปฏิกิริยาอันดับสอง (second order)	42
9 (ก) ตู้ปราศจากอากาศ (anaerobic chamber)(ข) อนุภาคเหล็กขนาดนาโนเมตร หลังจากการเหวี่ยงด้วยความเร็วรอบ 4,000 รอบต่อนาที เป็นเวลา 40 นาที	47
10 อนุภาคเหล็กขนาดนาโนเมตรหลังจากที่ใช้บำบัดเมโทลาคลอร์และไซโครไนท์	51
11 อนุภาคเหล็กขนาดนาโนเมตร (NANOFE 25S) ที่ได้จากบริษัท Nanoiron,S.R.O.	58
12 (ก) ลักษณะของอนุภาคเหล็กขนาดนาโนเมตร (NANOFE 25S) โดยกล้องจุลทรรศน์อิเล็กตรอนแบบส่อง粒粒 (Scanning Electron Microscope, SEM) และ (ข) องค์ประกอบของอนุภาคเหล็กขนาดนาโนเมตร(Nanofer 25s)โดย Energy-dispersive X-ray spectroscopy (EDX))	59
13 การบำบัดเมโทลาคลอร์ความเข้มข้นเริ่มต้น 100 mg/L โดยใช้ NZVI ปริมาณ 0.5 % (w/v) 1% (w/v) และ 5% (w/v)	61
14 การบำบัดเมโทลาคลอร์ที่ความเข้มข้นเริ่มต้น 100 mg/L ที่มีค่าความเป็นกรด-ด่าง 4.7 และ 10 โดยใช้ NZVI ปริมาณ 1% (w/v)	64
15 การบำบัดเมโทลาคลอร์ที่ความเข้มข้นเริ่มต้น 100 mg/L โดยใช้ NZVI ปริมาณ 1%(w/v) (ก) อะลูมิเนียมชัลเฟต ($Al_2(SO_4)_3$) และ(ข) อะลูมิเนียมคลอไรด์ ($AlCl_3$) ปริมาณ 0.05% (w/v) และ 0.1% (w/v)	66

สารบัญภาพ (ต่อ)

ภาพที่	หน้า
16 การเกิดปฏิกิริยา dehalogenation (ก) ที่ผิวของเหล็ก (ข) โดยผ่านตัวกลาง (ค) ที่เกี่ยวข้องกับไฮโดรเจน	69
17 การบำบัดไฮโครไนท์ที่ความเข้มข้นเริ่มต้น 20 mg/L โดยใช้ NZVI ปริมาณ 0.05 % (w/v) 0.1% (w/v) และ 0.25% (w/v)	70
18 วิถีทาง (pathway) ของการบำบัดไฮโครไนท์โดยอนุภาคเหล็กขนาดนาโนเมตร	71
19 การบำบัดไฮโครไนท์ที่ความเข้มข้นเริ่มต้น 20 mg/L ที่มีค่าความเป็นกรด-ด่าง 4.7 และ 10 โดยใช้ NZVI ปริมาณ 0.25% (w/v)	75
20 การบำบัดไฮโครไนท์ที่ความเข้มข้นเริ่มต้น 20 mg/L โดยใช้ NZVI ปริมาณ 0.25% (w/v) (ก) อะลูมิเนียมซัลเฟต ($\text{Al}_2(\text{SO}_4)_3$) และ (ข) อะลูมิเนียมคลอไรด์ (AlCl_3) ปริมาณ 0.05% (w/v) และ 0.1% (w/v)	77
21 (ก) การเกิดสนิมเหล็ก และ(ข) การกัดกร่อน ของเหล็ก	78
22 การบำบัด (ก) เมโทลากลอร์ที่ความเข้มข้น 100 mg/L โดย RNZVI และ ANZVI ปริมาณ 1% (w/v) และ(ข) ไฮโครไนท์ที่ความเข้มข้น 20 mg/L โดย RNZVI และ ANZVI ปริมาณ 0.25% (w/v)	82

คำอธิบายสัญลักษณ์และคำย่อ

ANZVI	=	Aged Nano Zero Valent Iron
C_0	=	Initial concentration
C	=	Residual concentration
k_{obs}	=	Destruction rate constant
k_{SA}	=	Specific reaction rate
NZVI	=	Nano Zero Valent Iron
RNZVI	=	Recovery Nano Zero Valent Iron

การประยุกต์อนุภาคเหล็กขาวเลนซ์คูนย์นาดาโนแมตร (NZVI) ในการบำบัดเม托ลาคลอร์และไซโคลไนท์

Application of Nano Zero Valent Iron Particle (NZVI) in Treating Metolachlor and Cyclonite

คำนำ

ปัจจุบันทั่วโลกได้เล็งเห็นและตระหนักในเรื่องของเสียอันตรายที่มีปริมาณเพิ่มขึ้น ในสิ่งแวดล้อม อันจะส่งผลกระทบต่อสภาพแวดล้อม และสุขภาพอนามัยของมนุษย์และสิ่งมีชีวิต ซึ่งของเสียอันตรายมีอยู่มากหลายประเภท แบ่งเป็นของเสียอันตรายประเภทสารอินทรีย์ (inorganic pollutant) ที่พบมากมักเป็นสารก่อภัย โลหะหนัก และของเสียอันตรายประเภทสารอินทรีย์ (organic pollutant) ซึ่งมีหลายชนิดที่ปะปื้นในสิ่งแวดล้อม อาทิเช่น สารกำจัดศัตรูพืชและสัตว์ สารก่อระเบิด ตัวทำละลาย เป็นต้น โดยของเสียอันตรายประเภทสารอินทรีย์เหล่านี้มักขึ้นอยู่กับ พื้นที่บริเวณน้ำหรือบริเวณใกล้เคียง เช่นพื้นที่เกษตรมักพบกลุ่มสารกำจัดศัตรูพืชและสัตว์ พื้นที่อุตสาหกรรมของกองทัพ หรือโรงงานผลิตอาวุธสงครามมักพบกลุ่มสารก่อระเบิด

สารกำจัดศัตรูพืชและสัตว์ (pesticide) เป็นสารอินทรีย์หรือสารอินทรีย์ใช้ช้า ทำลาย ปราบ หรือกำจัดสิ่งมีชีวิต ซึ่งอาจเป็นสัตว์หรือพืชที่มนุษย์ถือว่าเป็นศัตรูพืช และศัตรูของสัตว์หรือ พืชที่มนุษย์เลี้ยงหรือปลูกไว้และต้องการป้องกัน โดยจะรวมถึงยาฆ่าแมลง (insecticide) ยากำจัดวัชพืช (herbicide) ยาฆ่าเชื้อรา (fungicide) ยากำจัดหนูและสัตว์จำพวกแทะ (rodenticide) สำหรับในประเทศไทยมีปริมาณและการนำเข้าของสารกำจัดวัชพืชในปริมาณที่มากกว่าสารกำจัด ศัตรูพืชชนิดอื่น และมีแนวโน้มเพิ่มมากขึ้น (สำนักควบคุมและวัสดุการเกษตร, 2553) การเพิ่มขึ้น ของปริมาณสารกำจัดวัชพืช อาจเนื่องมาจากการเพิ่มพื้นที่เพาะปลูกทางการเกษตร เพื่อให้เพียงพอ ต่อการบริโภคของมนุษย์ จึงทำให้เกิดสารตกค้างในสิ่งแวดล้อมตามมา

สารก่อระเบิด (explosive material) เป็นของแข็งหรือของเหลว หรือสารผสมที่สามารถ เกิดปฏิกิริยาทางเคมีด้วยตัวมันเอง ทำให้เกิดก๊าซที่มีความดันและความร้อนอย่างรวดเร็ว ก่อให้เกิด การระเบิดสร้างความเสียหายแก่บริเวณโดยรอบ ได้ สารก่อระเบิดมีทั้งชนิดไม่รุนแรง เช่น ดอกไม้ไฟ ประทัด ดินปืน เป็นต้น และชนิดที่รุนแรง เช่น สาร 2,4,6-ไตรไนโตรโทลูอิน

(2,4,6-trinitrotoluene; TNT) สารไชโโคไตรเมทิลีนไนตรามีน (cyclotrimethylene-nitramine; RDX) ซึ่งในประเทศสหรัฐอเมริกาพื้นที่บุหูโซ่ปรอร์ของกองทัพเก่ามีการป่นเมืองของสารก่อระเบิดมากกว่าพื้นที่ชุมชนทั่วไป (globalsecurity, 2010) อาทิเช่น กรมสารพูดของรัฐเนบรัสกา (Nebraska Ordnance Plant; NOP) ประเทศสหรัฐอเมริกา พนว่ามีปริมาณการป่นเมืองของไชโโคร์ไนท์ในเดือนมากกว่า 5,000 มิลลิกรัมต่อ กิโลกรัม (Hundal *et al.*, 1997)

นาโนเทคโนโลยีเป็นเทคโนโลยีใหม่ที่หล่อฯ ประเทศให้ความสนใจ เนื่องจากสามารถนำเข้าไปประยุกต์ใช้ได้ทั่วหลาย ๆ ด้าน ไม่ว่าจะเป็นทางด้านอาหาร เสื้อผ้า อุปกรณ์อิเล็กทรอนิกส์ ตลอดจนงานด้านสิ่งแวดล้อมและการบำบัดของเสียอันตราย ซึ่งมีการทดลองใช้ออนุภาคเหล็กวาเลนเซี่ยนย์ขนาดนาโนเมตร(nano zero valent iron, NZVI) ในการบำบัดของเสียอันตรายที่ป่นเมืองในสิ่งแวดล้อม อาทิเช่น nitrobenzene (Bai *et al.*, 2009), trichlorobenzene (Zhu *et al.*, 2008), atrazine (Satapanajaru, 2008) เป็นต้น เนื่องจาก NZVI มีขนาดเล็ก พื้นที่ผิวสัมผัสดense surface area) ที่มากกว่าเหล็กขนาดปกติ และยังเป็นตัว reducing agent ที่รุนแรงเมื่อเทียบกับสารเคมีตัวอื่น จึงทำให้มีประสิทธิภาพในการบำบัดสูง อีกทั้ง NZVI ยังปลดปล่อยตัวสิ่งแวดล้อมด้วย (ชีวนันท์, 2552)

งานวิจัยนี้จึงมุ่งศึกษาการนำ NZVI มาใช้บำบัดสารมาลพิษอินทรีย์กลุ่มสารกำจัดศัตรูพืช (herbicide) และสารก่อระเบิด (explosive) และทำการศึกษาผลของค่าความเป็นกรด-ด่าง (pH) เกลือของอะลูมิเนียม (aluminium salt) รวมทั้งสภาวะที่มีออกซิเจน (aerobic condition) และสภาวะไร้ออกซิเจน (anaerobic condition) ต่อการบำบัดสารมาลพิษทั้งสองกลุ่มนี้ เพื่อดูปัจจัยใดมีผลต่อการบำบัดโดย NZVI หากนำไปใช้พื้นฟื้นที่ที่ป่นเมืองจริง อีกทั้งยังศึกษาความเป็นไปได้ในการนำ NZVI กลับมาใช้ใหม่เพื่อเป็นการลดค่าใช้จ่าย และใช้ทรัพยากรที่มีอยู่อย่างคุ้มค่า

วัตถุประสงค์

1. ศึกษาประสิทธิภาพของการนำบัดเม โทลากลอร์และไซโโครไนท์โดยกระบวนการรีดกัชั่น (reduction) โดย NZVI
2. เปรียบเทียบผลของ NZVI ในการนำบัดเม โทลากลอร์และไซโโครไนท์ในสภาพที่มีออกซิเจน-สภาวะ ไวร์ออกซิเจน ผลของความเป็นกรด-ด่าง และผลของเกลืออะลูมิเนียม
3. ศึกษาประสิทธิภาพของการนำกลับมาใช้ใหม่ของ NZVI ในการนำบัดเม โทลากลอร์และไซโโครไนท์

การตรวจเอกสาร

1. ผลพิษและภาวะมลพิษ

มลพิษ หมายถึง ของเสีย วัตถุอันตราย และมลสารอื่น ๆ รวมทั้งกาก ตะกอน หรือสิ่งตกค้างที่ถูกปล่อยทิ้งจากแหล่งกำเนิดมลพิษ หรือที่มีอยู่ในสิ่งแวดล้อมตามธรรมชาติ ซึ่งก่อให้เกิดผลกระทบต่อคุณภาพสิ่งแวดล้อมหรือเป็นอันตรายต่อสุขภาพอนามัยของประชาชน โดยสารมลพิษนี้รวมถึง รังสี ความร้อน แสง เสียง กลิ่น ความลั่นสะเทือน หรือเหตุร้ายๆ อื่นๆ ที่เกิดหรือถูกปล่อย ออกจากแหล่งกำเนิดมลพิษด้วย (กรมควบคุมมลพิษ, 2535)

ภาวะมลพิษ หมายถึง สภาวะที่สิ่งแวดล้อมเปลี่ยนแปลงหรือปนเปื้อน โดยมลพิษซึ่งทำให้คุณภาพของสิ่งแวดล้อมเสื่อม โกรธลง เช่น มลพิษทางนำ ไมลพิษทางอากาศ มลพิษในดิน มลพิษทางเสียง เป็นต้น (กรมควบคุมมลพิษ, 2535)

2. ของเสียอันตราย

2.1 ความหมายของเสียอันตราย

ของอันตรายหรือของเสียอันตราย (Hazardous Waste) หมายถึง ของเสียที่มีองค์ประกอบหรือปนเปื้อนหรือมีลักษณะความเป็นอันตรายได้แก่ระบิดได้ ไวไฟ ก่อให้เกิดปฏิกิริยาrunแรง (ออกซิไซด์และเปอร์ออกไซด์) มีพิษ ก่อให้เกิดโรค ก้มมันตรังสี ก่อให้เกิดการเปลี่ยนแปลงทางพันธุกรรม กัดกร่อน ก่อให้เกิดการระคายเคือง และอันตรายอย่างอื่น ไม่ว่าจะเป็นเคมีภัณฑ์ หรือสิ่งอื่นใดที่อาจทำให้เกิดอันตรายแก่บุคคล สัตว์ พืช ทรัพย์สิน หรือสิ่งแวดล้อม (กรมควบคุมมลพิษ, 2535)

2.2 แหล่งที่มาของเสียอันตราย

ของเสียในสิ่งแวดล้อมอาจมีที่มาจากการแหล่งธรรมชาติ เกิดขึ้นและถูกปล่อยจากประกอบการณ์ธรรมชาติ เช่น ภูเขาไฟระเบิด เป็นต้น นอกจากนี้ยังมีการปนเปื้อนที่เกิดจากกิจกรรมของมนุษย์ ของเสียอาจมีการร้าวไหล หรือปล่อยออกสู่สิ่งแวดล้อมแบบที่ตั้งใจ และไม่ตั้งใจ โดยแหล่งที่มาของของเสียอันตรายสามารถแบ่งออกได้เป็น 2 แหล่งหลักดังนี้ (อธิสา, 2553)

2.2.1 แหล่งที่มาแบบระบุตำแหน่งได้ (point source)

เป็นแหล่งของเสียอันตรายที่สามารถระบุแหล่งที่มาได้อย่างชัดเจน เช่น จุดปล่อยของเสียของอุตสาหกรรม (industrial discharge) เตาเผาของอุตสาหกรรม (industrial waste incinerator) ระบบบำบัดของเสีย เป็นต้น

2.2.2 แหล่งที่มาแบบไม่สามารถระบุตำแหน่ง (non-point source)

เป็นแหล่งของเสียอันตรายที่ไม่สามารถระบุได้อย่างชัดเจน เช่น ของเหลวที่ไหลจากแหล่งเกย์ตระกอนที่ปนเปื้อนด้วยสารปริมาณมาก โดยของเสียอันตรายที่เกิดขึ้นจากการสังเคราะห์โดยมนุษย์เพื่อใช้ในกิจกรรมต่างๆ แหล่งของการผลิตสารเป็นสถานที่หนึ่งที่เป็นแหล่งกำเนิดหรือแหล่งที่มาของของเสียอันตรายที่สำคัญ นอกจากการผลิตแล้วเมื่อสารถูกขนส่งไปยังแหล่งที่มีการใช้ไม่ว่าจะเป็นแหล่งเพาะปลูกทางการเกษตร แหล่งอุตสาหกรรมต่างๆ แหล่งการใช้สารเหล่านี้ก็เป็นแหล่งที่มาที่สำคัญแหล่งหนึ่งที่นำไปสู่การรั่วไหลและการปนเปื้อนสู่สิ่งแวดล้อม การรั่วไหลของของเสียอันตรายจากการผลิตและกระบวนการใช้สารเหล่านี้จึงเป็นแหล่งที่มาที่เกิดอย่างไม่ตั้งใจ ภายหลังจากการผลิตและการใช้สารเหล่านี้ในกระบวนการต่างๆ แล้วสารที่เหลือจากกระบวนการส่วนมากจะถูกส่งไปยังระบบบำบัดก่อนปล่อยออกระบบบำบัดนี้เองจึงเป็นแหล่งที่มาอีกแหล่งหนึ่งที่สำคัญ เนื่องจากเป็นรอยต่อของการปล่อยของเสียสู่สิ่งแวดล้อม ระบบบำบัดจึงมีความสำคัญมากในการรวบรวมสารมลพิษต่างๆ เข้าไว้ด้วยกันจึงทำให้ความเข้มของสารอยู่ในระดับสูง หากกระบวนการบำบัดไม่เหมาะสม หรือไม่มีประสิทธิภาพดีเท่าที่ควร การปล่อยออก (discharge) ของของเสียจากระบบบำบัดจะเป็นการปล่อยของเสียที่มีความเข้มข้นสูงออกสู่สิ่งแวดล้อม โดยตรง ซึ่งเป็นการปล่อยออกแบบตั้งใจและส่งผลกระทบต่อสิ่งแวดล้อมและสิ่งมีชีวิตในสิ่งแวดล้อมนั้นๆ

2.3 ประเภทของเสียอันตราย

เนื่องจากมลพิษเป็นอันตรายต่อสิ่งแวดล้อม (ดิน น้ำ อากาศ) ต่อมนุษย์ และสิ่งมีชีวิต ต่างๆ ในสิ่งแวดล้อม ดังนั้นสารมลพิษจึงควรครอบคลุมถึงของเสียอันตราย มูลฝอยติดเชื้อ (infectious waste) และน้ำชาขยะมูลฝอย (leachate) ซึ่งสารเหล่านี้มีอันตรายต่อสิ่งแวดล้อม และสิ่งมีชีวิต เช่นกัน จึงได้มีการแยกของเสียอันตรายเป็นกลุ่มโดยอาศัยเกณฑ์ต่างๆ ดังนี้ (อธิสา, 2553)

2.3.1 สารมลพิษที่มีความสำคัญ (priority pollutant) สารมลพิษที่มีลักษณะดังต่อไปนี้ จัดว่าเป็นสารมลพิษที่ก่อให้เกิดผลเสียต่อสิ่งแวดล้อมและสิ่งมีชีวิตสูง สารมลพิษในกลุ่มนี้จะ จำแนกจากลักษณะดังนี้

2.3.1.1 ปริมาณของสารมลพิษที่มีการผลิตและปล่อยออกสู่สิ่งแวดล้อม
สารเคมีบางชนิดพบมากในกระบวนการผลิตของภาคอุตสาหกรรม ซึ่งการใช้และการผลิตสารเคมี ในปริมาณมากอาจส่งผลให้มีการร้าวไหลและปนเปื้อนออกสู่สิ่งแวดล้อมผ่านทางกระบวนการ บำบัดที่ไม่เหมาะสม และในบางครั้งเกิดจากการร้าวไหลหรืออุบัติเหตุในการขนส่ง ฯลฯ ซึ่งผลที่ เกิดขึ้นจะเป็นอันตรายต่อสิ่งแวดล้อม สารเหล่านี้จัดเป็นสารมลพิษที่ถูกปล่อยออกแบบไม่ตั้งใจ ตัวอย่างสารที่มีการผลิตในปริมาณมากและมีการปนเปื้อนและตกค้างในสิ่งแวดล้อม เช่น สารคลอโรเบนซิน เบนซิน เป็นต้น ในทางตรงกันข้ามการปนเปื้อนตกค้างในสิ่งแวดล้อมของ สารประกอบบางชนิดเกิดจากความตั้งใจของมนุษย์ เช่น การปนเปื้อนตกค้างของสารปราบศัตรูพืช ในคืนซึ่งเกิดจากความตั้งใจใช้ในการเกษตรกรรม เป็นต้น

2.3.1.2 ความคงทนของสารมลพิษเหล่านี้ในสิ่งแวดล้อม (persistant)
สารมลพิษที่มีความคงทนสูงในสิ่งแวดล้อมจัดว่าเป็นสารมลพิษที่สามารถก่อให้เกิดผลเสียต่อ สิ่งแวดล้อม ได้สูง เนื่องจากความคงทนของสารมลพิษในสิ่งแวดล้อมจะเป็นการเพิ่มโอกาส ในการเสียหาย การสัมผัส รับเข้าสู่ และสะสมในร่างกายของสิ่งมีชีวิต และก่อให้เกิดผลเสียตามมา นอกเหนือความคงทนในสิ่งแวดล้อมสูงยังแสดงถึงความยากต่อการย่อยสลายด้วยกระบวนการทาง เคมีและกายภาพ และการที่สารเหล่านี้คงทนในสิ่งแวดล้อมได้นาน จะเป็นการเพิ่มการกระจายตัว และสร้างความเสียหายต่อสิ่งมีชีวิตในสิ่งแวดล้อมได้มากขึ้น โดยค่าความคงทนของสารมลพิษ แต่ละชนิดสามารถวัดได้จากค่า residence time หรือค่าครึ่งชีวิต (half life) ตัวอย่างของค่าครึ่งชีวิต ของสารกำจัดศัตรูพืชแสดงในตารางที่ 1

เนื่องจากสารมลพิษที่มีความคงทนในสิ่งแวดล้อมสามารถส่งผลเสียอย่างมากต่อสิ่งมีชีวิต ในสิ่งแวดล้อมนั้นๆ และสิ่งแวดล้อมใกล้เคียง ดังนั้น The UN Environmental Program (UNEP) จึงได้จำแนกสารมลพิษที่มีลักษณะสมบัตินี้เป็นกลุ่มของสารมลพิษอีกกลุ่มนั่น ซึ่งเป็นกลุ่มของเสียที่มีความคงทนในสิ่งแวดล้อมและคงทนต่อการย่อยสลายทางเคมี ชีวภาพและกายภาพ ซึ่งเรียกว่า persistent organic pollutants (POPs) ตัวอย่างของสารมลพิษที่มีความคงทนในสิ่งแวดล้อมสูง ได้แก่ สารประกอบคลอรีนและสารที่มีไฮโลเจนเป็นองค์ประกอบ (chlorinated compound / halogenated compounds) ได้แก่ สารปราบศัตรูพืชอลดริน (aldrin) คลอร์เดน(chlordane) ดีดีที (DDT) ไดเอลดริน (dieldrin) เอปตากลอร์ (heptachlor) ไมเร็กซ์ (mirex) เอกชาคลอโรเบนเซน (hexachlorobenzene) สาร polychlorinated biphenyl (PCBs) สาร polychlorinated dibenzo-*p*-dioxins และสาร polychlorinated dibenzofurans เป็นต้น

ตารางที่ 1 ค่าครึ่งชีวิต และ LD₅₀ ของสารปราบศัตรูพืช

สารปราบศัตรูพืช	ประเภท ของสารออกฤทธิ์	ค่า LD ₅₀ ต่อสัตว์เลี้ยง สูงด้วยนม (mg/L)	ค่าครึ่งชีวิต (วัน)
คลอร์ไพริฟอส (chlorpyrifos)	สารกำจัดแมลง	135 – 163	10 – 120
พาราไซอ่อน (parathion)	สารกำจัดแมลง	2 – 10	30 -180
ไกลโฟเฟต (glyphosate)	สารกำจัดวัชพืช	3,530 – 5,600	30 – 174
ฟีนา靡ฟอส (fenamiphos)	สารกำจัดหนอน	6 -10	28 - 90

ที่มา: Sigh and Walker (2006)

2.3.1.3 การสะสมของสารมลพิษในสิ่งแวดล้อม (bioaccumulation)

เป็นการสะสมของสารมลพิษในสิ่งมีชีวิตโดยการดูดซับไว้ในร่างกายมากกว่าการขับถ่าย สารเหล่านี้จะออกมายังน้ำที่มีความคงทนต่อสิ่งแวดล้อมหรือมีค่าครึ่งชีวิตสูงจะส่งผลให้เกิดอันตรายต่อสิ่งมีชีวิตได้ ตัวอย่างของการสะสมสารมลพิษสูงกว่าสิ่งมีชีวิตได้แก่ การทำงานของมนุษย์ในสิ่งมีชีวิตที่ป่นเปื้อนด้วยสารมลพิษprotothilomero-cis ซึ่งสารมลพิษนี้

เป็นสารที่ละลายน้ำน้อย และละลายได้ดีในไขมัน ดังนั้นมีอ่อนนุ่มยืดหยุ่นเป็นตัวยาสามารถพิษนี้ และดูดซับสารนี้เข้าร่างกาย สารมลพิษจะถูกกล้ามเลืองไปส่วนต่างๆ ของร่างกายรวมทั้งสะโพกอยู่ใน อวัยวะต่างๆ ของมนุษย์ เช่น ไต ตับ และสมอง การสะสมสารมลพิษนี้ในสมองส่งผลให้เกิดภาวะ protothimercury poisoning (mercury poisoning) ก่อให้เกิดความเสียหายต่อระบบประสาทของมนุษย์ในที่สุด

2.3.1.4 ความเป็นพิษของสารมลพิษต่อสิ่งมีชีวิตในสิ่งแวดล้อม (toxicity)

ความเป็นพิษของสารมลพิษส่งผลเสียอย่างร้ายแรงต่อสิ่งมีชีวิตในสิ่งแวดล้อมไม่ว่าจะเป็นมนุษย์ สัตว์ พืช โดยที่ความเป็นพิษของสารมลพิษแต่ชนิดจะขึ้นอยู่กับปริมาณหรือระดับความเข้มข้นของ สารมลพิษที่สิ่งมีชีวิตได้รับ (dose dependent) ความเป็นพิษที่มีต่อนุษย์สามารถพิจารณาได้จากค่า LD₅₀ (lethal dose 50) ซึ่งความเข้มข้นโดยน้ำหนักของสารที่ทำให้สิ่งมีชีวิตที่ตรวจสอบตายในอัตรา ร้อยละ 50 หน่วยของ LD₅₀ คือมิลลิกรัมต่อกิโลกรัม ซึ่งหมายถึงมิลลิกรัมสารมลพิษที่ทำให้อัตรา การตายของสิ่งมีชีวิตเป็นร้อยละ 50 เมื่อคิดเทียบต่อกิโลกรัมน้ำหนักของสิ่งมีชีวิตนั้นๆ โดยตัวอย่าง ของค่า LD₅₀ ของสารกำจัดศัตรูพืชแสดงในตารางที่ 1 ผลเสียที่เกิดกับสิ่งมีชีวิตจากการเป็นพิษของ สารมลพิษอาจเกิดแบบเฉียบพลัน (acute toxicity) หรือส่งผลเสียแบบเรื้อรัง (chronic toxicity)

2.3.2 แหล่งที่มาของสารมลพิษ

การปนเปื้อนของมลพิษในสิ่งแวดล้อมสามารถเกิดได้จากการกระบวนการ ทางชุมชนชาติ และกิจกรรมของมนุษย์ ดังนี้

2.3.2.1 กระบวนการทางชุมชนชาติ อาทิเช่น

การเกิดไฟป่าที่เกิดจากการกระบวนการทางชุมชนชาติ เป็นสาเหตุทำให้ เกิดการปนเปื้อนของสารอินทรีย์ชนิดโพลีไซคลิกอะโรมาติกไฮdrocarbons (polycyclic aromatic hydrocarbons; PAHs) ซึ่งเป็นสารก่อมะเร็งชนิดหนึ่ง

2.3.2.2 กิจกรรมของมนุษย์ อาทิเช่น

กิจกรรมทางการเกษตร เช่น การใส่สารเคมีบางชนิดลงในดิน หรือการ ฉีดพ่นสารปราบศัตรูพืช สารฆ่าแมลง เป็นต้น

กระบวนการผลิตของอุตสาหกรรม โดยสารมลพิษมักเกิดในขั้นตอนต่างๆ ของกระบวนการผลิต ซึ่งหากไม่มีการจัดการที่เหมาะสมหรือเกิดอุบัติเหตุ จะทำให้เกิดการปนเปื้อนสู่สิ่งแวดล้อมได้

2.3.3 ลักษณะและระดับความเป็นอันตรายของเสียอันตราย

องค์การพิทักษ์สิ่งแวดล้อมของประเทศไทย (United States Environmental Protection Agency (U.S. EPA), 2004) ได้แบ่งลักษณะสมบัติเบื้องต้นของเสียอันตราย 4 ลักษณะ ได้แก่

2.3.3.1 สมบัติการกัดกร่อน (corrosivity) โดยของเสียอันตรายประเภทนี้มีความเป็นกรดสูง ($\text{pH} < 2$) หรือเป็นด่างสูง ($\text{pH} > 12.5$) โดยจะมีฤทธิ์ในการกัดกร่อนเนื้อเยื่อของสิ่งมีชีวิตหากสัมผัสโดยตรง และส่งผลกระทบเชิงพิวาระบนภายในร่างกาย โดยสารที่มีคุณสมบัติการกัดกร่อนได้แก่ สารประกอบสาโลเจน หรือกลีอชาโลเจน สารชาโอลด์อินทรีย์ เป็นต้น

2.3.3.2 สมบัติการติดไฟ (ignitability) โดยของเสียอันตรายประเภทนี้เป็นวัตถุหรือเคมีภัณฑ์ที่ไวไฟ และสามารถจุดระเบิดได้ สามารถติดไฟได้ง่ายซึ่งก่อให้เกิดการเผาไหม้ได้ง่าย โดยทั่วไปจะเป็นสารที่มีจุดควบไฟ (flash point) ต่ำกว่า 60 องศาเซลเซียส สามารถระเหยง่ายที่อุณหภูมิห้อง และความดันบรรยายกาศ โดยสารที่มีคุณสมบัติการติดไฟ ได้แก่ ตัวทำละลายอินทรีย์ต่างๆ อะซิโตน เป็นต้น

2.3.3.3 สมบัติการเกิดปฏิกิริยา (reactivity) เป็นของเสียอันตรายที่มีคุณสมบัตินี้มักเป็นสารที่ไม่เสถียร สามารถเกิดปฏิกิริยาได้ง่ายซึ่งก่อให้เกิดอันตรายในหลายๆ ด้าน เช่น เคมีภัณฑ์ออกซิไดซ์ และเคมีภัณฑ์เพอร์ไซด์ สารประกอบที่สามารถเกิดปฏิกิริยาได้อย่างรวดเร็ว และรุนแรงกับอากาศหรือน้ำ เช่น ค่างบางชนิด โลหะซีเชียม (Ce) เป็นต้น

2.3.3.4 สมบัติความเป็นพิษ (toxicity) เป็นของเสียอันตรายที่ก่อให้เกิดความเป็นพิษต่อสิ่งมีชีวิต ทั้งความเป็นพิษแบบฉับพลัน (immediate หรือ acute toxicity) หรือความเป็นพิษเรื้อรัง (chronic toxicity) โดยสารมลพิษที่มีคุณสมบัติความเป็นพิษที่รุนแรงอาจก่อให้เกิดความเปลี่ยนแปลงทางพันธุกรรมได้

2.3.4 ความคล้ายคลึงของลักษณะสมบัติ เป็นการจำแนกของเสียงอันตรายตามลักษณะทางกายภาพ เค米 หรือมลพิษที่เกิดขึ้นจากสิ่งมีชีวิตรวมทั้งสารชีวภาพต่างๆ โดยลักษณะทางกายภาพได้แก่ ความร้อน สี กลิ่น ความเป็นสารกัมมันตรังสี สารแخวนลดอย ลักษณะทางเคมีได้แก่ กรด ด่าง เกลือสารปรำศัตรูพืช ธาตุพิษและโลหะหนัก สารอินทรีย์ และลักษณะทางชีวภาพได้แก่ แบคทีเรีย รา ไวรัส เชื้อโรคจากของเสียชุมชน เป็นต้น

2.3.5 ความคล้ายคลึงของโครงสร้างทางเคมี เช่น สไบไฮโดรคาร์บอนสไบตรองสารอะโรมาติกไฮโดรคาร์บอน เป็นต้น

2.3.6 ผลกระทบของสารมลพิษต่อสิ่งแวดล้อม เช่นสารมลพิษต่อแหล่งน้ำ ทางอากาศ เป็นต้น

2.3.7 ชนิดของเสียอันตราย

2.3.7.1 ของเสียอันตรายประเภทสารอนินทรีย์ (inorganic pollutant) ที่พบมาก มักเป็นสารกลุ่มโลหะหนัก ได้แก่ protox ตะกั่ว แคลดเมียม ทองแดง สังกะสี แมงกานิส สารหนู และ นิกเกิล เป็นต้น

2.3.7.2 ของเสียอันตรายประเภทสารมลพิษอินทรี⁵ (organic pollutant) มีหลายชนิดที่ปนเปื้อนในสิ่งแวดล้อม อาทิเช่น สารกำจัดศัตรูพืชและสัตว์ สารก่อระเบิด ตัวทำละลาย เป็นต้น โดยสารมลพิษอินทรีมักขึ้นอยู่กับพื้นที่บริเวณนั้น หรือบริเวณใกล้เคียง เช่นพื้นที่เกษตรกรรม มักพบกลุ่มสารกำจัดวัชพืชและสัตว์ พื้นที่บุกโจรป่าของกองทัพ หรือโรงงานผลิตอาวุธสงคราม มักพบกลุ่มสารก่อระเบิด

2.4 การเคลื่อนที่และเส้นทางของเสียอันตราย (อธิบาย, 2553)

ของเสียอันตรายที่ถูกปล่อยออกจากแหล่งต่างๆ ทั้งทางธรรมชาติ แหล่งอุตสาหกรรม แหล่งการเกษตร หรือแหล่งบำบัดของเสียต่างๆ สู่สิ่งแวดล้อมทั้งแบบตั้งใจหรือไม่ตั้งใจ ของเสียอันตรายนั้นจะถูกเรียกว่าสารปนเปื้อน (contaminant) ในสิ่งแวดล้อม สารเหล่านี้จะมี การเคลื่อนที่โดยใช้เส้นทาง (route) หรือวิถี (pathway) ต่างๆ จนกระทั่งมาถึงสิ่งมีชีวิต ซึ่งก่อให้เกิด ผลเสียต่อสุขอนามัยและชีวิตของสิ่งมีชีวิตนั้นๆ โดยการเคลื่อนที่และเส้นทางการเคลื่อนที่ของสาร

มลพิษจนมาถึงสิ่งมีชีวิตนั้นขึ้นอยู่กับหลายปัจจัย เช่นลักษณะและตำแหน่งของแหล่งกำเนิดของสาร (เช่น บนผิวดิน ใต้ดิน แหล่งน้ำ เป็นต้น) สมบัติทางกายภาพและสมบัติทางเคมีของสารนั้นๆ (เช่น การระเหย การละลายน้ำ การดูดซับในดิน เป็นต้น) นอกจากนี้การเคลื่อนที่ของสารสู่สิ่งมีชีวิต ในสิ่งแวดล้อมขึ้นอยู่กับตัวกลาง (transport medium) ต่างๆ ได้แก่ ดิน น้ำ อากาศ และสิ่งมีชีวิตในห่วงโซ่ออาหาร

3. สารกำจัดศัตรุพืชและสัตว์ (pesticides)

สารกำจัดศัตรุพืชและสัตว์ (pesticide) อาจเป็นสารอินทรีย์หรือสารอนินทรีย์ใช้ฆ่า ทำลาย ปราบ หรือกำจัดสิ่งมีชีวิตซึ่งอาจเป็นสัตว์หรือพืชที่มนุษย์ถือว่าเป็นศัตรุพืช และศัตรูของสัตว์หรือพืชที่มนุษย์เลี้ยงหรือปลูกไว้ และต้องการป้องกัน ตัวอย่างศัตรุเหล่านี้ได้แก่ ยุง แมลง แมลงหัวไภเข้ รา หนู แมลงสาบ ตัวเพลี้ย เป็นต้น ซึ่งถึงเหล่านี้เป็นภัยต่อพืชผลที่มนุษย์พาะปลูกไว้มากที่สุด ดังนั้นสารกำจัดวัชพืชและสัตว์จึงรวมถึง ยาฆ่าแมลง (insecticide) ยากำจัดวัชพืช (herbicide) ยาฆ่าเชื้อรา (fungicide) ยากำจัดหนูและสัตว์จำพวกแทะ (rodenticide) (ศศิธร, 2545) โดยชนิดของสารกำจัดศัตรุพืชและสัตว์แบ่งออกได้ดังนี้ (ศุภมาศ, 2545)

3.1 แบ่งโดยสภาพการออกฤทธิ์ภายในและภายนอกเซลล์พืช

3.1.1 สารกำจัดศัตรุพืชและสัตว์ประเภทสัมผัสตาย (contact pesticides) หรือประเภทไม่คุดซึม (nonsymestic) สารประเภทนี้จะ粘附อยู่ที่ผิวผิวนอกเซลล์พืช ออกฤทธิ์โดยการสัมผัสนับกตุ่มเป้าหมาย

3.1.2 สารกำจัดศัตรุพืชและสัตว์ประเภทคุดซึม (systemic pesticide) ออกฤทธิ์โดยการคุดซึมเข้าสู่เซลล์พืช สารจะถูกคุดซึมเข้าไปในพืช และมีกลไกการออกฤทธิ์ทำลายหลังจากนั้น

3.2 แบ่งโดยโครงสร้างและองค์ประกอบทางเคมีของสาร อาทิเช่น

3.2.1 กลุ่มคลอรีโนринทรีย์ (organochlorine)

3.2.2 กลุ่มฟอสเฟตอินทรีย์ (organophosphate)

3.2.3 กลุ่มกรดคลอโรฟีโนออกซี (chlorophenoxy acid)

3.2.4 กลุ่มคาร์บามेट (carbamate)

3.2.5 กลุ่มไครอะซีน (triazine)

3.2.6 กลุ่มแทนที่ยูเรีย (substituted urea)

3.3 แบ่งโดยอาชีวกลุ่มเป้าหมาย

3.3.1 สารกำจัดแมลง (insecticide)

3.3.2 สารป้องกันและกำจัดโรคพืช (fungicide)

3.3.3 สารกำจัดวัชพืช (herbicide)

3.3.4 สารกำจัดไร (acaricide)

3.3.5 สารกำจัดหนู (rodenticide)

3.3.6 สารควบคุมการเจริญเติบโตของพืช (plant growth regulators, PGR)

3.3.7 สารกำจัดหอยและหอยทาก (mollusscide)

3.3.8 สารرمคwanพิษ (funigants)

3.3.9 สารกำจัดไส้เดือนฟอย (nematocide)

ในประเทศไทยมีปริมาณ และการนำเข้าของสารกำจัดวัชพืชในปริมาณที่มากกว่าสารกำจัดศัตรูพืชชนิดอื่น และมีแนวโน้มเพิ่มมากขึ้น ดังแสดงในตารางที่ 2 พบว่าปี 2550 มีปริมาณการนำเข้าสารกำจัดวัชพืช คิดเป็น 79,239,127 กก. ปี 2551 มีปริมาณการนำเข้าสารกำจัดวัชพืช ประมาณ 68,824,594 กก. ปี 2552 มีปริมาณการนำเข้าสารกำจัดวัชพืชประมาณ 97,956,856 กก. (สำนักควบคุมและวัสดุการเกษตร, 2553) การเพิ่มขึ้นของปริมาณสารกำจัดวัชพืช อาจเนื่องมาจากการเพิ่มพื้นที่เพาะปลูกทางการเกษตร เพื่อให้เพียงพอต่อการบริโภคของมนุษย์ จึงทำให้เกิดสารตอกด้านในสิ่งแวดล้อมตามมา

ตารางที่ 2 ปริมาณและการนำเข้าของสารอันตราย

ลำดับ	ประเภท	ปี 2550		ปี 2551		ปี 2552	
		ปริมาณ (กก.)	มูลค่า (บาท)	ปริมาณ (กก.)	มูลค่า (บาท)	ปริมาณ (กก.)	มูลค่า (บาท)
1.	สารกำจัดแมลง (insecticide)	21,589,657.95	3,745,747,849.98	25,331,804.31	4,577,470,388.48	24,680,168.90	3,972,447,198.25
2.	สารป้องกันและกำจัดโรคพืช (fungicide)	10,635,504.30	1,833,182,304.68	11,254,695.82	2,537,027,538.52	10,366,987.08	2,967,933,290.16
3.	สารกำจัดวัชพืช (herbicide)	79,239,127.14	8,914,131,188.14	68,824,594.71	11,487,037,763.36	97,956,856.41	9,338,498,815.25
4.	สารกำจัดไร (acaricide)	446,175.00	111,853,860.00	441,134.00	115,434,023	622,097.24	133,273,180.30
5.	สารกำจัดหนู (rodenticide)	206,660.00	26,131,725	224,490	35,136,564.69	222,490.01	25,784,622.08
6.	สารควบคุมการเจริญเติบโตของพืช (PGR)	-	-	1,875,566.00	211,350,230,79	2,107,459.63	183,017,953.30
7.	สารกำจัดหอยและหอยทาก (molluscicide)	693,205.00	41,716,618.44	792,250.00	61,876,704.00	695,387.50	47,170,497.87
8.	สารرمควนพิษ (funigants)	1,086,612.00	139,160,427.84	1,132,237.00	154,860,1554.44	942,946.50	147,643,520.35
9.	สารกำจัดไส้เดือนฟ้อหอย (nematocide)	-	-	11,010	1,541,686	-	-

ที่มา: สำนักความคุณและวัสดุการเกษตร (2553)

4. สารกำจัดวัชพืช (herbicide)

“สารกำจัดวัชพืช” เป็นสารเคมีใด ๆ ก็ตาม ที่นำมาใช้เพื่อฆ่าทำลายหรือยับยั้ง การเจริญเติบโตของวัชพืช ไม่ว่าจะเป็นในขณะที่วัชพืชออกมาแล้วหรือยังเป็นเมล็ดอยู่ ตลอดจน ขึ้นส่วนต่างๆ ของวัชพืชที่ขยายพันธุ์ได้ท่อญี่ปุ่นในคืนหรืออยู่บนคืน ซึ่งการควบคุมวัชพืชโดยการใช้ สารกำจัดวัชพืชเป็นวิธีที่นิยมมากเนื่องจากให้ผลที่รวดเร็ว สามารถทำงานได้ทันกับการเจริญเติบโต ของวัชพืช โดยแบ่งตามโครงสร้างและองค์ประกอบทางเคมีได้ดังนี้ (ศุภมาศ, 2545)

4.1 กลุ่มฟอสเฟตอินทรีย์ (organophosphorus herbicides) เป็นกลุ่มของสารอินทรีย์ที่มี ฟอสเฟตเป็นองค์ประกอบ ตัวอย่างเช่น ดีเอ็มพีเอ (DMPA), อะมิโพรฟอส (amiproprate) เป็นต้น สำหรับไกร โฟสเตต (glyphosate) นั้นใช้ได้กับพืชหลายชนิด และเป็นสารกำจัดวัชพืชที่นิยม โดยใช้ เป็นประเภทสัมผัสด้วยและฉีดพ่นทางใบ สูตรโครงสร้างทางเคมีของกลุ่มฟอสเฟตอินทรีย์แสดงใน ตารางที่ 3

ตารางที่ 3 สารกำจัดวัชพืชในกลุ่มฟอสเฟตอินทรีย์ (organophosphorus herbicides)

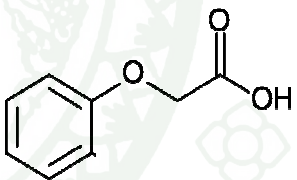
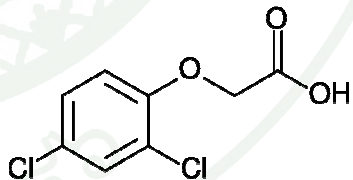
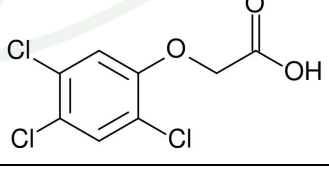
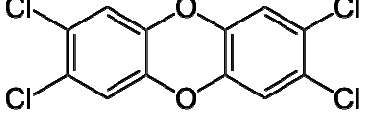
ชื่อสามัญ	สูตรโครงสร้าง
Glyphosate	
DMPA	
amiproprate	

ที่มา: Alan (2010)

4.2 กลุ่มฟีโน๊อกซี (phenoxyacetic herbicides) เป็นกลุ่มของสารอินทรีย์ที่มีกลุ่มกรดคลอโรฟีโน๊อกซี (chlorophenoxy acid, COOH) เป็นองค์ประกอบ นิยมใช้ในไร่ข้าวโพดและข้าวสาลี เป็นสารเลือกทำลาย (selective) กับวัชพืชในกว้าง โดยใช้ได้ดีในไร่ขัญพืชและพืชตระกูลหญ้า โดยสารในกลุ่มนี้มีความแตกต่างกันตามชนิดและตำแหน่งของสารที่เข้าไปแทนที่ในวง (ring) และความยาวของลูกโซ่อัลฟิทิก (aliphatic) ว่ามีอะตอมของการรับอนจำนวนเท่าใด รูปของสารที่มีจำนวนเข่ายู่ในรูปเกลือและเอสเทอร์ ดังแสดงในตารางที่ 4

ความเป็นพิษของ 2,4-ดี (2,4-D) และ 2,4,5-ที (2,4-T) ต่อสัตว์มีไม่นำ ผิวหนังสามารถดูดซึม 2,4 ดี ได้น้อยมาก เมื่อใส่ลงไประบินจะเสื่อมภายใน 1-4 สัปดาห์ซึ่งแล้วแต่ชนิดของดิน ความชื้น อุณหภูมิ และการระบายน้ำภาคของดิน ส่วน ได้ออกซินใช้เวลาในการถ่ายตัวในดินนานมาก จึงเป็นผลให้หลุดรอดเข้าสู่โซ่ออาหารในสิ่งแวดล้อมได้

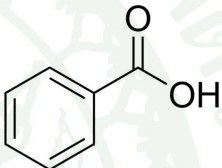
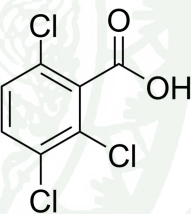
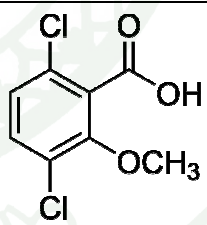
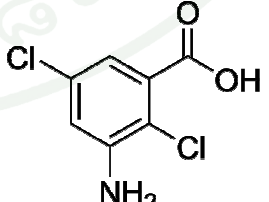
ตารางที่ 4 สารกำจัดวัชพืชในกลุ่มฟีโน๊อกซี (phenoxyacetic herbicides)

ชื่อสามัญ	สูตรโครงสร้าง
phonixy acid	
2,4-D	
2,4,5-T	
2,3,7,8-Tetrachlorodibenzodioxin	

ที่มา: Alan (2010)

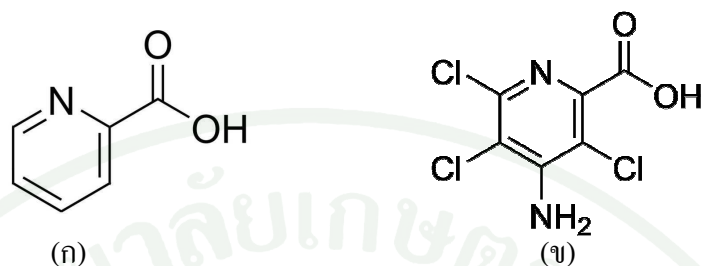
4.3 กลุ่มเ奔โซอิก (benzoic acid herbicides) เป็นกลุ่มของสารอินทรีย์ที่มีกรดเบนโซอิก (benzoic acid) เป็นองค์ประกอบ ใช้ในการควบคุมวัชพืชรากลึกข้ามกุด ตัวอย่างเช่น 2,3,6-ทีบีเอ (2,3,6-TBA) และไดแคมบा (dicamba) และคลอเร้มเบน (chloramben) เป็นสารที่เลือกทำลายจึงใช้ในพืชต่างๆ ได้ เช่น ไดแคมบ่าใช้ในข้าวโพด ข้าวฟ่าง ข้าวสาลี และในทุ่งหญ้า ส่วนคลอเร้มเบน ใช้ในพืชผัก เช่น หน่อไม้ฝรั่ง ข้าวโพด ถั่วถัง มันเทศ พิกทอง สูตรโครงสร้างทางเคมีของสารกลุ่มเบนโซอิกแสดงในตารางที่ 5

ตารางที่ 5 สารกำจัดวัชพืชในกลุ่มเบนโซอิก (benzoic acid herbicides)

ชื่อสามัญ	สูตรโครงสร้าง
benzoic acid	
2,3,6-TBA	
dicamba	
chloramben	

ที่มา: Alan (2010)

4.4 กลุ่มกรดไพริดิน (pyridine herbicides) เป็นกลุ่มของกรดไพริดิน (pyridine acid) มีพิคลอเรม (picloram) เป็นสารกำจัดวัชพืชประเภทคูคซีน ใช้ควบคุมวัชพืชในกว้าง สูตรโครงสร้างทางเคมีของกลุ่มไพริดินแสดงในภาพที่ 1

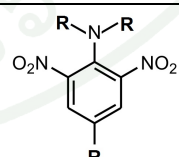
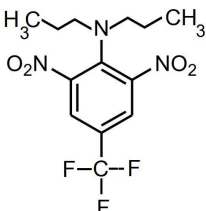


ภาพที่ 1 สูตรโครงสร้างทางเคมีของ (ก) กรดไพริดิน (ข) พิคลอเรม

ที่มา: Alan (2010)

4.5 กลุ่มไดโนໂตโรอะนิลีน (dinitroaniline herbicides) เป็นกลุ่มสารอินทรีย์ที่มี 2,6-ไดโนໂตโรอะนิลีน (2,6-dinitroaniline) เป็นองค์ประกอบ สารกำจัดวัชพืชประเภทนี้จะเลือก ทำลาย และใช้ควบคุมวัชพืชก่อนงอก การแทนที่ในตำแหน่งที่ 4 ของวงหรีอในกลุ่มอะมิโน จะทำให้ได้สารฆ่าวัชพืชชนิดต่างๆ ตัวอย่างเช่น ไตรฟลูราลิน (trifluralin) สูตรโครงสร้างทางเคมี ของสารกลุ่มไดโนໂตโรอะนิลีนแสดงในตารางที่ 6

ตารางที่ 6 สารกำจัดวัชพืชในกลุ่มไดโนໂตโรอะนิลีน (dinitroaniline herbicides)

ชื่อสามัญ	สูตรโครงสร้าง
2,6-dinitroaniline	
trifluralin	

ที่มา: Alan (2010)

4.6 กลุ่มเอมายด์ (amide herbicides) สารกลุ่มนี้พัฒนามากจากกรดเอมายด์ (acid amide) เมื่อกรุ่นไฮดรอกซี (-OH) ของส่วนที่เป็นคาร์บอโนฟิล (-COOH) ถูกแทนที่ด้วยกรุ่นอะมิโน (-NH₂) และหากกรุ่นแอลกิล (กรุ่น R) เป็นเมทธิล (-CH₃) จะมีโครงสร้างคล้ายกรดแอดีติก จึงเรียกว่า อัซเซทามายด์ (acetamide) สารกลุ่มนี้เป็นสารกำจัดวัชพืชประเภทเลือกทำลายสำหรับควบคุมวัชพืช วงศ์หญ้าเป็นส่วนใหญ่ ตัวอย่างเช่น โพพานิล (propanil) เมโทลาคลอร์ (metolachlor) เป็นต้น สูตรโครงสร้างทางเคมีของสารกลุ่มเอมายด์แสดงในตารางที่ 7

ตารางที่ 7 สารกำจัดวัชพืชในกลุ่มเอมายด์ (amide herbicides)

ชื่อสามัญ	สูตรโครงสร้าง
acid amide	$\begin{array}{c} \text{O} \\ \parallel \\ \text{R}-\text{C}-\text{N}-\text{H} \\ \\ \text{H} \end{array}$
propanil	
metolachlor	

ที่มา: Alan (2010)

4.7 กลุ่มคาร์บามิดและไทโอลาร์บามेट (carbamates and thiocarbamates herbicides) สารกลุ่มนี้สังเคราะห์จากการบามิก โดยที่สารทุกชนิดเป็นเอกสารของกรดคาร์บามิก และสำหรับกลุ่มไทโอลาร์บามेट มีองค์ความของกำมะถันเป็นส่วนประกอบของโมเลกุลแทน ตำแหน่งกรุ่นไฮดรอกซีของกรดคาร์บามิก สารกลุ่มคาร์บามิดเป็นสารกำจัดวัชพืชที่มีผลต่อ สภาพแวดล้อมต่ำ เนื่องจากเป็นสารที่มีพิษต่อสัตว์เลี้ยงลูกด้วยนมในระดับต่ำ ตกค้างในดิน

ในช่วงเวลาสั้น เคลื่อนย้ายในดิน ได้น้อยมาก และถลายตัวได้ด้วยจุลินทรีย์กลุ่มนอกเป้าหมาย ตัวอย่างของสารกำจัดวัชพืชในกลุ่มคาร์บามेटและไทโอล์คาร์บามेटแสดงในตารางที่ 8

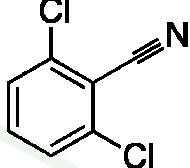
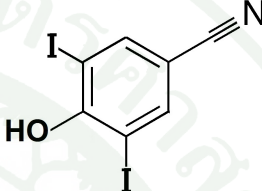
ตารางที่ 8 สารกำจัดวัชพืชในกลุ่มคาร์บามेटและไทโอล์คาร์บามेट (carbamates and thiocarbamates herbicides)

ชื่อสามัญ	สูตรโครงสร้าง
carbamic acid	$\text{HO}-\overset{\text{O}}{\underset{\parallel}{\text{C}}}-\overset{\text{H}}{\underset{ }{\text{N}}}-\text{H}$
ester of carbamic acid	$\text{R}_3\text{O}-\overset{\text{O}}{\underset{\parallel}{\text{C}}}-\overset{\text{H}}{\underset{ }{\text{N}}}-\text{R}_1$ R_2
1. phynylcarbamates (propham)	
2. thiocarbamates (benthiocarb) (EPTC)	

ที่มา: Alan (2010)

4.8 กลุ่มไนทริล (nitrile herbicides) โครงสร้างหลักของสารกลุ่มนี้คือวงเฟ็นนิลยีดติดกับกลุ่มไนทริล ($\text{C}=\text{N}$) และมีการแทนที่ตำแหน่งภายในวงด้วย OH^- , Cl^- , Br^- หรือ I^- ใช้ในการควบคุมวัชพืชในกว้างๆ ดีเยาที่ใช้ 2,4-ดี แล้วไม่ได้ผล เช่น ไดคลอเบ็นนิล (dichlobenil) ใช้ในสวนผลไม้เกือบทุกชนิด และไม่ประดับประภาก็ไม่ยืนต้น สูตรโครงสร้างทางเคมีของสารกลุ่มไนทริลแสดงในตารางที่ 9

ตารางที่ 9 สารกำจัดวัชพืชในกลุ่มไนทริล (nitrile herbicides)

ชื่อสามัญ	สูตรโครงสร้าง
dichlobanil	
loxynil	

ที่มา: Alan (2010)

4.9 กลุ่มซิมเมท्रิคอลไตรอะซีน (symetical triazine herbicides) โครงสร้างหลักของสารกลุ่มนี้ประกอบด้วยวงที่มีในโครงเรนสามอะตอมสลับกับอะตอมคาร์บอน เป็นสารประเภทเดือกดำรายใช้แบบก่อนงอก สามารถควบคุมได้ทั้งวัชพืชในแคนและใบกร้าง แต่ควบคุมใบกร้างได้ดีกว่าไซมาเซินนิยม (simazine) ใช้ในข้าวโพดและสวนผลไม้ แอตราเซิน (atrazine) นิยมใช้ในไร่ข้าวโพด ข้าวฟ่าง อ้อย สับปะรด และเนื้องจากแอตราเซินตกค้างอยู่ในดินนานมากจึงมีการผลิตไซบานาเซินเพื่อใช้ในข้าวโพดที่ให้ผลตกค้างในดินสั้นกว่า สูตรโครงสร้างทางเคมีของสารกลุ่มซิมเมท्रิคอลไตรอะซีนแสดงในตารางที่ 10

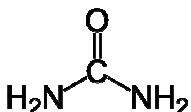
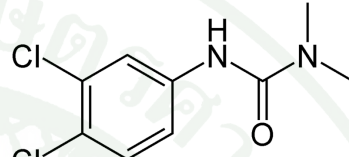
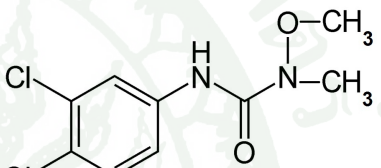
ตารางที่ 10 สารกำจัดวัชพืชในกลุ่มซิมเมทริกอลไตรอะซีน (symetaltriazine herbicides)

ชื่อสามัญ	สูตรโครงสร้าง
โครงสร้างหลัก	
simazine	
atrazine	
cyanazine	

ที่มา: Alan (2010)

4.10 กลุ่มยูเรีย (urea herbicides) โครงสร้างหลักของสารกลุ่มนี้คือ ปูร์บูเรีย และมีการแทนที่ไฮโดรเจนในกลุ่มอะมิโนแบบต่างๆ เป็นแบบเลือกทำลาย ใช้ได้ทั้งแบบก่อกรอกและหลังกรอก ควบคุมใบกว้างและใบแคบ แต่ควบคุมใบกว้างได้ดีกว่า สารจะเข้าทางรากมากกว่าทางใบและลำต้น มีการสลายตัวโดยแสง (photodecomposition) เช่น ไดยูรอน (diuron) ใช้ในสวนผลไม้ สับปะรด อ้อย ฝ้าย หน่อไม้ฟรั่ง สำหรับลินูรอนนิยมใช้ในข้าวโพด ข้าวฟ่าง ถั่วเหลือง ฝ้าย และมันฝรั่ง สูตร โครงสร้างทางเคมีของสารกลุ่มยูเรียแสดงในตารางที่ 11

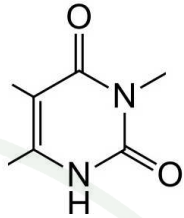
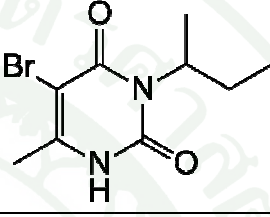
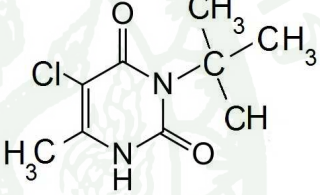
ตารางที่ 11 สารกำจัดวัชพืชในกลุ่มยูเรีย (urea herbicides)

ชื่อสามัญ	สูตรโครงสร้าง
โครงสร้างหลัก	
diuron	
linuron	

ที่มา: Alan (2010)

4.11 กลุ่มยูราซิล (uracil herbicides) โครงสร้างหลักของสารกลุ่มนี้คือ ยูราซิล เป็นสารกำจัดวัชพืชที่ใช้ควบคุมพืชในพื้นที่ที่ไม่มีการเพาะปลูก โดยจะให้ผลดีในพืชวงศ์หญ้าที่มีอายุข้ามปี สูตรโครงสร้างทางเคมีของสารกลุ่มยูราซิลแสดงในตารางที่ 12

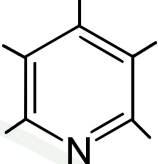
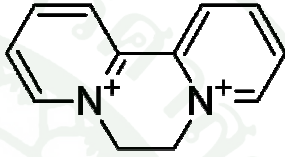
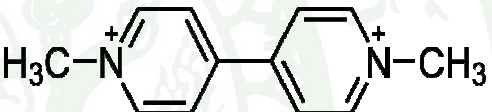
ตารางที่ 12 สารกำจัดวัชพืชในกลุ่มยูราซิด (uracil herbicides)

ชื่อสามัญ	สูตรโครงสร้าง
โครงสร้างหลัก	
bromacil	
terbacil	

ที่มา: Alan (2010)

4.12 กลุ่มไนโพริดิเลียม (pyrimidium herbicides) โครงสร้างหลักของสารกลุ่มนี้คือ ไพริดิน เป็นสารประเทสัมผัสตายและไม่เลือกทำลาย เช่น พาราควอต (paraquat) ควบคุมได้ทั้ง วัชพืชในแคนและในกว้างที่มีอายุตู้เดียว ไดควอต (diquat) นิยมใช้สำหรับวัชพืชนำเป็นส่วนใหญ่ นอกจากใช้พาราควอตในการกำจัดวัชพืชแล้ว ยังนิยมใช้ฉีดให้ใบพืชแห้งก่อนการเก็บเกี่ยว โดยทั้ง พาราควอตและไดควอตถูกอนุภาคคืนเหนียวตื้ดยึดติดไว้ได้ จึงไม่พบว่าสารเคมีทั้งสองสูตรควบคุม วัชพืชได้เมื่อลงสู่พื้นดิน โดยสูตรโครงสร้างทางเคมีของกลุ่มไนโพริดิเลียมแสดงในตารางที่ 13

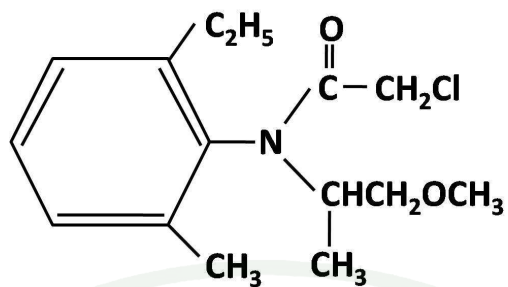
ตารางที่ 13 สารกำจัดวัชพืชในกลุ่มไบโพริดิเลิยม (pyrimidium herbicides)

ชื่อสามัญ	สูตรโครงสร้าง
โครงสร้างหลัก (pyridine)	
diquat	
paraquat	

ที่มา: Alan (2010)

เมโทลาคลอร์ (metolachlor)

เมโทลาคลอร์ หรือเรียกชื่อทางการค้าว่า Dual, Dual 8E, Bicep, Cycle หรือ Derby เป็นต้น เป็นสารกำจัดวัชพืชกลุ่มกรดเอมายด์ (acid amides) หรือคลอโรอะเซทานิมาيد์ (chloroacetanilide) มีลักษณะ โครงสร้างทางเคมีดังแสดงในภาพที่ 2 สูตร โมเลกุลคือ $C_{15}H_{22}ClNO_2$ เมโทลาคลอร์มี ลักษณะเป็นของเหลวสีขาว และไม่มีกลิ่น สามารถละลายน้ำได้มาก แสดงในตารางที่ 14 นิยมใช้ คลอกลงไบในดินก่อนทำการปลูกพืช สามารถควบคุมวัชพืชพวงศ์หญ้าและวัชพืชพากใบกว้าง ได้ดี ลักษณะอาการที่พืชได้รับพิษ ต้นกล้าบิดเบี้ยว โถ้งงอ ในอัตราแน่นมากจะใช้ควบคุมวัชพืชใน พื้นที่ปลูกข้าวโพด ถั่วเหลือง ฝ้าย ทานตะวัน และปอ เป็นต้น (William, 1994)



ภาพที่ 2 โครงสร้างทางเคมีของเม็โทลาคลอร์

ตารางที่ 14 คุณลักษณะทางกายภาพและทางเคมีของเม็โทลาคลอร์

คุณลักษณะทางกายภาพและทางเคมี	รายละเอียด
สูตรโมเลกุล	$C_{15}H_{22}ClNO_2$
น้ำหนักโมเลกุล	283.80
ลักษณะทางกายภาพ	เป็นของเหลวสีขาว หรือสี tan ไม่มีกลิ่น
ความหนาแน่น	1.117 g/mL ที่ 20 °C
จุดหลอมเหลว	-40 °C
จุดเดือด	286 °C ที่ 760 mm Hg และ 100 °C ที่ 0.001 mm Hg
ความดันไอ	1.3×10^{-5} mm Hg ที่ 20 °C, 3.1×10^{-5} mm Hg ที่ 25 °C, 4.9×10^{-4} mm Hg ที่ 50 °C, 0.0053 mm Hg ที่ 75 °C, 0.041 mm Hg ที่ 100 °C, 0.24 mm Hg ที่ 125 °C
Henry's law constant	2.4×10^{-8} atm.m ³ /mol ที่ 25 °C
สภาพการละลาย	ละลายใน 488 mg/mL ที่ 20 °C ละลายใน organic solvent ชนิดต่างๆ ที่ 25 °C เช่น สารละลายน้ำ acetone, benzene, ethanol, methanol, toluene, xylene และ hexane เป็นต้น
K_{ow}	794 ที่ 25 °C
ชื่อทางการค้า	Dual, Pennant, Bicep, Cycle, Derby(Ciba), Broadstrike

ที่มา: William (1994)

พฤติกรรมในพืช (William, 1994)

ลักษณะอาการที่พืชได้รับพิษ คันกล้าบิดเบี้ยวโค้งงอ ใบอัดแน่นม้วนงอ สำหรับใบที่งอกมาใหม่จะมีรอยย่น

การดูดซึมและการเคลื่อนย้าย (absorption/traslocation) การดูดซึมแม่โภลาคลอร์ส่วนมากจะดูดซึมไว้ที่เนื้อเยื่อส่วนต่างๆ และเคลื่อนย้ายผ่านทางท่อลำเลียงน้ำ (xylem) หรือทางท่อลำเลียงอาหาร (phloem) ขึ้นอยู่กับชนิดของวัชพืช เช่น วัชพืชใบกว้างจะมีการดูดซึมผ่านท่บริเวณใบเลี้ยง (hypocotyl) และเคลื่อนย้ายผ่านทางท่อลำเลียงน้ำ

กลไกการทำลาย (mechanism of action) เป็นสารกำจัดวัชพืชและสารควบคุมการเจริญเติบโตของพืช สามารถเข้าสู่พืชได้โดยการซึมผ่านทางใบ สารจะออกฤทธิ์เฉพาะจุดที่นิคพ่น และสารนี้จะมีผลต่อการสังเคราะห์รังควัตถุพวกค่าโรทีนอยด์ด้วย

พฤติกรรมในดิน (William, 1994)

การดูดซับ (adsorption) ของเมโทลาคลอร์ในดิน โดยส่วนมากอยู่ในดินเหนียวหรือดินที่มีสารอินทรีย์ (organic matter) เป็นองค์ประกอบปริมาณมาก โดยค่า soil organic carbon sorption coefficient; K_{oc} และ soil sorption coefficient; K_d จะแตกต่างไปตามลักษณะดินและปริมาณสารอินทรีย์ในดิน ดังแสดงในตารางที่ 15

ตารางที่ 15 ค่า K_{oc} และ K_d ของเมโทลาคลอร์ในดินชนิดต่างๆ

คุณลักษณะของดิน	K_{oc}	K_d
Clay (0.5% OM, 42% clay, pH 5.9)	66.7	1.869
Sand (0.9% OM, 2.2% clay, pH 6.5)	21.6	0.108
Sandy loam (5% OM, 9.2% clay, pH 5.9)	74.4	2.157
Loam (1.2% OM, 11.2% clay, pH 7.6)	110.4	0.773

ที่มา: William (1994)

การเปลี่ยนรูป (transformation) ของเมทโอลัคอลอร์ โดยการเปลี่ยนรูปของเมทโอลัคอลอร์ด้วยกระบวนการย่อยสลายด้วยแสง (photodegradation) ในดิน sandy loam ที่อุณหภูมิ 20 °C มีค่า half-life เป็น 8 วัน และในน้ำที่อุณหภูมิ 8-45 °C มีค่า half-life เป็น 70 วัน นอกจากนี้การเปลี่ยนรูปของเมทโอลัคอลอร์ด้วยกระบวนการชีวภาพ (biodegradation) ในดิน sandy loam ที่อุณหภูมิ 25 °C ในสภาพที่มีอากาศ และไม่มีอากาศมีค่า half-life เป็น 67 และ 81 วันตามลำดับ

ข้อมูลความเป็นพิษ (William, 1994)

เมื่อนำเมทโอลัคอลอร์ชนิด technical grade ไปทดสอบความพิษทางปากกับหนูมีค่า median lethal dose 50; LD₅₀ เป็น 2,877 mg/kg นำไปทดสอบทางผิวหนังกับกระต่ายมีค่า median lethal dose 50; LD₅₀ มากกว่า 2,000 mg/kg และเมื่อนำไปทดสอบทางระบบหายใจกับหนูที่เวลา 4 ชั่วโมง มีค่า median lethal concentration 50; LC₅₀ มากกว่า 4.3 mg/kg หากมนุษย์ได้รับสัมผัสหรือกินเข้าไปจะมีอาการระคายเคืองจนถึงเสียชีวิตได้

เมื่อนำเมทโอลัคอลอร์ทางการค้า (Dual 8E) ไปทดสอบความพิษทางปากกับหนูมีค่า median Lethal dose 50; LD₅₀ เป็น 2,500 - 2690 mg/kg นำไปทดสอบทางผิวหนังกับกระต่ายมีค่า (median Lethal dose 50) LD₅₀ มากกว่า 5,000 mg/kg และเมื่อนำไปทดสอบทางระบบหายใจกับหนูที่เวลา 4 ชั่วโมง มีค่า (median lethal concentration 50); LC₅₀ มากกว่า 2.45 mg/L หากมนุษย์ได้รับสัมผัสหรือกินเข้าไปจะมีอาการระคายเคือง จนถึงเสียชีวิตได้

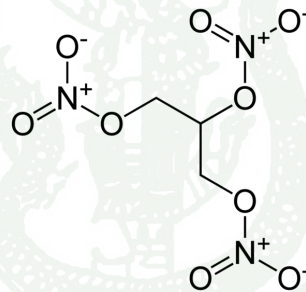
5. สารก่อระเบิด (explosive material)

การระเบิดเป็นการเกิดปฏิกิริยาที่มีการเปลี่ยนแปลงอย่างรวดเร็วมาก จากของแข็งหรือของเหลวไปเป็นก๊าซ ซึ่งก๊าซที่เกิดขึ้นมีความดันเกิดก่อนข้างสูง ทำให้เกิดการระเบิดอย่างรุนแรงได้ สารก่อระเบิดที่มักพบบ่อยคือสารกลุ่มอะโรเมติก (aromatic) หรือ อัลฟิatic (aliphatic) ที่มีกลุ่มไนโตรเจนประกอบอยู่ด้วย โดยในการทำให้เกิดระเบิดต้องใช้ความดันสูง หรือความเสียดทานหรือกระแสไฟฟ้า โดยแบ่งสารก่อระเบิดออกเป็น 2 กลุ่มดังนี้ (เกรียงศักดิ์, 2546)

5.1 สารก่อระเบิดชนิดไม่รุนแรง เช่น พากดอกไม้เพลิง ประทัด ดินปืน เป็นต้น โดยสารเหล่านี้มีความรุนแรงประมาณ 80 m/s แต่อาจทำให้เกิดอันตรายต่อกันได้

5.2 สารก่อระเบิดชนิดรุนแรง เป็นสารก่อระเบิดที่มีความเสถียรมากกว่าชนิดไม่รุนแรง แต่เมื่อเกิดการระเบิดขึ้นจะมีความอันตรายมากถึง $6,400 \text{ m/s}$ โดยได้ทำการแบ่งประเภทของสารก่อระเบิดชนิดรุนแรง ไว้ดังนี้

5.2.1 กลุ่มอะลิฟาติกในเตรตอेसเทอร์ (aliphatic nitrate esters) เป็นสารก่อระเบิดชนิดรุนแรงมาก โดยผลิตจากสารโพลีไฮดริกแอลกอฮอล์ (polyhydric alcohols) เช่น กลีเซอรัล (glycerol) หรือ pentarethritol ทำปฏิกิริยากับกรดไนโตริกเข้มข้น จะได้สารระเบิดในไตรกลีเซอรัล (nitroglycerin) และ pentaerythritol tetranitrate โดยสารระเบิดในไตรกลีเซอรัล มีสูตรทางเคมีดังภาพที่ 3 เป็นสารที่ไม่เสถียร เกิดระเบิดขึ้นมาได้ง่าย ดังนั้นเวลาเก็บจึงต้องมีการเก็บไว้ในตู้ดูดซับเพื่อให้เสถียร เช่น เก็บไว้ในภาชนะที่มีช่องลม หรือสารเฉื่อยอื่นๆ สำหรับสารระเบิด pentaerythritol tetranitrate เป็นสารที่นิยมนำมาเป็นตัวจุดระเบิด มีความรุนแรงมาก ในบางครั้งอาจนำมาผสมกับสาร 2,4,6-ไตรไนโตรตูลูเอน (2,4,6-trinitrotoluene; TNT) และสารไซโคไทรเมทิลีนในทรามีน (cyclotrimethylene-nitramine; RDX) เพื่อช่วยลดผลกระทบ ทำให้มีความเสถียรมากขึ้น



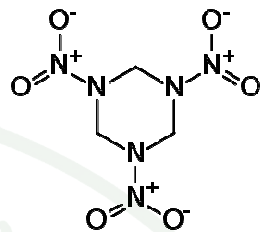
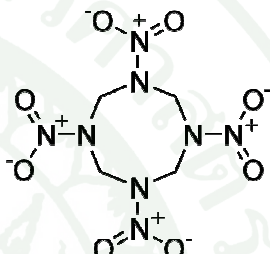
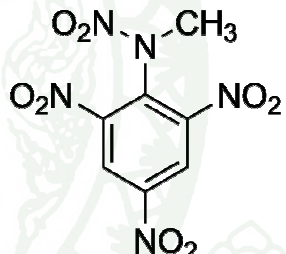
ภาพที่ 3 สูตรโครงสร้างทางเคมีของไนโตรกลีเซอรัล

ที่มา: GlobalSecurity (2010)

5.2.2 กลุ่มในทรามีน (nitramine) เป็นสารระเบิดที่มีกลุ่ม NO_2 จับกับอะตอมของไนโตรเจน สารในกลุ่มนี้ได้แก่ cyclotrimethylenetrinitramine (RDX)

cyclotetramethylenetrinitramine (HMX) และ 2,4,6-trinitrophenylmethylnitramine (Tetryl) โดยสูตรโครงสร้างทางเคมีของสารกลุ่มนี้แสดงในตารางที่ 16 ซึ่งสาร RDX และ HMX ใช้เป็นวัตถุระเบิดในการทหารสำหรับสาร Tetryl ใช้เป็นสารจุดระเบิด

ตารางที่ 16 สารก่อระเบิดกลุ่มไนโตรามีน (nitramine)

ชื่อสามัญ	สูตรโครงสร้าง
RDX หรือ cyclotrimethylenetrinitramine	
HMX หรือ cyclotetramethylenetetrinitramine	
Tetryl หรือ 2,4,6-trinitrophenylmethylNitramine	

ที่มา: GlobalSecurity (2010)

5.2.3 กลุ่มไนโตรอะโรมาติก (nitro aromatics) เป็นสารที่มีคุณสมบัติระเบิดได้รุนแรงมาก เป็นสารพิษมาก และอยู่ในสภาพแวดล้อมได้ข้าวนาน สารในกลุ่มนี้มี 2,4,6-trinitrotoluene (TNT) ซึ่งถูกย่อยสลายได้ทางชีวภาพในสภาพไวร่องากาศ และ 2,4,6-trinitrophenol (TNP) เป็นสารระเบิดที่มีความรุนแรงมากในอดีตใช้ในวงการทหาร แต่ปัจจุบันไม่ได้ใช้แล้ว สูตรโครงสร้างทางเคมีของสารกลุ่มไนโตรอะโรมาติกแสดงในตารางที่ 16

ตารางที่ 16 สารก่อระเบิดกลุ่มไนโตรอะโรมาติก (nitro aromatics)

ชื่อสามัญ	สูตรโครงสร้าง
TNT หรือ 2,4,6-trinitrotoluene	
Picric acid (TNP) หรือ 2,4,6-trinitrophenol	

ที่มา: Globalsecurity (2010)

5.2.4 สารจุดระเบิด เป็นสารที่มีความไวต่อความร้อน ต่อแรงเสียดทาน ต่อการกระแทก หรือต่อพลังงานไฟฟ้าสถิต โดยทำหน้าที่จุดระเบิด ซึ่งสารนี้ได้แก่ mercury fulminate, tetrazene, 2-diazo-4, 6-dinitrophenol เป็นต้น โดยสูตรโครงสร้างทางเคมีของสารจุดระเบิดแสดงในตารางที่ 18

ตารางที่ 18 สารจุดระเบิด

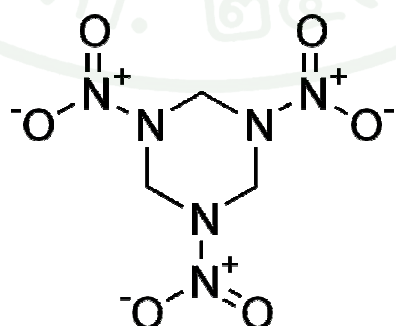
ชื่อสามัญ	สูตรโครงสร้าง
mercury(II) fulminate	$\text{Hg}(\text{ONC})_2$
picric acid (TNP) หรือ 2,4,6-trinitrophenol	

ที่มา: Globalsecurity (2010)

ไซโคลไนท์ (cyclonite)

ไซโคลไนท์ หรือ hexahydro-1,3,5-trinitro-1,3,5-triazine (Royal Demolition Explosives; RDX) เป็นสารกลุ่มไนตรามีน (nitramines) มี NO_2 ขึ้นกับอะตอมของไนโตรเจนดังแสดงในภาพที่ 4 สูตรโมเลกุลคือ $\text{C}_6\text{H}_6\text{N}_6\text{O}_6$ ไซโคลไนท์มีลักษณะเป็นผลึกสีขาว มีความสามารถในการละลายน้ำต่ำ (ละลายน้ำ 60 mg/L ที่ 25 °C) ค่าคงที่ของการดูดซับระหว่างสารปนเปื้อนในรูปของเหลวกับดินค่อนข้างต่ำ ($K_d = 1.2 \text{ L/kg}$, $\log K_{oc} = 2$) จึงพนการปนเปื้อนของไซโคลไนท์ได้ทั้งในดิน น้ำ และน้ำใต้ดิน โดยคุณสมบัติทางกายภาพและทางเคมีแสดงในตารางที่ 19

ไซโคลไนท์สามารถนำไปประยุกต์ใช้ได้ทั้งในครัวเรือนและทางทหาร โดยในทางครัวเรือนไซโคลไนท์ถูกนำมาเป็นส่วนผสมในการผลิตดอกไม้ไฟ เชือเพลิงสำหรับปุงอาหาร หรือเป็นส่วนผสมของสารกำจัดหนู (rodenticide) ส่วนในทางทหารค่อนข้างที่จะมีการใช้ในปริมาณมากเนื่องจากเป็นส่วนผสมสำหรับผลิตเชื้อจุดถูกระเบิด ลูกระสุนปืน ในสหรัฐอเมริกาอนุญาตให้ใช้ไซโคลไนท์ได้เฉพาะในพื้นที่ทุกโซ่อุปกรณ์ของกองทัพเท่านั้น ส่งผลให้พื้นที่ยุทธปะรังของกองทัพก่อมีการปนเปื้อนของสารมากกว่าพื้นที่ชุมชน (globalsecurity, 2010) ตัวอย่างเช่น ในพื้นที่ที่เคยเป็นกรมสรรพวุธของรัฐเนบราก้า (Nebraska Ordnance Plant; NOP) ประเทศสหรัฐอเมริกา พบว่ามีปริมาณการปนเปื้อนของไซโคลไนท์ในดินมากกว่า 5,000 mg/kg และเมื่อทำการตรวจวัดบ่อน้ำดื่มภายในพื้นที่ และบริเวณใกล้เคียงพื้นที่กรมสรรพวุธ พบว่ามีการปนเปื้อนของไซโคลไนท์ 4 บ่อจากบ่อน้ำที่ทำการตรวจวัด 24 บ่อ (Hundal *et al.*, 1997) จากผลการตรวจสอบพบว่าไซโคลไนท์สามารถปนเปื้อนได้ทั้งในดิน และน้ำใต้ดิน นอกจากนี้น้ำเสียที่มาจากการอุดสาหกรรมผลิตไซโคลไนท์ (pink water) เมื่อไหลลงสู่แม่น้ำ ลำคลอง ก่อให้เกิดอันตรายต่อสิ่งมีชีวิต รวมทั้งมนุษย์ด้วย (Pischa *et al.*, 2006)



ภาพที่ 4 โครงสร้างทางเคมีของไซโคลไนท์

ตารางที่ 19 คุณลักษณะทางกายภาพและทางเคมีของไฮโครไนท์

คุณลักษณะทางกายภาพและทางเคมี	รายละเอียด
สูตรโมเลกุล	$C_6H_6N_6O_6$
น้ำหนักโมเลกุล	222.15
ลักษณะทางกายภาพ	ผลึกสีขาว
ความหนาแน่น	1.83 g/mL ที่ 20 °C
จุดหลอมเหลว	205 °C
จุดเดือด	286 °C ที่ 760 mm Hg และ 100 °C ที่ 0.001 mm Hg
ความดันไอ	4.03×10^{-9} mm Hg ที่ 25 °C
Henry's law constant	1.96×10^{-11} atm·m ³ /mole ที่ 25 °C
สภาพการละลาย	ละลายน้ำ 60 mg/L ที่ 25 °C
Log K _{ow}	0.81-0.87 ที่ 25 °C
L _{og}	2
K _{oc}	1.2 L/kg ที่ 25 °C

ที่มา: ดัดแปลงจาก Rosenblatt *et al.* (1991) และ Haderlein *et al.* (1996)

พฤติกรรมในดิน

การดูดซับและการราย (adsorption and desorption) ของไฮโครไนท์ในดิน โดยปริมาณสารอินทรีย์carbonในดิน (organic carbon; OC) มีบทบาทสำคัญต่อการดูดซับและการรายตัว ค่า soil organic carbon sorption coefficient; K_{oc} ของไฮโครไนท์อยู่ประมาณ 2 (Rosenblatt *et al.*, 1991)

การถ่ายตัวโดยกระบวนการทางชีวภาพ (biodegradation) ของไฮโครไนท์ พบร่วางในสภาวะที่ไม่มีอากาศ ไฮโครไนท์ถูกย่อยสลายได้มากกว่าในสภาวะที่มีอากาศ (Rosenblatt *et al.*, 1991)

Spanggord *et al.* (1980) ทำการศึกษาเปรียบเทียบการย่อยสลายของตากอนดินที่ปนเปื้อนไฮโครไนท์โดยใช้จุลินทรีย์ภายใต้สภาวะที่มีอากาศและไม่มีอากาศ พบร่วางในสภาวะที่ไม่มีอากาศ

ความเข้มข้นของไซโตรไนท์ลดลงจาก 10 mg/L เป็น 0.1 mg/L ภายในเวลา 10 วัน ขณะการย่อยสลายไซโตรไนท์ต้องใช้ระยะเวลานานถึง 20 วัน ถึงจะทำให้ความเข้มข้นของไซโตรไนท์ลดลงและลดได้เพียง 6 mg/L เท่านั้น

ข้อมูลความเป็นพิษ

เมื่อนำไซโตรไนท์ไปทดสอบความเป็นพิษทางปากกับหนูมีค่า median lethal dose 50; LD₅₀ เป็น 59 mg/kg เมื่อหนูได้รับไซโตรไนท์ความเข้มข้นสูงจะส่งผลให้เกิดความผิดปกติในส่วนของตับและอณฑะ ในน้ำสำหรับบริโภคไม่รวมมีค่าความเข้มข้นของไซโตรไนท์เกิน 0.1 mg/L หากได้รับในปริมาณมากจะส่งผลต่อระบบสมอง ตับ ไต และหัวใจได้ ในน้ำดื่ม (McLellan *et al.*, 1988).

กรณีที่มนุษย์ได้รับไซโตรไนท์โดยการสูดดมเป็นระยะเวลา 0.5-3 ชั่วโมงจะทำให้เกิดการมึนงง เวียนศีรษะ คลื่นไส้ อาเจียน จนถึงหมดสติได้ (Yinon, 1990)

6. เหล็กวนเดนซ์สูนย์ (zero valent iron)

ในปฏิกิริยาออกซิเดชัน-รีดักชัน (ปฏิกิริยาเริดอกซ์) จะมีสารหนึ่งทำหน้าที่เป็นผู้ให้อิเล็กตรอนซึ่งเรียกว่าเป็นตัวรีดิวเซ็ต (reducing agent) และเรียกอีกสารหนึ่งที่ทำหน้าที่เป็นตัวรับอิเล็กตรอนว่าเป็นตัวออกซิไดต์ (oxidizing agent) โดยสามารถแบ่งปฏิกิริยาเริดอกซ์ออกเป็นสองส่วน ได้ครึ่งปฏิกิริยา (half reaction) สองปฏิกิริยาคือ ครึ่งปฏิกิริยาเริดักชัน (ครึ่งปฏิกิริยาที่มีการรับอิเล็กตรอน) และครึ่งปฏิกิริยาออกซิเดชัน (ครึ่งปฏิกิริยาที่มีการให้อิเล็กตรอน) ดังแสดงในสมการที่ 1 และสมการที่ 2

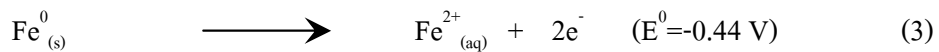
ครึ่งปฏิกิริยาออกซิเดชัน



ครึ่งปฏิกิริยาเริดักชัน

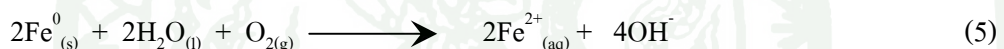


สมการศักย์ไฟฟ้ามาตรฐานรีดักชันของเหล็กวาเลนต์ศูนย์

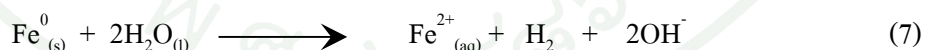


ค่าศักย์ไฟฟ้ามาตรฐานรีดักชัน (standard reduction potential) เท่ากับ -0.44 V โดยที่เหล็กวาเลนต์ศูนย์ (zero valent iron) มีคุณสมบัติเป็นตัวให้อิเล็กตรอนที่รุนแรง (strong reducing agent) เพื่อทำลายโครงสร้างหรือเปลี่ยนรูปสารมลพิษอินทรีย์ ดังแสดงในสมการที่ 3

ในสภาวะที่ไม่มีตัวออกซิไซด์ที่รุนแรงจะเกิดครึ่งปฏิกิริยาเรductant สองอันที่ควบคู่ไปกับสมการที่ 3 ซึ่งจะเกิดปฏิกิริยาตัดกร่อน โดยตัวมันเองในน้ำ หากมีออกซิเจนละลายน้ำ (สมการที่ 4) เป็นผลให้เกิดการกัดกร่อนอย่างรวดเร็ว (สมการที่ 5)



การเกิดปฏิกิริยาออกซิเดชันของเฟอรัส (Fe^{2+}) กับออกซิเจน จะทำให้เกิดเฟอริกไซดรอกไซด์หรือสนิมเหล็ก อย่างไรก็ตามเมื่อมีน้ำเพียงอย่างเดียวที่สามารถทำให้เกิดการกัดกร่อนภายในสภาวะไร้ออกซิเจนได้ ดังสมการที่ 6 และ 7

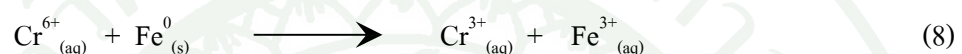


ผลของปฏิกิริยาจากสมการที่ 5 และ 7 ในสภาวะที่มีการเพิ่มค่าความเป็นกรด-ด่าง และมีบ่อเฟอร์อย่างอ่อน แม้ว่าจะพิจารณาผลกระบวนการได้ภาวะไร้ออกซิเจนแต่ก็ยังคงเกิดการกัดกร่อนได้อย่างรวดเร็ว เมื่อค่าความเป็นกรด-ด่างเพิ่มขึ้นจะทำให้เกิดการแตกตะbonของเฟอริกไซดรอกไซด์ (FeOH_2) เคลือบที่ผิวดวงโลหะ ทำให้เกิดการขับยับปฎิกิริยาได้

สำหรับสภาวะแวดล้อมที่มีออกซิเจนต่ำ เช่น ในแหล่งน้ำคาด หรือดิน สารมลพิษจะเป็นตัวรับอิเล็กตรอน (electron acceptor) แทนออกซิเจน และทำให้สารมลพิษเหล่านั้นเกิดการ

เปลี่ยนแปลง โครงสร้าง (transformation) ซึ่งผลิตภัณฑ์ (products) ส่วนใหญ่ที่ได้จากปฏิกิริยาเหล่านี้จะมีความเป็นพิษน้อยกว่าสารตั้งต้นและง่ายต่อการยับยั้งความสามารถของจุลินทรีย์ในสิ่งแวดล้อม (Satapanajaru, 2002) สำหรับกระบวนการการรีดักชั่น โดยการใช้โลหะเหล็กเป็นตัวให้อิเล็กตรอนสามารถนำไปใช้กับมลสารได้หลายชนิด อาทิเช่น

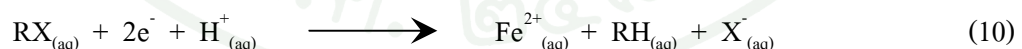
6.1 ผลสารที่เป็นไอออนของโลหะหนัก เช่น Hg^{2+} , Ni^{2+} และ Cd^{2+} เป็นต้น ตัวอย่างของกระบวนการการ อาทิเช่น การเปลี่ยนรูป hexavalent chromium (Cr^{6+}) ซึ่งมีความเป็นพิษสูง ให้อยู่ในรูปของ trivalent chromium (Cr^{3+}) ที่มีความเป็นพิษน้อยลง (Ponder *et al.*, 2000) แสดงในสมการที่ 8



6.2 ผลสารที่มีในไตรเจนเป็นองค์ประกอบ เช่น nitrate, TNT และ N-nitrosodimethylamine เป็นต้น ตัวอย่างของกระบวนการการ อาทิเช่น การลดลงของสารประกอบไนโตรอะโรมาติก (nitroaromatic reduction) (Xin *et al.*, 2010) แสดงในสมการที่ 9



6.3 ผลสารที่เป็นสารอินทรีย์ที่มีหมู่ชาโลเจนเป็นองค์ประกอบ ได้แก่ ตัวทำละลายที่ใช้ในอุตสาหกรรม เช่น chloform, trichlorobenzene และ dibromochloromethane เป็นต้น และสารกำจัดศัตรูพืช เช่น DDT, lindane และ endosulfan เป็นต้น ตัวอย่างของกระบวนการการ อาทิเช่น การลดหมู่ชาโลเจน (reductive dehalogenation) ของสารอินทรีย์ที่มีหมู่ชาโลเจนเป็นองค์ประกอบ (Gilham and O'Hannessin, 1994) ดังแสดงในสมการที่ 10



โลหะเหล็กวาเลนซ์สูงยังถูกนำมาประยุกต์ใช้ในการบำบัดสารมลพิษที่ปนเปื้อนหลายลักษณะ เช่น การฟื้นฟูพื้นที่ที่ปนเปื้อนสารกำจัดศัตรูพืชในน้ำไดคิน (Eykholt and Davenport, 1998) การใช้กำแพงปฏิกิริยา (permeable reactive barrier) (Georgios *et al.*, 2006) และการบำบัดในเครทแบบคลัมบ์ (Westerhoff and James, 2003) เป็นต้น รูปแบบของ โลหะเหล็กวาเลนซ์สูงที่ใช้งานคือ โลหะเหล็กจากอุตสาหกรรมหรืออนุภาคเหล็กขนาดไมโครเมตร แต่ปัจจุบันที่เกิดขึ้นคือ อนุภาคเหล็กที่มีขนาดใหญ่กว่า 10 ไมครอน ขึ้นไป ยกต่อการเคลื่อนย้ายออกจากพื้นที่เมื่อเสร็จสิ้นการบำบัดแล้ว

จึงได้มีการใช้โลหะเหล็กวานาเลนซ์ศูนย์ที่มีขนาดเล็กลง หรือ NZVI ซึ่งมีพื้นที่ผิว (surface area) มากกว่าเหล็กขนาดปกติประมาณ 10-1,000 เท่า (Lien and Zhang, 2001) รวมทั้งมีความเหมาะสม สำหรับการฟื้นฟูสภาพแวดล้อมที่มีการปนเปื้อนแบบในพื้นที่ (in situ remediation) โดยไม่จำเป็น ต้องนำ NZVI ออกมากจากพื้นที่หลังเสร็จสิ้นการบำบัดแล้ว อีกทั้ง โลหะเหล็กวานาเลนซ์ศูนย์ยัง ไม่เป็น อันตรายต่อสิ่งแวดล้อม และ ไม่มีผลกระทบต่อสุขภาพอนามัยของมนุษย์และสิ่งมีชีวิตต่างๆ

7. นาโนเทคโนโลยี

7.1 ความหมายของนาโนเทคโนโลยี

นาโนเทคโนโลยี หมายถึง เทคโนโลยีที่เกี่ยวข้องกับกระบวนการสร้าง การสังเคราะห์ วัสดุ อุปกรณ์ เครื่องจักร หรือผลิตภัณฑ์ซึ่งมีขนาดเล็กมากในระดับนาโนเมตร เพียงเท่ากับระดับ อนุภาคของ โมเลกุล หรืออะตอม รวมถึงการออกแบบหรือการใช้เครื่องมือสร้างวัสดุที่อยู่ในระดับที่ เล็กมาก หรือการเรียงอะตอมและ โมเลกุล ในตำแหน่งที่ต้องการ ได้อย่างแม่นยำและถูกต้อง ทำให้ โครงสร้างของวัสดุหรือสารมีคุณสมบัติพิเศษ ไม่ว่าทางด้านฟิสิกส์ เคมี หรือชีวภาพ (ศูนย์นาโนเทคโนโลยี, 2547)

7.2 สาขาย่อยของนาโนเทคโนโลยี

นาโนเทคโนโลยีเกี่ยวข้องกับหลายสาขาวิชา (หวาน พินธุพันธ์, 2549) อาทิเช่น

7.2.1 นาโนอิเล็กทรอนิกส์ (nano electronics) มีการวิจัยและพัฒนาใน อิเล็กทรอนิกส์ในหลายแห่งมุ่ง ที่จะก่อตั้งนักวิจัยในมหาวิทยาลัย จากห้องปฏิบัติการของหน่วยงาน ในภาครัฐและในภาคเอกชน มีการค้นคว้าตั้งแต่ระดับของสมบัติโมเลกุลเดียว การประกอบเป็น อุปกรณ์อิเล็กทรอนิกส์ การสร้างวงจรอย่างง่ายๆ ไปจนถึงการพัฒนา “นาโนคอมพิวเตอร์” หรือ คอมพิวเตอร์ขนาดจิ๋วและการทำคอมพิวเตอร์ที่เร็วขึ้นล้านเท่า เป็นต้น

7.2.2 นาโนเคมี (nano chemistry) ดำเนินขึ้นตั้งแต่ปี ก.ศ. 1985 เมื่อศาสตราจารย์ ริ查ร์ดสมอลลี่ ภาควิชาเคมี มหาวิทยาลัยไรซ์ รัฐเท็กซัส ประเทศสหรัฐอเมริกา ได้ค้นพบฟูลเลอร์ ลีน และพัฒนาไปเป็นท่อนาโน ตลอดจนเพื่อนาโน อันเป็นต้นกำเนิดของเครื่องจักรนาโนหรือ จุดจักรกลที่มีการศึกษาเกี่ยวกับอุปกรณ์ทางชีวภาพอยู่ในปัจจุบัน ตัวอย่างผลงานจากนาโนเคมีอีกหนึ่ง

ตัวอย่างคือ ถอนกรีตชนิดหนึ่งใช้เทคโนโลยีนาโน โดยผลิตภัณฑ์ดังกล่าวสามารถทำปฏิกริยากับมลภาวะที่เกิดจากการบนต์ เช่น ในโตรเจน ไดออกไซด์ ประเทสอัลงกฤษ ไดเริ่มนีกานาใช้เทคโนโลยีนาโนในการสร้างถนนและอุโมงค์ต่างๆ เพื่อลดผลกระทบท้องถนน และขณะเดียวกันเทคโนโลยีนาโนทำให้ออนุภาคถอนกรีตมีขนาดเล็กมาก ผุ่น และแบคทีเรีย ไม่สามารถฝังตัวในเนื้อถอนกรีตได้ ทำให้อาหารที่ใช้ถอนกรีตชนิดนี้ดูใหม่เสมอ และยังคงไม่สะสมเชื้อโรค

7.2.3 นาโนเทคโนโลยีชีวภาพ (nano biotechnology) เช่น การสร้างอาหารที่ไม่มีวันหมด การรักษาโรคมะเร็ง โดยการดื่มเพียงน้ำผลไม้ที่มีหุ่นยนต์จำเป็นที่มองไม่เห็น การใช้หุ่นยนต์นาโนในการป้องกันเชื้อโรค ซ้อมแซมผนังเซลล์ รักษาอาการไขมันอุดตันในเส้นเลือด หรือการสร้างหุ่นยนต์นาโนที่สามารถเคลื่อนที่ในกระแสเลือดเพื่อเข้าทำลายเชื้อโรคหรือเซลล์มะเร็งในร่างกาย โดยไม่ต้องมีการผ่าตัดที่เสี่ยงอันตราย สำหรับในประเทศไทยจะเน้นทางด้านสร้างเสริมสุขภาพอนามัยเป็นหลัก เนื่องจากเมืองไทยมีพืชพันธุ์ชั้นนำหลายสายพันธุ์ ประกอบกับมีนักวิทยาศาสตร์ไทยที่มีความสามารถในการเพาะเลี้ยงอาหาร โปรดีนที่มีคุณค่าระดับโลก

7.2.4 นาโนวิศวกรรม (nano engineering) เช่น การใช้พลังงานแสงอาทิตย์อย่างเต็มที่ การสร้างท่อนาโน (nano tube) แล้วอาจจะดัดแปลงนำมาใช้เป็นเกียร์และแบร์จิ้ง สำหรับส่งกำลังในทางวิศวกรรมเครื่องกลระดับโลก

7.2.5 วัสดุนาโน (nano material) เรียกว่า “วัสดุสุดจิ๋ว” หรือ “วัสดุ超微粒” คือ เป็นวัสดุที่มีโครงสร้างที่มีขนาดเล็กกว่า 100 นาโนเมตร หรือเป็นการรวมตัวกันของอะตอมเป็นกลุ่มก้อนที่มีขนาดเล็กกว่า 100 นาโนเมตร และมีขนาดเล็กกว่าขนาดของอนุภาคทั่วๆไป 10,000 เท่า โดยที่วัสดุนาโนสามารถแบ่งได้เป็นผลึกนาโน (nano crystalline) และอนุภาคนาโน (nano particle) โดยก้อนหรือปริมาตรผลึกนาโนจะประกอบด้วยเม็ดผลึก (grain sizes) ที่มีขนาดช่วงสเกลการวัดอยู่ในระดับนาโนถึงประมาณ 100 นาโนเมตร ขณะที่อนุภาคนาโนมีเส้นผ่านศูนย์กลางต่ำกว่า 100 นาโนเมตร ดังนั้นก้อนหรือปริมาตรของวัสดุที่เป็นผลึกนาโนจึงเกิดขึ้นจากการรวมกลุ่มกันของอนุภาคนาโน

คุณลักษณะเฉพาะที่สำคัญอย่างหนึ่งของอนุภาคนาโนคือ มีอัตราส่วนระหว่างพื้นที่ผิวและปริมาตรค่อนข้างสูง สัดส่วนพื้นที่ผิวของอะตอมที่สูงมาก ทำให้ออนุภาคนาโนมีคุณสมบัติที่แตกต่างไปจากก้อนปริมาตรของวัสดุในขนาดใหญ่ (ศุภกรรณ์ และคณะ, 2549)

8. อนุภาคเหล็กวนเดนซ์สูนย์บนาดนาโนเมตร (nano zero valent iron, NZVI)

นาโนเทคโนโลยีถูกนำมาประยุกต์ใช้ในหลายด้านรวมทั้งงานด้านสิ่งแวดล้อมและการบำบัดของเสียอันตราย การใช้ NZVI จึงเป็นหนึ่งในนาโนเทคโนโลยีที่ถูกนำมาในการบำบัดของเสียอันตรายที่ปนเปื้อนในสิ่งแวดล้อม เช่น trichloroethene (TCE) (Wang and Zhang, 1997; Lien and Zhang, 2001; Liu *et al.*, 2005), polychlorinated biphenyls (PCBs) (Wang and Zhang, 1997; Varanasi *et al.*, 2007), p-chlorophenol (Cheng *et al.*, 2006) และกลุ่มสารกำจัดศัตรูพืช เช่น atrazine (Satapanajaru *et al.*, 2008) เป็นต้น เนื่องจากอนุภาคเหล็กบนาดนาโนเมตรมีขนาดเล็ก มีพื้นที่ผิว (surface area) และพื้นที่ปฏิกิริยา (surface reactivity) ที่มากกว่าอนุภาคเหล็กปกติ ประมาณ 10-1000 เท่า จึงให้ประสิทธิภาพในการบำบัดสูง และใช้ปริมาณน้อย

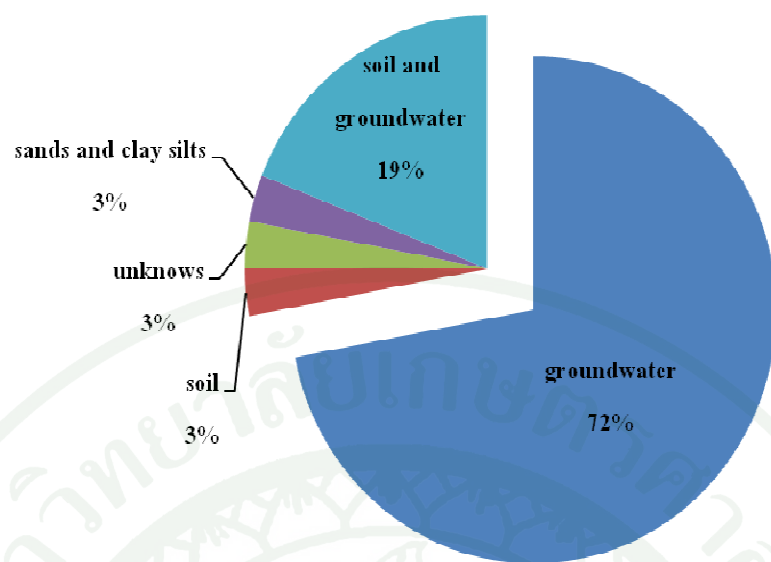
8.1 การสังเคราะห์ NZVI

การสังเคราะห์ทำได้โดยการเติมสารละลายนาโนโซเดียมบอร์ไฮเดรต (NaBH_4) ความเข้มข้น 0.25 M ลงในสารละลายน้ำฟีนิลคลอไรด์ ($\text{FeCl}_3 \cdot 6\text{H}_2\text{O}$) ความเข้มข้น 0.045 M อัตราส่วน 1:1 โดยปริมาตร ผสมสารละลายน้ำทั้งสองชนิดที่อุณหภูมิห้องพร้อมกับเปลือกไช่ในโตรเจน (N_2 99.995%) ทิ้งไว้ประมาณ 5 นาที (Lien and Zhang, 2001) จะเกิดตะกอนของ NZVI ดังแสดงในสมการที่ 11



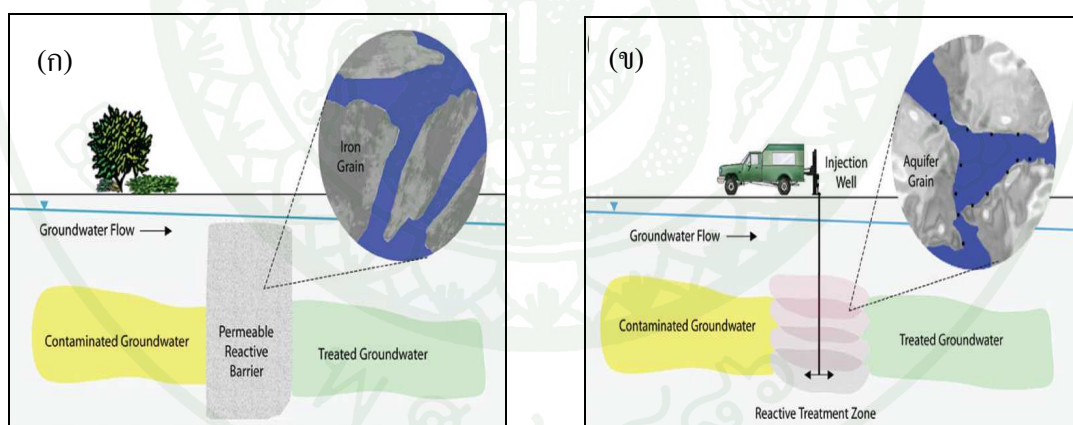
8.2 การประยุกต์ใช้ NZVI

NZVI ถูกนำมาใช้สำหรับการบำบัดของเสียอันตรายที่ปนเปื้อนทั้งในดิน น้ำ และน้ำใต้ดิน ซึ่งในประเทศไทยและอเมริกานามานำบัดน้ำใต้ดินที่ปนเปื้อนถึงร้อยละ 73 ของพื้นที่ที่มีการใช้ NZVI (U.S.EPA., 2005) ดังแสดงในภาพที่ 4 โดยนำมาเป็นแนวกำแพงปฏิกิริยา (permeable reactive barrier, PRB) หรือใช้โดยตรง (injection well) ดังแสดงในภาพที่ 5 ซึ่งการใช้ NZVI ในการบำบัดใช้ระยะเวลาเพียง 2-3 เดือน ใช้งบประมาณเพียง 300,000 ยูโร น้อยกว่าการใช้เหล็กวนเดนซ์สูนย์บนาดนาโนเมตรที่ใช้เวลาในการบำบัดนานนับปี และใช้งบประมาณถึง 1,460,000 ยูโร (Muller and Bearnd, 2010)



ภาพที่ 5 การใช้ NZVI สำหรับบำบัดของเสียอันตรายที่ปนเปื้อนในตัวกลางต่างๆ

ที่มา: ดัดแปลงจาก United States Environmental Protection Agency (2005)



ภาพที่ 6 รูปแบบการนำ NZVI มาใช้บำบัดน้ำให้คืนที่ปนเปื้อนจริง

(ก) แนวกำแพงปฏิกิริยา (permeable reactive barrier, PRB)

(ข) การใช้โดยตรง (injection well)

ที่มา: ดัดแปลงจาก Tranyek and Johnson (2006)

9. จลคลาสตร์ของการเกิดปฏิกิริยา (kinetic reaction rate)

จลคลาสตร์ (kinetic) หรืออัตราการเกิดปฏิกิริยาอาจอธิบายได้ด้วยกฎของกิริยา (law of action) ที่ระบุว่าอัตราการเกิดปฏิกิริยานั้นเป็นสัดส่วนโดยตรงกับความเข้มข้นของสารตั้งต้น (นัตรเพชร, 2553) ซึ่งสามารถเขียนให้อยู่ในรูปทั่วไปดังสมการที่ 12

$$\frac{dC_A}{dt} = -kf(C_A, C_B, \dots) \quad (12)$$

โดยความสัมพันธ์นี้เรียกว่ากฎของอัตรา (rate law) ได้แก่อัตราของปฏิกิริยาที่เข้มข้นกับผลคูณระหว่าง k (ที่แปรผันตามอุณหภูมิ) และพังก์ชันของความเข้มข้นของสารตั้งต้นทำปฏิกิริยา $f(C_A, C_B, \dots)$ โดยสามารถเขียนให้อยู่ในรูปของสมการที่ 13

$$\frac{dC_A}{dt} = -kC_A^\alpha C_B^\beta \quad (13)$$

เลขยกกำลังหนึ่งอีกความเข้มข้นของสารตั้งต้นเรียกว่า อันดับของปฏิกิริยา (reaction order) ซึ่งในสมการ 13 นั้นเรียกว่ามีอันดับที่ α สำหรับสาร A และอันดับที่ β สำหรับสาร B ซึ่งอันดับปฏิกิริยารวมได้แก่ $n = \alpha + \beta$ โดยอันดับรวมของปฏิกิริยาหรืออันดับสำหรับสารใดๆ ไม่จำเป็นต้องเป็นจำนวนเต็ม แต่โดยทั่วไปการนำบัคสารมลพิยมก็มีอันดับของปฏิกิริยาเป็นเลขจำนวนเต็ม หากปฏิกิริยานั้นมีสารตั้งต้นเพียงชนิดเดียว ก็จะเป็นดังสมการที่ 14

$$\frac{dC_A}{dt} = -kC^n \quad (14)$$

โดย $C =$ ความเข้มข้นของสารตั้งต้น และ $n =$ อันดับ

9.1 ปฏิกิริยาอันดับศูนย์ (zero order)

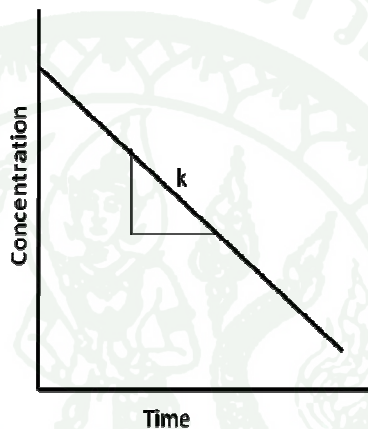
ปฏิกิริยาอันดับศูนย์ หรือ $n = 0$ อาจเขียนได้ดังสมการที่ 15

$$\frac{dC_A}{dt} = -k \quad (15)$$

โดยที่ k มีหน่วยเป็น $M/L^3/T$ ซึ่งหาก $C = C_0$ ที่ $t = 0$ สมการที่ 15 จะถูกอินพิเกรต เป็น

$$C = C_0 - kt \quad (16)$$

ซึ่งกราฟความสัมพันธ์ของปฏิกิริยาอันดับศูนย์เป็นไปดังภาพที่ 7 ซึ่งหมายถึง ขั้ตตราการขอยลักษของสารตั้งต้นมีค่าคงที่กับเวลา เมื่อพล็อตความสัมพันธ์ระหว่างความเข้มข้นของสารมูลพิมและเวลาจะได้กราฟเส้นตรง



ภาพที่ 7 ปฏิกิริยาอันดับศูนย์ (zero order)

9.2 ปฏิกิริยาอันดับหนึ่ง (first order)

ปฏิกิริยาอันดับศูนย์ หรือ $n = 1$ อาจเขียนได้ดังสมการที่ 17

$$\frac{dC_A}{dt} = -kC \quad (17)$$

โดยที่ k มีหน่วยเป็น T^{-1} ซึ่งหาก $C = C_0$ ที่ $t = 0$ สมการที่ 18 จะถูกอินพิเกรตเป็น

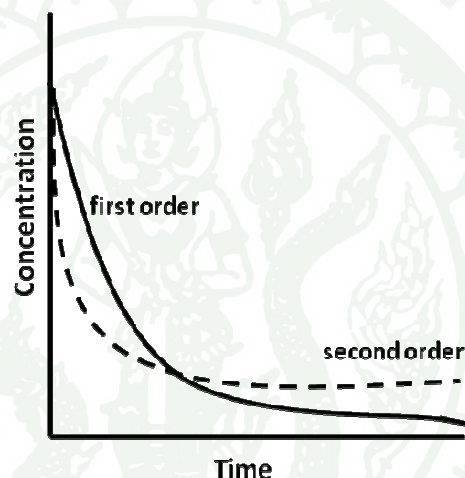
$$\ln C - \ln C_0 = -kt \quad (18)$$

หรือ

$$C = C_0 e^{-kt} \quad (19)$$

จากสมการข้างต้น อัตราการย่อยสลายจะปรับตามความเข้มข้นของสารตั้งต้นที่ช่วงเวลา ก่อนหน้าดังนั้นอัตราการย่อยสลายจะลดลงเมื่อเวลาผ่านไปดังภาพที่ 8 ซึ่งจะเห็นว่า กราฟแสดงความเข้มข้นจะเข้าใกล้ศูนย์เมื่อเวลาผ่านไป และกราฟระหว่าง $\ln C$ เมื่อเทียบกับเวลา t จะเป็นกราฟเส้นตรงที่มีความชัน $= -k$ (สมการที่ 18) ค่า $\ln C$ ลดลงเมื่อเวลา t ผ่านไป และเมื่อปริมาณ C หมดไปครึ่งหนึ่ง เวลา t เรียกว่า ครึ่งเวลา ($t_{1/2}$) ซึ่งหมายถึงเวลาที่ต้องใช้เพื่อให้ความเข้มข้นหรือปริมาณของสารลดพิษเหลือครึ่งหนึ่งของปริมาณสารเดิม ดังสมการที่ 20

$$C = \frac{C_0}{2} \quad (20)$$



ภาพที่ 8 ปฏิกิริยาอันดับหนึ่ง (first order) และปฏิกิริยาอันดับสอง (second order)

9.3 ปฏิกิริยาอันดับสอง

ปฏิกิริยาอันดับสอง หรือ $n = 2$ อาจเขียนได้ดังสมการที่ 21

$$\frac{dC_A}{dt} = -kC^2 \quad (21)$$

โดยที่ k มีหน่วยเป็น $L^3/M/T$ ซึ่งหาก $c = c_0$ ที่ $t = 0$ สมการที่ 21 จะถูกอินทิเกรต เป็น

$$\frac{1}{C} = \frac{1}{C_0} + kt \quad (22)$$

ซึ่งในสมการอันดับสองนี้ กราฟความสัมพันธ์ระหว่าง $1/C$ เทียบกับเวลา t ก็จะเป็นเส้นตรง โดยอัตราการย่อยสารจะเปรียบพนตามความเข้มข้นของสารตั้งต้นที่ช่วงเวลา ก่อนหน้านี้ และจะเห็นว่ากราฟความเข้มข้นจะเข้าใกล้ศูนย์เมื่อเวลาผ่านไปนานขึ้น แต่กราฟของอัตราการย่อยสารจะอันดับสองนี้จะมีส่วนโค้งมากกว่ากราฟของอัตราการย่อยสารอันดับหนึ่ง (ภาพที่ 8)

9. งานวิจัยที่เกี่ยวข้อง

Lee and Craig (2004) ศึกษาการดูดซับและกำจัดอะลาคลอร์ และเมโทลาคลอร์ที่ปนเปื้อนในน้ำได้ดีโดยใช้ green sand ซึ่งเป็นฝุ่นพูนทราระที่เกิดจากการบวนการทำแบบหล่อขึ้นรูปชิ้นส่วนโดย green sand จะมีอนุภาคเหล็กและสารอินทรีาร์บอนเป็นองค์ประกอบ ทำการเปรียบเทียบกับการใช้ผงเหล็กในการกำจัดอะลาคลอร์ และเมโทลาคลอร์พบว่า green sand ให้ค่าคงที่จำเพาะการเกิดปฏิกิริยา (specific reaction rate, k_{SA}) เป็น 7.9 และ $5.5 \text{ L/m}^2 \cdot \text{h}$ ตามลำดับ ซึ่งให้ผลที่ใกล้เคียงกับการใช้ผงเหล็กที่ให้ค่าคงที่จำเพาะการเกิดปฏิกิริยาเป็น 7.1 และ $5.1 \text{ L/m}^2 \cdot \text{h}$ ตามลำดับ

Shea *et al.* (2004) ศึกษาการฟื้นฟูดินที่ปนเปื้อนสารกำจัดศัตรูพืชโดยใช้เหล็กवาเลนต์ศูนย์โดยคืนที่นำมาทดลองมีปริมาณของเมโทลาคลอร์ $2,000 \text{ mg/kg}$ อะลาคลอร์ 79 mg/kg แอนทรารชิน 150 mg/kg และ เพนดิเมทาลีน 40 mg/kg พบว่า เมื่อทำการฟื้นฟูด้วยเหล็กวาเลนต์ศูนย์เพียงอย่างเดียวปริมาณความเข้มข้นของ เมโทลาคลอร์ อะลาคลอร์ แอนทรารชิน และ เพนดิเมทาลีนลดลง 60 เปอร์เซ็นต์ ภายในระยะเวลาสามสัปดาห์ 90 วัน และเมื่อเพิ่ม 2% (w/w) $\text{Al}_2(\text{SO}_4)_3$ พบว่าปริมาณความเข้มข้นของเมโทลาคลอร์, อะลาคลอร์, แอนทรารชิน และ เพนดิเมทาลีน ลดลงมากกว่า 90 เปอร์เซ็นต์ภายใน ภายในระยะเวลาสามสัปดาห์ 90 วัน

Jong *et al.* (2007) ศึกษาการใช้เกลือคลอไรด์ (chloride salt) และเกลือบอร์ไนด์ (bromide salt) ร่วมกับเหล็กวาเลนต์ศูนย์ในการบำบัด hexahydro-1,3,5-trinitro-1,3,5-triazine (RDX), octahydro-1,3,5,7-tetranitro-1,3,5,7-tetrazine (HMX), 2,4,6-trinitrotoluene(TNT) พบว่าอัตราการการถลายน้ำมีมากกว่า RDX จึงได้ทดลองเพิ่ม NaBr และ CaCl_2 ความเข้มข้น 5 mmol ที่เวลา 24 ชั่วโมง พบว่า เมื่อมีบำบัดต่อไปจนถึง 32 ชั่วโมงทั้ง RDX และ HMX ถูกกำจัดหมด

และพบว่าความเป็นกรด-ค่าของ CaCl_2 ($\text{pH} = 7.5$) น้อยกว่า NaBr ($\text{pH} = 9.5$) ซึ่งค่าความเป็นกรด-ค่าที่ลดลงจะช่วยเพิ่มอัตราการกร่อนที่ผิวน้ำเหล็กได้อีกทางหนึ่ง

Xin *et al.* (2010) ศึกษาสภาวะที่เหมาะสมในการกำจัดน้ำเสียที่ปนเปื้อน 2,4,6-trinitrotoluene (TNT) โดยอนุภาคเหล็กขนาดนาโนเมตร (nano zero-valent iron) พบว่า TNT ถูกกำจัดได้มากกว่า 90 เปอร์เซ็นต์ เมื่อใช้ NZVI บริ�าน 5 g/L ความเข้มข้นของ TNT เป็น 80 mg/L ความเป็นกรด-ค่า และอุณหภูมิเริ่มต้นของสารละลายนี้เป็น 4 และ 40 °C และพบว่าค่าคงที่ของการนำบัด (k_{obs}) เป็น 0.31 h^{-1}

อุปกรณ์และวิธีการ

อุปกรณ์

1. เครื่องมือและอุปกรณ์ในการทดลอง

- 1.1 บีกเกอร์ (beaker) ขนาด 50, 100, 250, 500 ml
- 1.2 ขวดวัดปริมาตร (volumetric flasks) ขนาด 5, 100, 1000 ml
- 1.3 กระบอกตวง (graduated cylinder) ขนาด 100 มิลลิลิตร, 50 ml
- 1.4 ตู้ปราศจากก๊าซออกซิเจน (anaerobic chamber)
- 1.5 เครื่องวัดค่าความเป็นกรด-ด่าง (pH meter)
- 1.6 เครื่องกวนสาร (magnetic stirrer)
- 1.7 เครื่องเทบeyer (shaker)
- 1.8 เครื่องชั่งละเอียด 4 ตำแหน่ง (analytic balance)
- 1.9 เครื่องเหวี่ยงสารละลาย (centrifuge)
- 1.10 กระดาษชั่งสาร (weighting papers)
- 1.11 หลอดปืนเหวี่ยง (centrifuge tube) ขนาด 1.5, 50 ml
- 1.12 ไมโครพิเพต (micropipet) ขนาด 1-5 ml
- 1.13 ไมโครพิเพตทิป (micropipet tips) ขนาด 1-5 ml
- 1.14 ขวดลดความดัน (suction flask)
- 1.15 กรวยบุชเนอร์ (buchner funnel)
- 1.16 เครื่องกรองสุญญากาศ (suction pump)
- 1.17 ขวดฉีดน้ำกลั้น (wash bottle)
- 1.18 แท่งแก้วคน (stirring rod)
- 1.19 ช้อนตักสาร (spatula)
- 1.20 หลอดหยดสาร (dropper)
- 1.21 กระดาษกรอง (paper filter) ยี่ห้อ Whatman เบอร์ 41
- 1.22 กระดาษกรองเซลลูโลไซด์ (cellulose filter)
- 1.23 ขวดเก็บตัวอย่าง (HPLC vials) ขนาด 1.5 ml
- 1.24 แท่งแม่เหล็ก (magnetic)

2. สารเคมี

- 2.1 อนุภาคเหล็กวาเลนซ์ศูนย์นาดาดนาโนเมตร (nano zero valent iron, NZVI) (Nanofer 25S) จาก NANOIRON,S.R.O.(Czech Republic)
- 2.2 เมโทลาคลอร์ (Metolaclor-Dual 8E) 84.6% จาก Syngenta, Greenboro, NC
- 2.3 ไชโคไนท์ (RDX) 90%
- 2.4 อะลูมิเนียมชาลไฟต์ ($\text{Al}_2(\text{SO}_4)_3$) ยี่ห้อ Aldrich Chemical Co.
- 2.5 อะลูมิเนียมคลอไรด์ (AlCl_3) ยี่ห้อ Aldrich Chemical Co.
- 2.6 กรดชาลฟิวริกเข้มข้น (Conc. H_2SO_4) ยี่ห้อ Fisher Scientific Co Ltd.
- 2.7 โซเดียมไฮดรอกไซด์ (NaOH) ยี่ห้อ Aldrich Chemical Co.
- 2.8 กรดไฮโดรคลอริก (Conc. HCl) ยี่ห้อ Aldrich Chemical Co.
- 2.9 อะซิโตไนไตรอล (acetonile) เกรดวิเคราะห์ HPLC ยี่ห้อ EMD
- 2.10 น้ำประจากไอโอดอน (ultra pure water) สำหรับวิเคราะห์โดยเครื่อง HPLC
- 2.11 ก๊าซไนโตรเจน (nitrogen gas) ร้อยละ 99.995
- 2.12 ก๊าซไฮเดรย์สมก๊าซไนโตรเจนในอัตราส่วนร้อยละ 95:5

3. เครื่องมือวิเคราะห์มูลสารอินทรีย์

- 3.1 เครื่อง High-Performance Liquid Chromatography (HPLC) ยี่ห้อ Shimadzu รุ่น SPD M20A
- 3.2 คอลัมน์ 4.6- by 250 Hybersil gold
- 3.3 คอลัมน์ Keystone betasil NA

4. เครื่องมือวิเคราะห์ลักษณะทางสัณฐานวิทยาของอนุภาคเหล็กนาดาดนาโนเมตร

เครื่อง Scanning Electron Microscopy (SEM) ยี่ห้อ Philips รุ่น XL30 & EDAX

วิธีการ

1. การศึกษาข้อมูลและเก็บรวบรวมข้อมูล

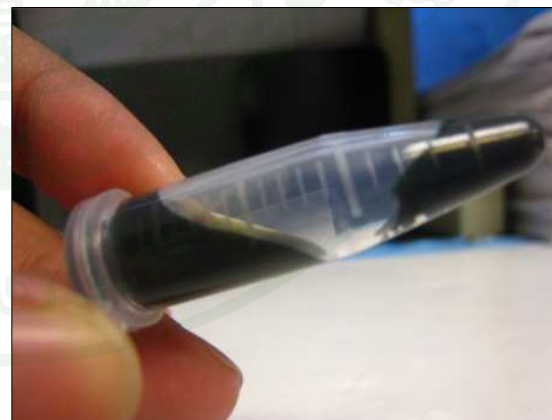
ศึกษาข้อมูลที่เกี่ยวข้องกับงานวิจัยเพื่อใช้เป็นแนวทางในการดำเนินการ และพัฒนางานวิจัยให้สามารถนำไปใช้ในการพื้นฟูพื้นที่ที่บ่อบึงอนจริงได้ เช่น การหาข้อมูลงานวิจัยที่เกี่ยวข้องกับการนำ NZVI มาบำบัดสารมลพิษอินทรีย์

2. การเตรียม NZVI

เตรียม NZVI (Nanofer 25s) ที่ได้จาก Nanoiron, S.R.O. (Czech Republic) ภายใต้ตู้ปราศจากอากาศออกซิเจน (anaerobic chamber) (ภาพที่ 9(ก)) โดยก่อนใช้ตู้ปราศจากอากาศออกซิเจน ต้องทำการไล่ก๊าซออกซิเจนที่อยู่ภายในตู้ออก แล้วจึงอัดก๊าซในไตรเจนเข้าไปแทนที่อากาศที่ถูกไล่ออก ทำซ้ำ 2 ครั้ง และทำการไล่ก๊าซในไตรเจนออก อัดก๊าซอีก 95% แล้วจึงนำ NZVI มาเหวี่ยงด้วยความเร็วรอบ 4,000 รอบต่อนาทีเป็นเวลา 40 นาที NZVI ที่อยู่ก้นของหลอดเหวี่ยงถูกนำมาใช้สำหรับการทดลอง (ภาพที่ 9(ข))



(ก)



(ข)

ภาพที่ 9 (ก) ตู้ปราศจากอากาศ (anaerobic chamber)

(ข) NZVI หลังจากการเหวี่ยงด้วยความเร็วรอบ 4,000 รอบต่อนาที เป็นเวลา 40 นาที

3. การวิเคราะห์ลักษณะทางสัณฐานวิทยา (morphology) ของ NZVI

นำ NZVI ที่เตรียมได้จากข้อ 2 มาทำให้แห้งโดยเป่าด้วยก๊าซในไตรเจน (N_2 99.995%) จนแห้ง เก็บไว้ในถุงซิป และเติมก๊าซในไตรเจนเพื่อป้องกันการออกซิไดซ์ แล้วจึงนำไปทำการศึกษาโดยเครื่อง Philips รุ่น XL30 & EDAX ที่ศักยภาพฟ้า 15 KV เพื่อวิเคราะห์

3.1 ลักษณะของ NZVI โดยกล้องจุลทรรศน์อิเล็กตรอนแบบส่องผ่าน (Scanning Electron Microscope, SEM)

3.2 องค์ประกอบของ NZVI โดย Energy-dispersive X-ray spectroscopy (EDX)

4. การวิเคราะห์มลสารอินทรีย์โดยเครื่อง High-Performance Liquid Chromatography (HPLC)

4.1 การวิเคราะห์เมโทลาคลอร์

วิเคราะห์ความเข้มข้นของเมโทลาคลอร์โดยเทคนิค HPLC (High Performance Liquid Chromatography) ใช้คอลัมน์ 4.6 - by 250 Hybersil gold, photodiode array detector ความยาวคลื่น 220 นาโนเมตร mobile phase เป็นอะซิโตไนไตรล์ (ACN) ต่อน้ำ (50:50) และ flow rate 1.0 ml/min และระยะเวลาในการวิเคราะห์สาร (retention time) เป็น 20 นาที

4.2 การวิเคราะห์ไซโคลอินท์

วิเคราะห์ความเข้มข้นของไซโคลอินท์โดยเทคนิค HPLC (High Performance Liquid Chromatography) ใช้คอลัมน์ Keystone betasil NA, photodiode array detector ความยาวคลื่น 220 นาโนเมตร mobile phase เป็นอะซิโตไนไตรล์ต่อน้ำ (50:50) flow rate 1.0 ml/min และระยะเวลาในการวิเคราะห์สาร (retention time) เป็น 10 นาที

5. การเตรียมสารมลพิษอินทรีย์

5.1 การเตรียมเม็толาคลอร์เข้มข้น 100 mg/L

ปีเปต Metolaclor-Dual 8E (84.6%) ปริมาณ 0.12 ml ใส่ในขวดวัสดุปริมาตรขนาด 1,000 ml และจึงเติมน้ำปราศจากไออกอนจนถึงขีดปริมาตร จะได้เม็толาคลอร์ความเข้มข้น 100 mg/L

5.2 การเตรียมไฮโครไนท์เข้มข้น 20 mg/L

ชั้งไฮโครไนท์ (90%) ปริมาณ 0.022 g เติมน้ำปราศจากไออกอนประมาณ 250 ml จากนั้นจึงนำไปทำละลายด้วยเครื่องกวนสารละลาย (magnetic stirrer) และนำไปใส่ในขวดวัสดุปริมาตรขนาด 1,000 ml ปรับปริมาตรโดยนำปราศจากไออกอนจนถึงขีดปริมาตร จะได้ไฮโครไนท์ความเข้มข้น 20 mg/L

6. การเตรียมสารละลายกรดซัลฟิวริก (H_2SO_4) สารละลายโซเดียมไฮดรอกไซด์ ($NaOH$) และสารละลายกรดไฮโดรคลอริก (HCl)

6.1 สารละลายกรดซัลฟิวริก (H_2SO_4) เข้มข้น 0.5 M

ปีเปตกรดซัลฟิวริกเข้มข้น (34%) 4.47 ml ใส่ในขวดวัสดุปริมาตรขนาด 100 ml และจึงเติมน้ำปราศจากไออกอนจนถึงขีดปริมาตร จะได้สารละลายกรดซัลฟิวริกความเข้มข้น 0.5 M

6.2 สารละลายกรดไฮโดรคลอริก 0.01%

ปีเปตกรดไฮโดรคลอริกเข้มข้น (36.5 - 38%) 4.17 ml ใส่ในขวดวัสดุปริมาตรขนาด 100 ml และจึงเติมน้ำปราศจากไออกอนจนถึงขีดปริมาตร จะได้สารละลายกรดไฮโดรคลอริก 0.01%

6.3 สารละลายน้ำโซเดียมไฮดรอกไซด์ (NaOH) เข้มข้น 0.5 M

ชั่งโซเดียมไฮดรอกไซด์ 2 g ละลายด้วยน้ำปราศจากไออกอน ใส่ในขวดวัดปริมาตรขนาด 100 mL แล้วจึงเติมน้ำปราศจากไออกอนจนถึงขีดปริมาตร จะได้สารละลายน้ำโซเดียมไฮดรอกไซด์ความเข้มข้น 0.5 M

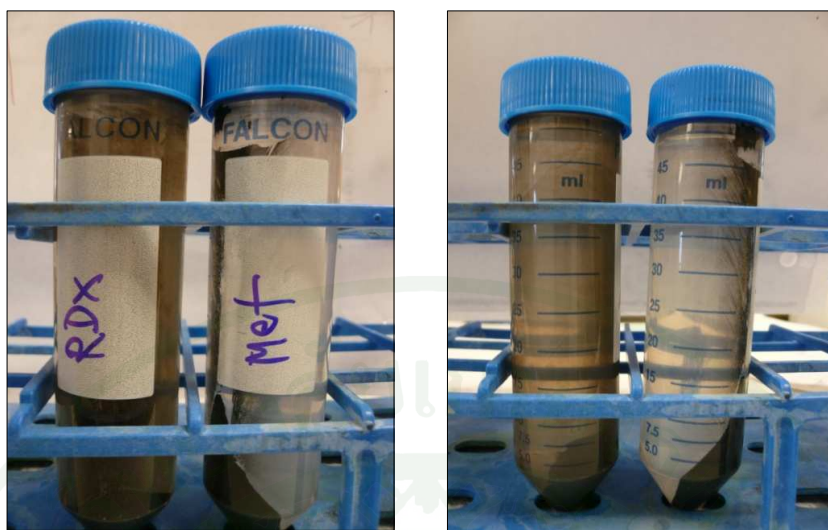
7. การนำกลับมาใช้ใหม่ของ NZVI

7.2 อนุภาคเหล็กวนเดนซ์สูนย์บนาดนาโนเมตรที่ผ่านการล้างด้วยกรด (recovery nano zero valent iron, RNZVI)

การล้าง NZVI ทำภายในตู้ที่ปราศจากออกซิเจน (anaerobic chamber) โดยนำ NZVI ที่ผ่านการบำบัด และปั่นให้วายแยกระดับพิษอนทรีย์ออก (ภาพที่ 10) ปริมาณ 1 g มาเติมสารละลายน้ำโซเดียมไฮดรอกไซด์ความเข้มข้น 0.01% ปริมาตร 100 mL เข้าสารละลายน้ำโซเดียมไฮดรอกไซด์ แล้วล้างออกด้วยน้ำที่ปราศจากไออกอน จากนั้นจึงแยก NZVI ออกจากสารละลายน้ำโดยการเหวี่ยงด้วยความเร็วรอบ 4,000 รอบต่อนาทีเป็นเวลา 40 นาที RNZVI ที่อยู่ก้นของหลอดเหวี่ยงถูกนำมาใช้สำหรับการทดลอง

7.1 อนุภาคเหล็กวนเดนซ์สูนย์บนาดนาโนเมตรที่ไม่ผ่านการล้างด้วยกรด (aged nano zero valent iron, ANZVI)

การเตรียม ANZVI ทำภายในตู้ที่ปราศจากออกซิเจน (anaerobic chamber) โดยนำ NZVI ที่ผ่านการบำบัดมาปั่นให้วายแยกระดับพิษอนทรีย์ออก และล้างออกด้วยน้ำที่ปราศจากไออกอน จากนั้นจึงแยก ANZVI ออกจากสารละลายน้ำโดยการเหวี่ยงด้วยความเร็วรอบ 4,000 รอบต่อนาทีเป็นเวลา 40 นาที ANZVI ที่อยู่ก้นของหลอดเหวี่ยงถูกนำมาใช้สำหรับการทดลอง



ภาพที่ 10 NZVI หลังจากที่ใช้น้ำบดเมโลกาลอร์และไซโคล ไนท์

8. การนำบดเมโลกาลอร์โดย NZVI

8.1 ศึกษาปริมาณ NZVI ที่มีผลต่อการนำบดเมโลกาลอร์

ทำการทดลองนำบดเมโลกาลอร์ปริมาตร 100 ml ความเข้มข้นเริ่มต้น 100 mg/L โดยใช้ NZVI ปริมาณ 0.5, 1 และ 5% (w/v) ทำซ้ำจำนวน 3 ขั้น เบ่าสารละลายด้วยเครื่องเบ่า เก็บตัวอย่างที่เวลา 0 10 20 30 40 50 60 80 100 และ 120 นาที ตามลำดับ นำตัวอย่างที่ได้ไป測定ที่ความเร็ว 14,000 รอบต่อนาทีเป็นเวลา 5 นาที ทำซ้ำ 2 ครั้ง เพื่อแยกตะกอนเหล็ก จากนั้นนำไปวัดด้วยเครื่อง High-Performance Liquid Chromatography (HPLC) นำค่าที่ได้มาสร้างกราฟเพื่อหาความเข้มข้นที่เหลืออยู่ และคำนวณหาค่าคงที่ของการนำบด (destruction rate constant, k_{obs}) เมโลกาลอร์

8.2 ศึกษาผลของค่าความเป็นกรด-ด่าง (pH) ต่อการนำบดเมโลกาลอร์

เตรียมเมโลกาลอร์ปริมาตร 100 ml ความเข้มข้นเริ่มต้น 100 mg/L ซึ่งมีความเป็นกรด-ด่างเริ่มต้นเป็น 5.37 จากนั้นจึงปรับค่าความเป็นกรด-ด่างด้วยกรดซัลฟิวริก (H_2SO_4) 0.5 M หรือโซเดียมไฮดรอกไซด์ ($NaOH$) 0.5 M ที่เตรียมได้จากข้อ 6 ให้ได้ความเป็นกรด-ด่างเท่ากับ 4 7 และ 10 จากนั้นจึงเติม NZVI 1% (w/v) ทำซ้ำจำนวน 3 ขั้น เบ่าสารละลายด้วยเครื่องเบ่า เก็บตัวอย่างที่เวลา 0 10 20 30 40 50 60 80 100 และ 120 นาที ตามลำดับ นำตัวอย่างที่ได้ไป測定ที่

ความเร็ว 14,000 รอบต่อนาทีเป็นเวลา 5 นาที ทำซ้ำ 2 ครั้งเพื่อแยกตะกอนเหล็ก จากนั้นนำไปวัดด้วยเครื่อง High-Performance Liquid Chromatography (HPLC) นำค่าที่ได้มาสร้างกราฟเพื่อหาความเข้มข้นที่เหลืออยู่ และคำนวณหาค่าคงที่ของการบำบัด (destruction rate constant, k_{obs}) เมโทลาคลอร์

8.3 ศึกษาผลของเกลืออะลูมิเนียม (Al-Salt) ต่อการบำบัดเมโทลาคลอร์

ศึกษาผลของเกลืออะลูมิเนียม โดยใช้อะลูมิเนียมชัลไฟต์ ($\text{Al}_2(\text{SO}_4)_3$) และอะลูมิเนียมคลอไรด์ (AlCl_3) 0.05 และ 0.1% (w/v) โดยเติมเกลือดังกล่าวลงในขวดรูปชามพู่แล้วเติมเมโทลาคลอร์ปริมาณ 100 ml ความเข้มข้นเริ่มต้น 100 mg/L NZVI ปริมาณ 1% (w/v) ทำซ้ำจำนวน 3 ขวด เขย่าสารละลายด้วยเครื่องเขย่า เก็บตัวอย่างที่เวลา 0 10 20 30 40 50 60 80 100 และ 120 นาที ตามลำดับ นำตัวอย่างที่ได้ไป測定ที่ความเร็ว 14,000 รอบต่อนาทีเป็นเวลา 5 นาที ทำซ้ำ 2 ครั้งเพื่อแยกตะกอนเหล็ก จากนั้นนำไปวัดด้วยเครื่อง High-Performance Liquid Chromatography (HPLC) นำค่าที่ได้มาสร้างกราฟเพื่อหาความเข้มข้นที่เหลืออยู่ และคำนวณหาค่าคงที่ของการบำบัด (destruction rate constant, k_{obs}) เมโทลาคลอร์

8.4 ศึกษาผลของสภาวะออกซิเจน (aerobic condition) และสภาวะไรroxigen (anaerobic condition) ต่อการบำบัดเมโทลาคลอร์

8.4.1 ผลของสภาวะออกซิเจน

ทำการทดลองบำบัดเมโทลาคลอร์ปริมาณ 100 ml ความเข้มข้นเริ่มต้น 100 mg/L โดยใช้ NZVI ปริมาณ 0.5, 1 และ 5% (w/v) ทำซ้ำจำนวน 3 ขวด เขย่าสารละลายด้วยเครื่องเขย่า เก็บตัวอย่างที่เวลา 0 10 20 30 40 50 60 80 100 และ 120 นาที ตามลำดับ นำตัวอย่างที่ได้ไป測定ที่ความเร็ว 14,000 รอบต่อนาทีเป็นเวลา 5 นาที ทำซ้ำ 2 ครั้งเพื่อแยกตะกอนเหล็ก จากนั้นนำไปวัดด้วยเครื่อง High-Performance Liquid Chromatography (HPLC) นำค่าที่ได้มาสร้างกราฟเพื่อหาความเข้มข้นที่เหลืออยู่ และคำนวณหาค่าคงที่ของการบำบัด (destruction rate constant, k_{obs}) เมโทลาคลอร์

8.4.2 ผลของสภาวะไร้ออกซิเจน

การทดลองนี้ทำภายในตู้ปราศจากกําชออกซิเจน(ananerobic chamber) โดยเตรียมเม็ดลักษณะปูร์ปิรามิด 100 ml ความเข้มข้นเริ่มต้น 100 mg/L และใช้ NZVI ปริมาณ 0.5, 1 และ 5% (w/v) ทำการทดลองจำนวน 3 ชุด เบื้องต้นนำตัวอย่างที่ได้ไปให้กับตู้ห้องปฏิบัติงานที่ความเร็ว 14,000 รอบต่อนาทีเป็นเวลา 5 นาที ทำการทดสอบโดยนำตัวอย่างที่ได้ไปให้กับตู้ห้องปฏิบัติงานออกซิเจน (anaerobic chamber) จากนั้นนำออกมายังเครื่อง High-Performance Liquid Chromatography (HPLC) นำค่าที่ได้มาสร้างกราฟเพื่อหาความเข้มข้นที่เหลืออยู่ และคำนวณหาค่าคงที่ของการนำบัด (destruction rate constant, k_{obs}) เม็ดลักษณะปูร์ปิรามิด

9. การนำบัดไชโครไนท์โดย NZVI

9.1 ศึกษาปริมาณ NZVI ที่มีผลต่อการนำบัดไชโครไนท์

ทำการทดลองนำบัดไชโครไนท์ปูร์ปิรามิด 100 ml ความเข้มข้นเริ่มต้น 20 mg/L โดยใช้ NZVI ปริมาณ 0.05, 0.1 และ 0.25% (w/v) ทำการทดลองจำนวน 3 ชุด เบื้องต้นนำตัวอย่างด้วยเครื่องเบื้องต้น เก็บตัวอย่างที่เวลา 0 5 10 20 30 40 50 60 80 100 และ 120 นาที ตามลำดับ นำตัวอย่างที่ได้ไปให้กับตู้ห้องปฏิบัติงานที่ความเร็ว 14,000 รอบต่อนาทีเป็นเวลา 5 นาที ทำการทดสอบโดยนำตัวอย่างที่ได้มาสร้างกราฟเพื่อหาความเข้มข้นที่เหลืออยู่ และคำนวณหาค่าคงที่ของการนำบัด (destruction rate constant, k_{obs}) ไชโครไนท์

9.2 ศึกษาผลการค่าความเป็นกรด-ด่าง (pH) ต่อการนำบัดไชโครไนท์

เตรียมไชโครไนท์ปูร์ปิรามิด 100 ml ความเข้มข้นเริ่มต้น 20 mg/L ซึ่งมีความเป็นกรด-ด่างเริ่มต้นเป็น 6.65 จากนั้นจึงปรับค่าความเป็นกรด-ด่างด้วย กรดซัลฟิวริก (H_2SO_4) 0.5 M หรือโซเดียมไฮดรอกไซด์ ($NaOH$) 0.5 M ที่เตรียมได้จากข้อ 6 ให้ได้ความเป็นกรด-ด่างเท่ากับ 4.7 และ 10 จากนั้นจึงตีบิม NZVI ปริมาณ 0.25% (w/v) ทำการทดลองจำนวน 3 ชุด เบื้องต้นนำตัวอย่างด้วยเครื่องเบื้องต้น เก็บตัวอย่างที่เวลา 0 5 10 20 30 40 50 60 80 100 และ 120 นาที ตามลำดับ นำตัวอย่างที่ได้ไปให้กับตู้ห้องปฏิบัติงานที่ความเร็ว 14,000 รอบต่อนาทีเป็นเวลา 5 นาที ทำการทดสอบโดยนำตัวอย่างที่ได้มาสร้างกราฟเพื่อหาความเข้มข้นที่เหลืออยู่ และคำนวณหาค่าคงที่ของการนำบัด (destruction rate constant, k_{obs}) ไชโครไนท์

ด้วยเครื่อง High-Performance Liquid Chromatography (HPLC) นำค่าที่ได้มาสร้างกราฟเพื่อหาความเข้มข้นที่เหลืออยู่ และคำนวณหาค่าคงที่ของการบำบัด (destruction rate constant, k_{obs}) ไซโตรไนท์

9.3 ศึกษาผลของเกลืออะลูมิเนียม(Al-Salt) ต่อการบำบัดไซโตรไนท์

ศึกษาผลของเกลืออะลูมิเนียม โดยใช้อะลูมิเนียมชัลเฟต ($\text{Al}_2(\text{SO}_4)_3$) และอัลูมิเนียมคลอไรด์ (AlCl_3) ในปริมาณ 0.05 และ 0.1% (w/v) โดยเติมเกลือดังกล่าวลงในขวดรูปชมพู่ แล้วเติมไซโตรไนท์ ปริมาตร 100 ml ความเข้มข้นเริ่มต้น 20 mg/L NZVI ปริมาณ 0.25% (w/v) ทำซ้ำจำนวน 3 ขวด เขย่าสารละลายด้วยเครื่องเขย่า กึ่งตัวอย่างที่เวลา 0 5 10 20 30 40 50 และ 60 นาที ตามลำดับ นำตัวอย่างที่ได้ไป測定ที่ความเร็ว 14,000 รอบต่อนาทีเป็นเวลา 5 นาที ทำซ้ำ 2 ครั้งเพื่อแยกตะกอนเหล็ก จากนั้นนำไปวัดด้วยเครื่อง High-Performance Liquid Chromatography (HPLC) นำค่าที่ได้มาสร้างกราฟเพื่อหาความเข้มข้นที่เหลืออยู่ และคำนวณหาค่าคงที่ของการบำบัด (destruction rate constant, k_{obs}) ไซโตรไนท์

9.4 ศึกษาผลของสภาวะออกซิเจน (aerobic condition) และสภาวะไร้ออกซิเจน (anaerobic condition) ต่อการบำบัดไซโตรไนท์

9.4.1 ผลของสภาวะออกซิเจน

ทำการทดลองบำบัดไซโตรไนท์ปริมาตร 100 ml ความเข้มข้นเริ่มต้น 20 mg/L โดยใช้ NZVI ปริมาณ 0.05, 0.1 และ 0.25% (w/v) ทำซ้ำจำนวน 3 ขวด เขย่าสารละลายด้วยเครื่องเขย่ากึ่งตัวอย่างที่เวลา 0 5 10 20 30 40 50 60 80 100 และ 120 นาที ตามลำดับ นำตัวอย่างที่ได้ไป測定ที่ความเร็ว 14,000 รอบต่อนาทีเป็นเวลา 5 นาที ทำซ้ำ 2 ครั้ง เพื่อแยกตะกอนเหล็ก จากนั้นนำไปวัดด้วยเครื่อง High-Performance Liquid Chromatography (HPLC) นำค่าที่ได้มาสร้างกราฟเพื่อหาความเข้มข้นที่เหลืออยู่ และคำนวณหาค่าคงที่ของการบำบัด (destruction rate constant, k_{obs}) ไซโตรไนท์

9.4.2 ผลของสภาวะไร์ออกซิเจน

การทดลองนี้ทำภายในตู้ปราศจากก๊าซออกซิเจน โดยเตรียมไชโกรไนท์ปริมาตร 100 ml ความเข้มข้นเริ่มต้น 20 mg/L และใช้ NZVI ปริมาณ 0.05, 0.1 และ 0.25% (w/v) ทำการทดลองในตู้ปราศจากก๊าซออกซิเจน โดยทำการทดลองภายนอกตู้ปราศจากออกซิเจน (anaerobic chamber) จากนั้นนำออกมาวัดด้วยเครื่อง High-Performance Liquid Chromatography (HPLC) คำนวณหาค่าคงที่ของการนำบัด (destruction rate constant, k_{obs}) ไชโกรไนท์

10. การนำบัดสารมลพิษอินทรีย์โดยใช้ NZVI ที่นำกลับมาใช้ใหม่

10.1 การนำบัดสารมลพิษอินทรีย์โดยใช้ RNZVI

10.1.1 การนำบัดเมโทลาคลอร์โดยใช้ RNZVI

การนำบัดเมโทลาคลอร์ปริมาตร 100 ml ความเข้มข้นเริ่มต้น 100 mg/L เดิม RNZVI ที่เตรียมจากข้อ 7.1 ปริมาณ 1% (w/v) ทำการทดลองในตู้ปราศจากก๊าซออกซิเจน โดยทำการทดลองภายนอกตู้ปราศจากก๊าซออกซิเจน คำนวณหาค่าคงที่ของการนำบัด (destruction rate constant, k_{obs}) เมโทลาคลอร์

10.1.2 การนำบัดไชโกรไนท์โดยใช้ RNZVI

ทำการทดลองนำบัดไชโกรไนท์ปริมาตร 20 ml ความเข้มข้นเริ่มต้น 20 mg/เดิม RNZVI ที่เตรียมจากข้อ 7.1 ปริมาณ 0.25% (w/v) ทำการทดลองในตู้ปราศจากก๊าซออกซิเจน โดยทำการทดลองภายนอกตู้ปราศจากก๊าซออกซิเจน คำนวณหาค่าคงที่ของการนำบัด (destruction rate constant, k_{obs}) ไชโกรไนท์

ด้วยเครื่อง High-Performance Liquid Chromatography (HPLC) ยี่ห้อ Shimadzu นำค่าที่ได้มาสร้างกราฟเพื่อหาความเข้มข้นที่เหลืออยู่ และคำนวณหาค่าคงที่ของการนำบัด (destruction rate constant, k_{obs}) ใช้โครไนท์

10.2 การนำบัดสารมลพิยอินทรีโดยใช้ ANZVI

10.2.1 การนำบัดเมโทลาคลอร์โดยใช้ ANZVI

ทำการทดลองนำบัดเมโทลาคลอร์ปริมาตร 100 ml ความเข้มข้นเริ่มต้น 100 mg/L เติม ANZVI ที่เตรียมจากข้อ 7.2 ปริมาณ 1% (w/v) ทำซ้ำจำนวน 3 ชุด เบย่าสารละลายด้วยเครื่องเบย่า เก็บตัวอย่างที่เวลา 0 20 40 60 80 และ 120 นาที ตามลำดับ นำตัวอย่างที่ได้ไปเทวีงที่ความเร็ว 14,000 รอบต่อนาทีเป็นเวลา 5 นาที ทำซ้ำ 2 ครั้ง เพื่อแยกตะกอนเหล็ก จากนั้นนำไปวัดด้วยเครื่อง High-Performance Liquid Chromatography (HPLC) ยี่ห้อ Shimadzu นำค่าที่ได้มาสร้างกราฟเพื่อหาความเข้มข้นที่เหลืออยู่ และคำนวณหาค่าคงที่ของการนำบัด (destruction rate constant, k_{obs}) เมโทลาคลอร์

10.2.2 การนำบัดไซโตรไนท์โดยใช้ ANZVI

ทำการทดลองนำบัดไซโตรไนท์ปริมาตร 20 ml ความเข้มข้นเริ่มต้น 20 mg/L เติม ANZVI ที่เตรียมจากข้อ 7.2 ปริมาณ 0.25% (w/v) ปริมาณ 0.25% (w/v) ทำซ้ำจำนวน 3 ชุด เบย่าสารละลายด้วยเครื่องเบย่า เก็บตัวอย่างที่เวลา 0 20 40 60 80 และ 120 นาที ตามลำดับ นำตัวอย่างที่ได้ไปเทวีงที่ความเร็ว 14,000 รอบต่อนาทีเป็นเวลา 5 นาที ทำซ้ำ 2 ครั้งเพื่อแยกตะกอนเหล็ก จากนั้นนำไปวัดด้วยเครื่อง High-Performance Liquid Chromatography (HPLC) นำค่าที่ได้มาสร้างกราฟเพื่อหาความเข้มข้นที่เหลืออยู่ และคำนวณหาค่าคงที่ของการนำบัด (destruction rate constant, k_{obs}) ไซโตรไนท์

11. สถานที่ทำการทดลอง

ห้องปฏิบัติการชั้น 8 อาคารทวีภูณสุคนธ์ คณะวิทยาศาสตร์ มหาวิทยาลัยเกษตรศาสตร์
บางเขน

Dr. Steve Comfort's laboratory The School of Natural Resource, Institute of Agriculture
and Resource, University of Nebraska Lincoln, USA

12. ระยะเวลาที่ทำการวิจัย

เดือนเมษายน พ.ศ. 2552 ถึง เดือนกุมภาพันธ์ พ.ศ. 2553

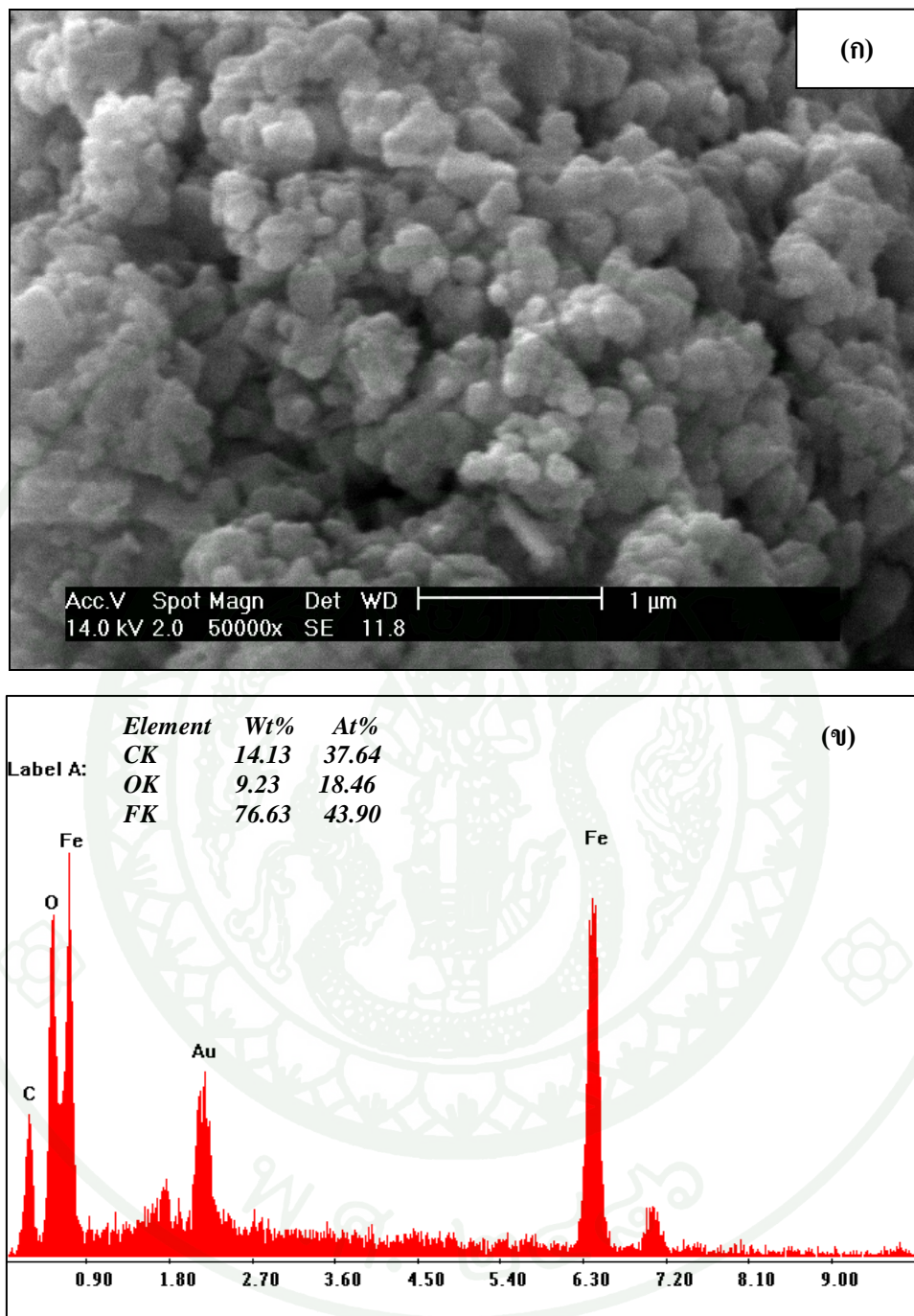
ผลและวิจารณ์

1. ลักษณะทางสัณฐานวิทยา (morphology) ของ NZVI

อนุภาคเหล็กขนาดนาโนเมตร (NANOFE 25S) ที่ได้จากบริษัท Nanoiron, S.R.O. (Czech Republic) มีลักษณะเป็นของแข็งสีดำขนาดเล็กกระจายตัวอยู่ในสารอินทรีย์เพื่อรักษาสภาพและป้องกันการออกซิไดซ์ของ NZVI ก่อนใช้งาน (ภาพที่ 11) เมื่อนำ NZVI ไปวิเคราะห์ด้วยกล้องจุลทรรศน์อิเล็กตรอนแบบส่องร้าด (Scanning Electron Microscope, SEM) (ภาพที่ 12(ก)) พบว่ามีลักษณะเป็นก้อนกลมจับตัวกันเป็นกลุ่มอันเนื่องมาจากคุณสมบัติทางแม่เหล็ก (magnetic property) สอดคล้องกับงานวิจัยของ Sun *et al.* (2006) ศึกษาลักษณะทางสัณฐานวิทยาของ NZVI ที่ไดจากการสังเคราะห์โดยใช้สารละลายเฟอร์ริกคลอไรด์และไซเดียมโนบิโรไฮไดรต์ พบร่วมกับ 90 เปลอร์เซ็นต์ของ NZVI มีขนาดเส้นผ่านศูนย์กลางน้อยกว่า 100 นาโนเมตร และจับตัวกันเป็นกลุ่มคล้ายสายโซ่ต่อกัน และเมื่อทำการวิเคราะห์ชาตุโดยเครื่อง Energy Dispersive X-ray Analyzer (EDX) พบร่วมคู่ประกอบโดยส่วนมากของ NZVI ประกอบด้วยเหล็กปริมาณ 76.63% (w/v) (ภาพที่ 12(ข)) และจาก technical data sheet ของ NANOFE 25S (ภาคผนวก ก) พบร่วมกับ 50 เปลอร์เซ็นต์ของ NZVI มีขนาดเส้นผ่านศูนย์กลางน้อยกว่า 50 นาโนเมตร มีพื้นที่ผิวจำเพาะ (specific surface area) ประมาณ $25 \text{ m}^2/\text{g}$ และมีองค์ประกอบหลักเป็นเหล็กแอลเอนเซฟูนิย์ (Fe^0)



ภาพที่ 11 อนุภาคเหล็กขนาดนาโนเมตร (NANOFE 25S) ที่ได้จากบริษัท Nanoiron, S.R.O.

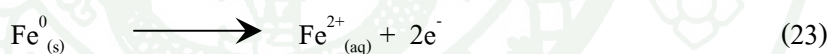


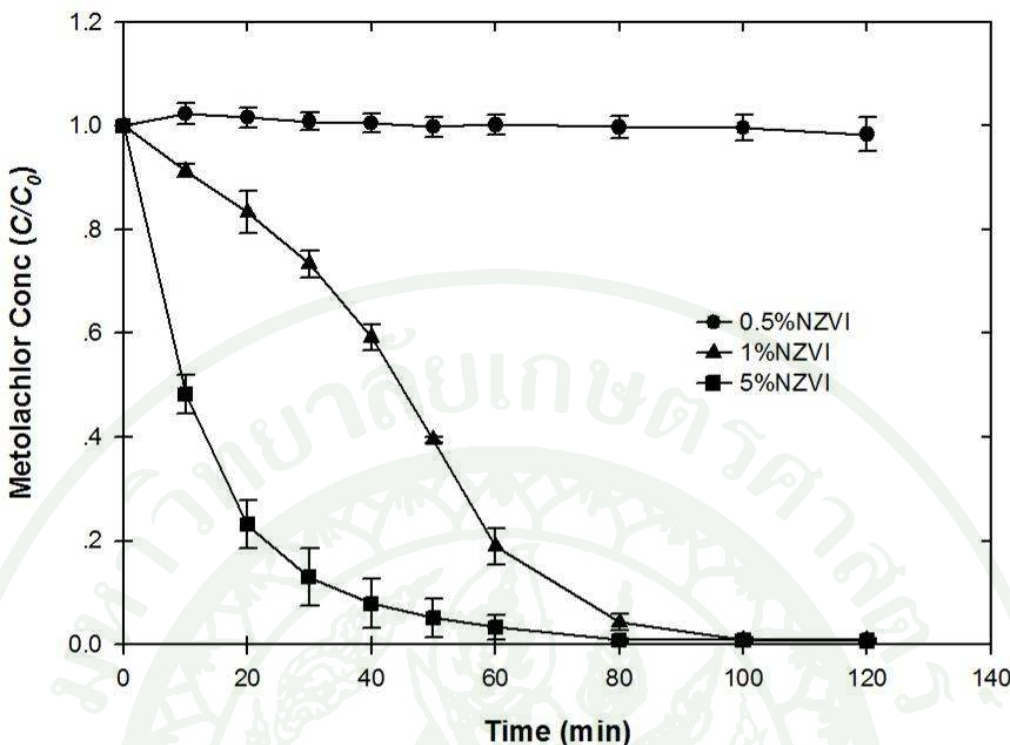
ภาพที่ 12 (ก) ลักษณะของอนุภาคเหล็กขนาดนาโนเมตร (NANOFER 25S) โดยกล้องจุลทรรศน์ อิเล็กตรอนแบบส่องกราด (Scanning Electron Microscope, SEM) และ (ข) องค์ประกอบของอนุภาคเหล็กขนาดนาโนเมตร(Nanofer 25s)โดย Energy-dispersive X-ray spectroscopy (EDX)

2. การบำบัดเมโทลากลอร์โดย NZVI

2.1 ผลของปริมาณ NZVI ต่อการบำบัดเมโทลากลอร์

การบำบัดเมโทลากลอร์ที่ความเข้มข้นเริ่มต้น 100 mg/L โดยใช้ NZVI ปริมาณ 0.5% (w/v) 1% (w/v) และ 5% (w/v) พบว่าเมื่อเพิ่มปริมาณ NZVI ทำให้มีประสิทธิภาพในการบำบัดเพิ่มขึ้น โดยประสิทธิภาพในการบำบัดเมโทลากลอร์เป็น 100 เปอร์เซ็นต์ เมื่อใช้ NZVI ปริมาณ 1% (w/v) และ 5% (w/v) โดยใช้ระยะเวลาสัมผัส 120 นาที ดังแสดงในภาพที่ 13 เนื่องจาก NZVI มีขนาดเล็ก พื้นที่ผิวสัมผัสระหว่าง NZVI กับสารมลพิษมีมาก จึงทำให้เกิดปฏิกิริยาเร็วและกับมลสารอินทรีย์ (Li *et al.*, 2006) โดยสารกลุ่มคลอโรอะเซทานิมายด์ เช่น เมโทลากลอร์ไดรับอิเล็กตรอน (e⁻) จากปฏิกิริยาออกไซเดชัน (oxidation) ของเหล็กวาเลนซ์สูง ดังสมการที่ 23 และคลอโรดีออกซอน (Cl⁻) ดังสมการที่ 24 ผลิตภัณฑ์ที่ได้จากปฏิกิริยาดักชันของเมโทลากลอร์โดยเหล็กวาเลนซ์สูงคือ 2-ethyl,6—methyl-N-(methoxyprop-2-yl) acetilide (Chester *et al.*, 1989) โดยอัตราการเกิดปฏิกิริยา dechlorination ของ NZVI จะเป็นสัดส่วนที่เข้มกับปริมาณ และพื้นผิวของเหล็ก ซึ่งปฏิกิริยาดักชันที่เกิดขึ้นมักเป็นการถ่ายทอดอิเล็กตรอนที่ผิวน้ำของเหล็ก (Sayles *et al.*, 1997)





ภาพที่ 13 การนำบัดเม โගลากลอร์ความเข้มข้นเริ่มต้น 100 mg/L โดยใช้ NZVI ปริมาณ 0.5 % (w/v) 1% (w/v) และ 5% (w/v)

ผลศาสตร์ของการนำบัดเม โගลากลอร์สอดคล้องกับสมการ pseudo-first-order (สมการที่ 25) โดยค่าคงที่ของการนำบัด (destruction rate constant, k_{obs}) เมื่อใช้ NZVI ปริมาณ 0.5 % (w/v) 1% (w/v) และ 5% (w/v) เป็น 0.002×10^{-3} , 0.218×10^{-3} และ $0.699 \times 10^{-3} \text{ min}^{-1}$ ตามลำดับ (ตารางที่ 20) เมื่อทำการเปรียบเทียบประสิทธิภาพในการนำบัดซึ่งมีปริมาณของ NZVI แตกต่างกัน สามารถทำได้โดยการปรับค่า (normalization) ให้อยู่ในรูปที่เปรียบเทียบกันได้ โดยใช้สมการการหาค่าคงที่จำเพาะการเกิดปฏิกิริยา (specific reaction rate, k_{SA}) (สมการที่ 26 และ 27) (Johnson *et al.*, 1996)

$$-\frac{d[\text{Metolachlor}]}{dt} = k_{\text{obs}} [\text{Metolachlor}] \quad (25)$$

$$-\frac{d[\text{Metolachlor}]}{dt} = k_{\text{SA}} \rho_a [\text{Metolachlor}] \quad (26)$$

หรือ

$$(k_{\text{SA}}) = (k_{\text{obs}})/\rho_a \quad (27)$$

โดยที่	k_{SA}	คือ	ค่าคงที่จำเพาะของการนำบัด (specific reaction rate)
	k_{obs}	คือ	ค่าคงที่การนำบัด (removal kinetic removal) (min^{-1})
	ρ_a	คือ	พื้นที่ผิวจำเพาะของ NZVI ในสารละลายน้ำ (specific surface area (m^2/L))

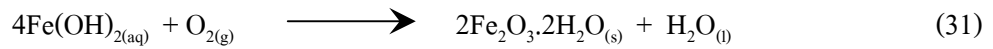
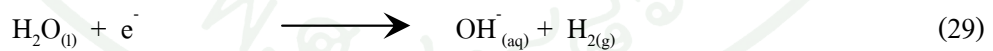
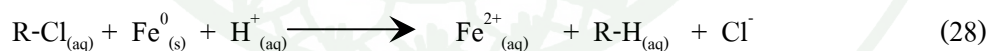
ตารางที่ 20 ค่าคงที่การนำบัด (destruction rate constant, k_{obs}) และค่าคงที่จำเพาะการเกิดปฏิกิริยา (specific reaction rate constant, k_{SA}) ของเมโทลาคลอร์โดยใช้ NZVI

ปริมาณ NZVI	ค่าคงที่การนำบัด (destruction rate constant, k_{obs}) ($\times 10^{-3} \text{ min}^{-1}$)	ค่าคงที่จำเพาะการ เกิดปฏิกิริยา (specific reaction rate constant, k_{SA}) ($\times 10^{-5} \text{ L}/\text{min} \cdot \text{m}^2$)
0.5% (w/v)	0.002	0.16
1% (w/v)	0.218	8.72
5% (w/v)	0.699	5.59

จากตารางที่ 20 พบว่าค่าคงที่จำเพาะการเกิดปฏิกิริยา (specific reaction rate, k_{SA}) โดย NZVI ปริมาณ 1% (w/v) เป็น $8.72 \times 10^{-5} \text{ L}/\text{min} \cdot \text{m}^2$ ขณะที่ค่าคงที่จำเพาะการเกิดปฏิกิริยาโดย NZVI ปริมาณ 0.5% (w/v) และ 5% (w/v) เป็น 0.16×10^{-5} และ $5.59 \times 10^{-5} \text{ L}/\text{min} \cdot \text{m}^2$ ซึ่งการใช้ NZVI ปริมาณ 1% (w/v) ให้ประสิทธิภาพในการนำบัดสูงสุด เนื่องจากการเพิ่มปริมาณ NZVI ที่มากขึ้นเป็นการเพิ่มความหนาแน่นของ NZVI ในสารละลายน้ำและเกิดการเกาะกลุ่ม (agglomeration) ซึ่งมีผลต่อการลดลงของพื้นที่ผิวปฏิกิริยาของ NZVI (Deng et al., 2000) สอดคล้องกับงานวิจัย Wang and Zhang (1997) รายงานค่าคงที่จำเพาะการเกิดปฏิกิริยาโดย NZVI เป็น $3.0 \times 10^{-3} \text{ L}/\text{m}^2 \cdot \text{h}$ ขณะที่ค่าคงที่จำเพาะการเกิดปฏิกิริยาโดยเหล็กขนาดไมโครสเกลเป็น $1.0 \times 10^{-3} \text{ L}/\text{m}^2 \cdot \text{h}$ ซึ่งการใช้ NZVI ให้ประสิทธิภาพสูงกว่าการนำบัดด้วยเหล็กขนาดไมโครสเกล เนื่องจาก NZVI มีพื้นที่ผิวจำเพาะ (specific surface area) และพื้นที่ในการเกิดปฏิกิริยา (surface reactivity) สูงกว่าเหล็กขนาดไมโครสเกล

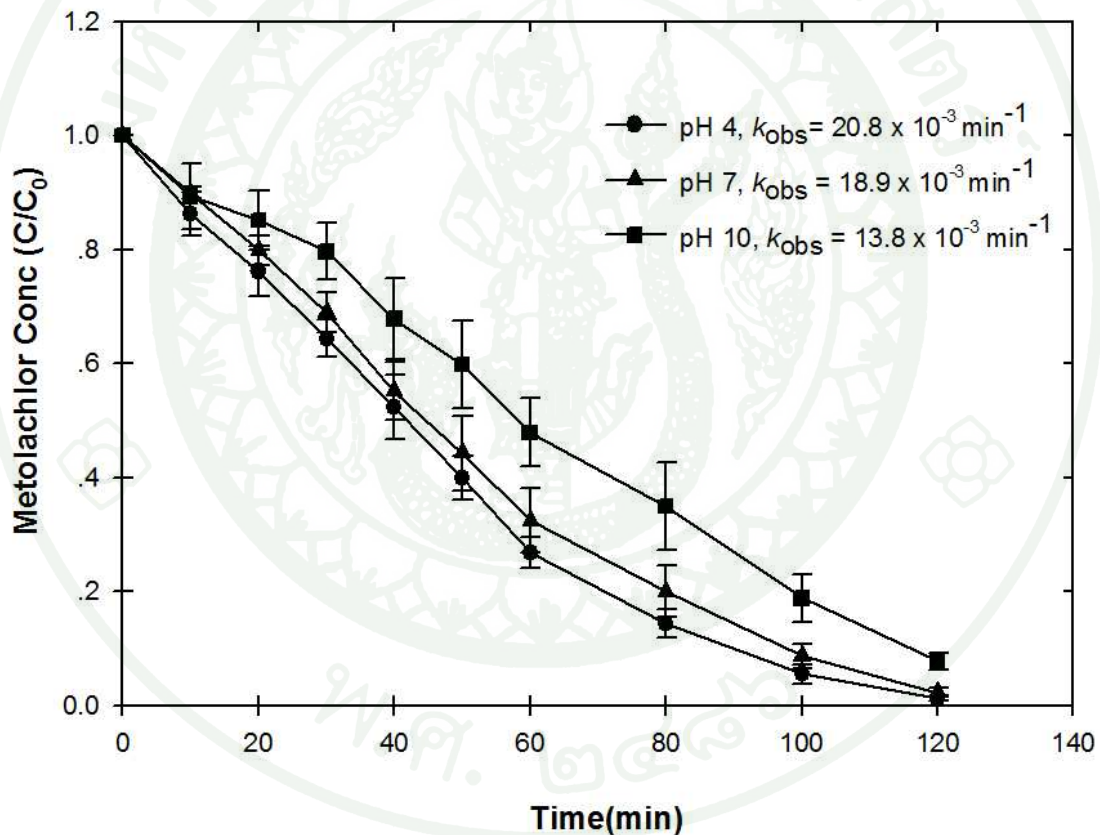
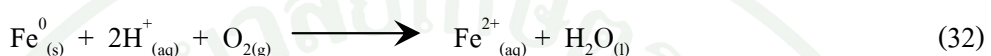
2.2 ผลของค่าความเป็นกรด-ด่าง (pH) ต่อการบำบัดเมทโอลคลอร์

การบำบัดเมทโอลคลอร์ที่ความเข้มข้นเริ่มต้น 100 mg/L ที่มีค่าความเป็นกรด-ด่าง 4.7 และ 10 โดยใช้ NZVI ปริมาณ 1% (w/v) พบรากค่าคงที่ของการบำบัด (destruction rate constant, k_{obs}) เป็น 20.8×10^{-3} 18.9×10^{-3} และ $13.8 \times 10^{-3} \text{ min}^{-1}$ ตามลำดับ ดังภาพแสดงในภาพที่ 14 箕裘ศาสตร์ของ การบำบัดเมทโอลคลอร์สอดคล้องกับสมการ pseudo-first-order โดยประสิทธิภาพในการบำบัดลดลงเมื่อค่าความเป็นกรด-ด่างเพิ่มขึ้น เนื่องจากอิเล็กตรอนเคลื่อนที่จากผิวของ NZVI และเกิดปฏิกิริยา dechlorination กับเมทโอลคลอร์ได้ผลตัวน้ำที่เป็นเฟอร์สีไอออน (Fe^{2+}) คลอไรด์ไอออน (Cl^-) และหมู่อัลกิล (R-H) (สมการที่ 28) นอกจากนี้ยังเกิดอิเล็กตรอน (e^-) จากอนุภาคเหล็กวาเลนซ์ศูนย์ชั่งสามารถไปออกซิไดซ์โนโลเกตูลของน้ำดังสมการที่ 29 ชี้่งไฮดรอกไซด์ไอออน (OH^-) ที่เกิดขึ้นจะทำให้ค่าความเป็นกรด-ด่างในระบบสูงขึ้น และเมื่อในสารละลายนี้ค่าความเป็นกรด-ด่างที่สูงส่งผลให้ไฮดรอกไซด์ไอออนทำปฏิกิริยากับเฟอร์สีไอออนได้เหล็กไฮดรอกไซด์ (iron hydroxide) ดังสมการที่ 30 จากนั้นเหล็กไฮดรอกไซด์จะทำปฏิกิริยากับออกซิเจนที่ละลายน้ำ เกิดตะกอนของเหล็กออกไซด์ (iron oxide) หรือสนิม (rust) ของเหล็กดังสมการที่ 31 (Wang, 1994) ตะกอนเหล็กออกไซด์ที่เกิดขึ้นบริเวณผิวน้ำจะขัดขวางการทำปฏิกิริยา dechlorination ที่ผิวน้ำของ NZVI (Matheson and Tratnyek, 1994) การทดลองของ Satapanajaru *et al.* (2003a,b) รายงานว่าเมื่อค่าความเป็นกรด-เบสเพิ่มสูง พบนเหล็กไฮดรอกไซด์หรือเหล็กออกไซด์ เช่น goethite (FeO(OH)) อยู่ที่ผิวน้ำเหล็กทำให้เกิดการขวางกั้นการทำปฏิกิริยาระหว่างเมทโอลคลอร์กับเหล็ก วาเลนซ์ศูนย์ส่งผลให้ประสิทธิภาพในการบำบัดลดลง



ขณะที่การลดลงของค่าความเป็นกรด-ด่างส่งผลให้ประสิทธิภาพในการบำบัดเพิ่มสูงขึ้นเนื่องจากการลดค่าความเป็นกรด-ด่างจะทำให้มีปริมาณโปรตอน (H^+) ที่มากขึ้น ชี้่งโปรดอนจะทำปฏิกิริยากับอนุภาคเหล็กและออกซิเจนที่ละลายน้ำ (dissolved oxygen)

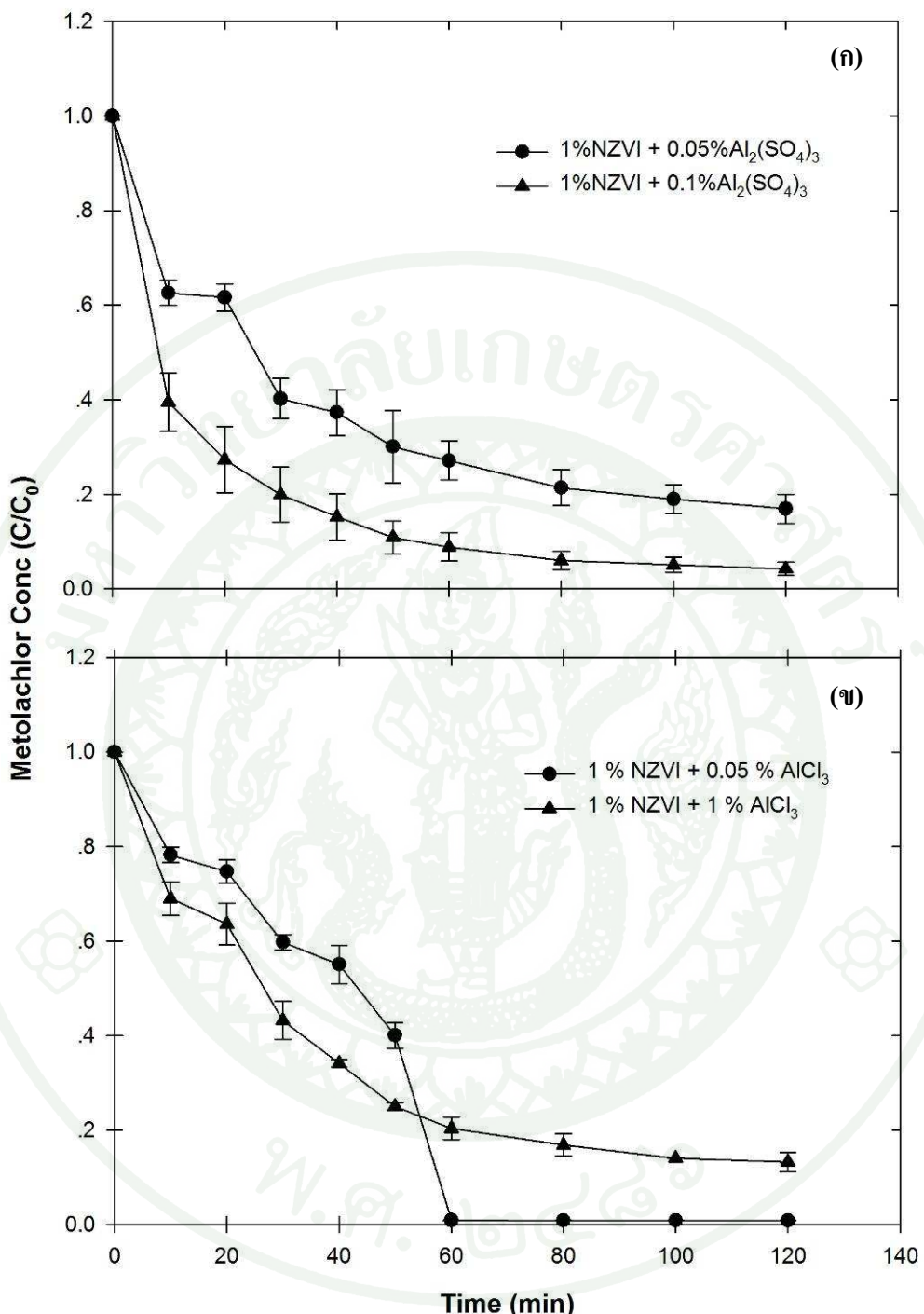
อย่างรวดเร็วดังสมการที่ 32 ในสภาวะที่สารละลายนมีความเป็นกรดมาก ความเป็นกรดของสารละลายจะช่วยถ่ายสิ่งปฏิกูลหรือสิ่งสกปรกที่อยู่ที่ผิวของเหล็กให้หลุดออก (acid washing) (Yang and Lee, 2005) จึงทำให้ NZVI สัมผัสกับเมโทลาคลอร์ได้อย่างทั่วถึง นอกจากนี้ยังลดการเกิดเหล็กออกไซด์ หรือเหล็กไออกไซด์ที่เคลือบอยู่บนผิวน้ำของเหล็ก (Dombek *et al*, 1999) ดังนั้นจึงเป็นการเพิ่มพื้นที่ปฏิกิริยา (surface reactivity) ในการทำปฏิกิริยาระหว่างเมโทลาคลอร์กับ NZVI ทำให้มีประสิทธิภาพสูงขึ้น



ภาพที่ 14 การนำบัดเมโทลาคลอร์ที่ความเข้มข้นเริ่มต้น 100 mg/L ที่มีค่าความเป็นกรด-ค่า 4.7 และ 10 โดยใช้ NZVI ปริมาณ 1% (w/v)

2.3 ผลของเกลือของอะลูมิเนียม (Al-Salt) ต่อการบำบัดเมทโอลากลอร์

การบำบัดเมทโอลากลอร์ที่ความเข้มข้นเริ่มต้น 100 mg/L โดยใช้ NZVI 1% (w/v) อะลูมิเนียมชัลเฟต ($\text{Al}_2(\text{SO}_4)_3$) และอะลูมิเนียมคลอไรด์ (AlCl_3) ปริมาณ 0.05% (w/v) และ 0.1% (w/v) พบว่าการบำบัดโดยใช้เกลือของอะลูมิเนียมทั้งสองชนิดมีลักษณะเป็นไปในแนวทางเดียวกัน โดยเมื่อเพิ่มปริมาณเกลือจะส่งผลให้ประสิทธิภาพในการบำบัดเพิ่มสูงขึ้น ดังแสดงในภาพที่ 15 โดยการใช้อะลูมิเนียมชัลเฟต หรืออะลูมิเนียมคลอไรด์ร่วมกับ NZVI ยังส่งผลให้ประสิทธิภาพในการบำบัดสูงมากกว่าการใช้ NZVI เพียงอย่างเดียว จลดาสตร์ของการบำบัดเมทโอลากลอร์โดยการใช้ออนุภาคเหล็กร่วมกับเกลืออะลูมิเนียมทั้งสองชนิดสอดคล้องกับสมการ pseudo-first-order โดยค่าคงที่ของการบำบัด (destruction rate constant, k_{obs}) เป็น 20.4×10^{-3} และ $60.0 \times 10^{-3} \text{ min}^{-1}$ เมื่อใช้อะลูมิเนียมชัลเฟต 0.05% (w/v) และ 0.1% (w/v) ตามลำดับ และค่าคงที่ของการบำบัดเป็น 20.72×10^{-3} และ $24.38 \times 10^{-3} \text{ min}^{-1}$ เมื่อใช้อะลูมิเนียมคลอไรด์ 0.05% (w/v) และ 0.1% (w/v) ตามลำดับ ค่าคงที่ของการบำบัดสูงขึ้นเมื่อมีการเพิ่มปริมาณเกลือของอะลูมิเนียม ดังแสดงในตารางที่ 21 โดยเกลือของอะลูมิเนียมจะช่วยลดการเกิดฟิล์มของเหล็กออกไซด์บนผิวของโลหะ (iron passivation) (Farrell *et al.*, 1999) Satapanajaru *et al.* (2003b) ได้ทำการศึกษาการเพิ่มอัตราการทำลายเมทโอลากลอร์โดยใช้เกลือของอะลูมิเนียมและไออกอนระหว่างการบำบัดด้วยเหล็กแอลนช์ชูนย์ และวัดปริมาณความเข้มข้นระหว่างอะลูมิเนียมไออกอนกับเฟอรัสไออกอนพบร่วมกับปริมาณความเข้มข้นของอะลูมิเนียมไออกอน (Al^{3+}) ลดลง ขณะที่ปริมาณความเข้มข้นของเฟอรัสไออกอน (Fe^{2+}) สูงขึ้นอย่างรวดเร็ว อะลูมิเนียมไออกอนเป็นตัว induce ให้เกิดเฟอรัสไออกอนซึ่งเฟอรัสไออกอนเป็นสาร reductant ที่สำคัญของการเกิดปฏิกิริยาการเปลี่ยนรูปสารมลพิษประเภท chlorinated (Amonette *et al.*, 2000) เมื่อทำการเปรียบเทียบผลของอะลูมิเนียมชัลเฟต กับอะลูมิเนียมคลอไรด์ในปริมาณ 0.05% (w/v) พบว่าในสภาวะที่มีการเติมอะลูมิเนียมชัลเฟต ให้ค่าคงที่ของการบำบัดที่มากกว่าสภาวะที่มีการเติมอะลูมิเนียมคลอไรด์ เนื่องจากชัลเฟตไออกอน (SO_4^{2-}) ช่วยลดการเกิด passivation และช่วยเพิ่มการกัดกร่อนของอนุภาคเหล็กบริเวณออกไซด์ที่อยู่ที่ผิว (Reardon, 1995) สอดคล้องกับงานวิจัยของ Satapanajaru (2002) ศึกษาการบำบัดเมทโอลากลอร์ที่ปั่นปือนในน้ำโดยเหล็กแอลนช์ชูนย์ขนาดไมโครสเกล พบค่าคงที่ของการบำบัดเป็น 0.431 และ 0.360 h^{-1} เมื่อใช้อะลูมิเนียมชัลเฟต 0.5% (w/v) และอะลูมิเนียมคลอไรด์ 0.5% (w/v) ตามลำดับ ดังนั้นการเพิ่มเกลือของอะลูมิเนียมจึงมีผลต่อการเพิ่มประสิทธิภาพในการบำบัดเมทโอลากลอร์



ภาพที่ 15 การนำบัดเมโลทาคลอโรที่ความเข้มข้นเริ่มต้น 100 mg/L โดยใช้ NZVI ปริมาณ 1% (w/v)
 (η) อะลูมิเนียมซัลเฟต ($\text{Al}_2(\text{SO}_4)_3$) และ (υ) อะลูมิเนียมคลอไรด์ (AlCl_3) ปริมาณ 0.05%
 (w/v) และ 0.1% (w/v)

ตารางที่ 21 ค่าคงที่การบำบัด (destruction rate constant, k_{obs}) เมื่อ陶拉คลอร์โดยใช้ NZVI ปริมาณ 1% (w/v) อะลูมิเนียมชัลเฟต ($\text{Al}_2(\text{SO}_4)_3$) และอะลูมิเนียมคลอไรด์ (AlCl_3) ปริมาณ 0.05% (w/v) และ 0.1% (w/v)

ค่าคงที่การบำบัด		
ปริมาณเกลืออะลูมิเนียม	(destruction rate constant, k_{obs})	
	($\times 10^{-3} \text{ min}^{-1}$)	
อะลูมิเนียมชัลเฟต ($\text{Al}_2(\text{SO}_4)_3$)	0.05% (w/v)	20.40
	0.1% (w/v)	60.00
อะลูมิเนียมคลอไรด์ (AlCl_3)	0.05% (w/v)	20.72
	0.1% (w/v)	24.38

2.4 ผลของสภาวะออกซิเจน (aerobic condition) และสภาวะไร้ออกซิเจน (anaerobic condition) ต่อการบำบัดเมื่อ陶拉คลอร์

การบำบัดเมื่อ陶拉คลอร์ที่ความเข้มข้นเริ่มต้น 100 mg/L โดยใช้ NZVI ปริมาณ 0.5% (w/v) 1% (w/v) และ 5% (w/v) ภายใต้สภาวะออกซิเจน พบว่าค่าคงที่จำเพาะการเกิดปฏิกิริยา (specific reaction rate constant, k_{SA}) เป็น 0.17×10^{-5} 8.72×10^{-5} และ 5.59×10^{-5} L/min.m² โดยใช้อนุภาคเหล็กขนาดนาโนเมตร 0.5% (w/v) 1% (w/v) และ 5% (w/v) ตามลำดับ ดังแสดงในตารางที่ 22 ประสิทธิภาพการบำบัดลดลงเมื่อเพิ่มปริมาณ NZVI มากกว่า 1% (w/v) เนื่องจากในสภาวะออกซิเจน NZVI เกิดปฏิกิริยาออกซิเดชันกับออกซิเจนและน้ำได้เป็นเฟอรัสไอออน (Fe^{2+}) และไฮดรอกไซด์ไอออน (OH^-) (สมการที่ 33) ไฮดรอกไซด์ไอออนทำให้ค่าความเป็นกรด-ด่างของสารละลายเพิ่มขึ้น และทำให้เกิดการแตกตะกอนของเหล็กไฮดรอกไซด์อยู่ที่ผิวโลหะยับบี้การเกิดปฏิกิริยาระหว่าง NZVI กับเมื่อ陶拉คลอร์ ดังนั้นเมื่อเพิ่มปริมาณของ NZVI จึงมีผลทำให้เกิดเหล็กไฮดรอกไซด์เพิ่มมากขึ้นในการบำบัดเมื่อ陶拉คลอร์

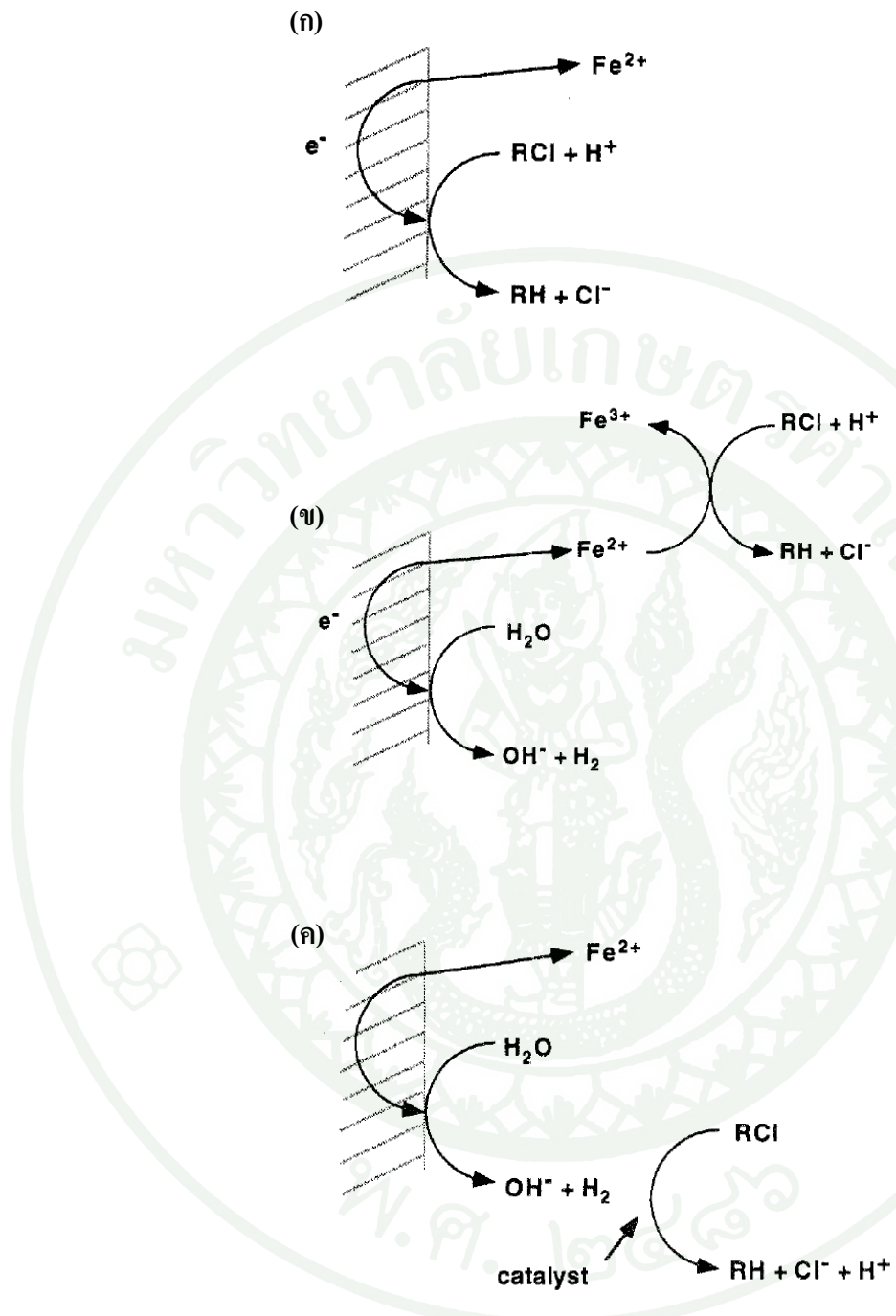


การบำบัดเมื่อ陶拉คลอร์ที่ความเข้มข้นเริ่มต้น 100 mg/L โดยใช้ NZVI ปริมาณ 0.5% (w/v) 1% (w/v) และ 5% (w/v) ภายใต้สภาวะไร้ออกซิเจน พบว่าค่าคงที่จำเพาะการเกิดปฏิกิริยา (specific reaction rate constant, k_{SA}) เป็น 4.46×10^{-5} 5.28×10^{-5} และ 9.19×10^{-5} L/min.m²

ในการบำบัดเมทโอลคลอร์โดยใช้ NZVI ปริมาณ 0.5% (w/v) 1% (w/v) และ 5% (w/v) ตามลำดับ ดังแสดงในตารางที่ 22 ประสิทธิภาพการบำบัดเพิ่มขึ้นเมื่อปริมาณ NZVI เพิ่มมากขึ้น ในสภาวะไร้อกซิเจนเมทโอลคลอร์จะทำหน้าที่เป็นตัวรับอิเล็กตรอนแทนออกซิเจน และเกิดการ dechlorination ได้เป็นเฟอรัสไอออน (Fe^{2+}) หมู่อัลกิล (R-H) และคลอไรด์ไอออน (Cl⁻) โดยการเกิดปฏิกิริยา dechlorination ภายใต้สภาวะไร้อกซิเจนสามารถเกิดปฏิกิริยาโดยตรงกับโลหะเหล็ก ซึ่งเกิดการถ่ายเทอิเล็กตรอนที่ผ่านโลหะชูตง หรือเกิดปฏิกิริยาโดยผ่านตัวกลาง ได้แก่ เฟอรัสโดยเฟอรัสทำหน้าที่เป็นตัวเร่ง催化สามารถทำปฏิกิริยา dehalogenation ซึ่งปฏิกิริยาจะดำเนินไปอย่างช้าๆ หรือเกิดปฏิกิริยากับไฮโคลเจนที่ได้จากการทำปฏิกิริยาของโลหะเหล็กกับน้ำ (Matheson and Trantnyek, 1994) (ภาพที่ 16) ดังนั้นปริมาณออกซิเจนที่ละลายในสารละลายนิ่มผลต่อการเพิ่มขึ้นประสิทธิภาพของการบำบัดเมทโอลคลอร์

ตารางที่ 22 ค่าคงที่การบำบัด (destruction rate constant, k_{obs}) และค่าคงที่จำเพาะการเกิดปฏิกิริยา (specific reaction rate constant, k_{SA}) เมทโอลคลอร์ โดยใช้ NZVI ภายใต้สภาวะออกซิเจน (aerobic condition) และสภาวะไร้อกซิเจน (anaerobic condition)

สภาวะ	ปริมาณ NZVI	ค่าคงที่การบำบัด (destruction rate constant, k_{obs}) ($\times 10^{-2} \text{ min}^{-1}$)	ค่าคงที่จำเพาะการเกิดปฏิกิริยา (specific reaction rate constant, k_{SA}) ($\times 10^{-5} \text{ L} \cdot \text{min}^{-1} \text{ m}^{-2}$)
ออกซิเจน (aerobic condition)	0.5% (w/v)	0.02	0.17
	1% (w/v)	2.18	8.72
	5% (w/v)	6.99	5.59
ไร้อกซิเจน (anaerobic condition)	0.5% (w/v)	0.56	4.46
	1% (w/v)	1.32	5.28
	5% (w/v)	11.49	9.19



ภาพที่ 16 (ก) การเกิดปฏิกิริยา dehalogenation ที่ผิวของเหล็ก

(ข) การเกิดปฏิกิริยา dehalogenation โดยผ่านตัวกลาง

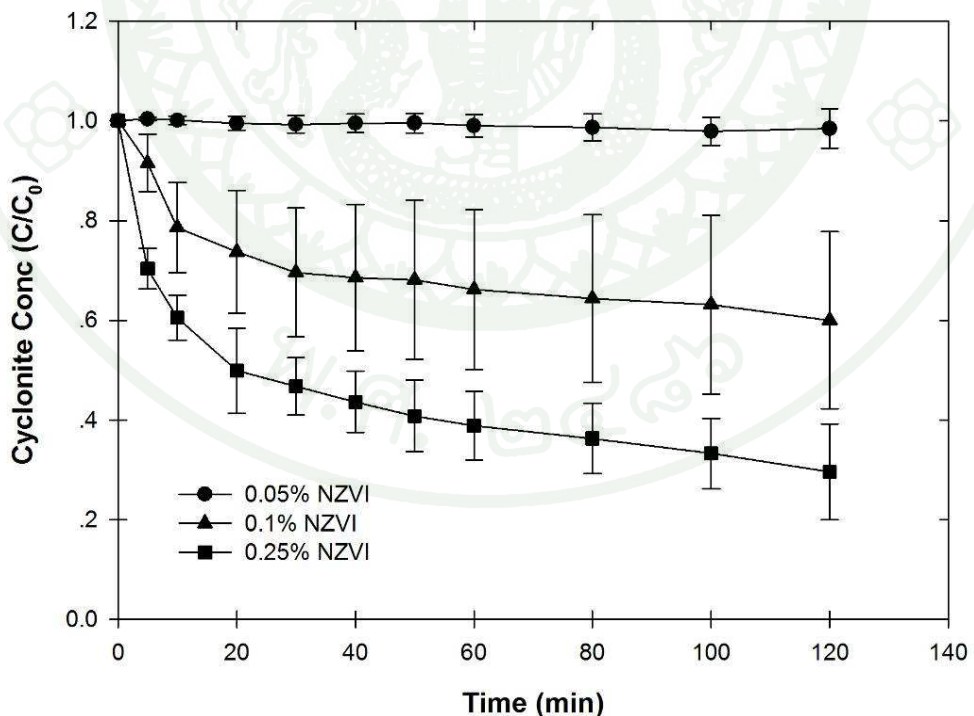
(ค) การเกิดปฏิกิริยา dehalogenation ที่เกี่ยวข้องกับไฮโดรเจน

ที่มา: Matheson and Trantnyek (1994)

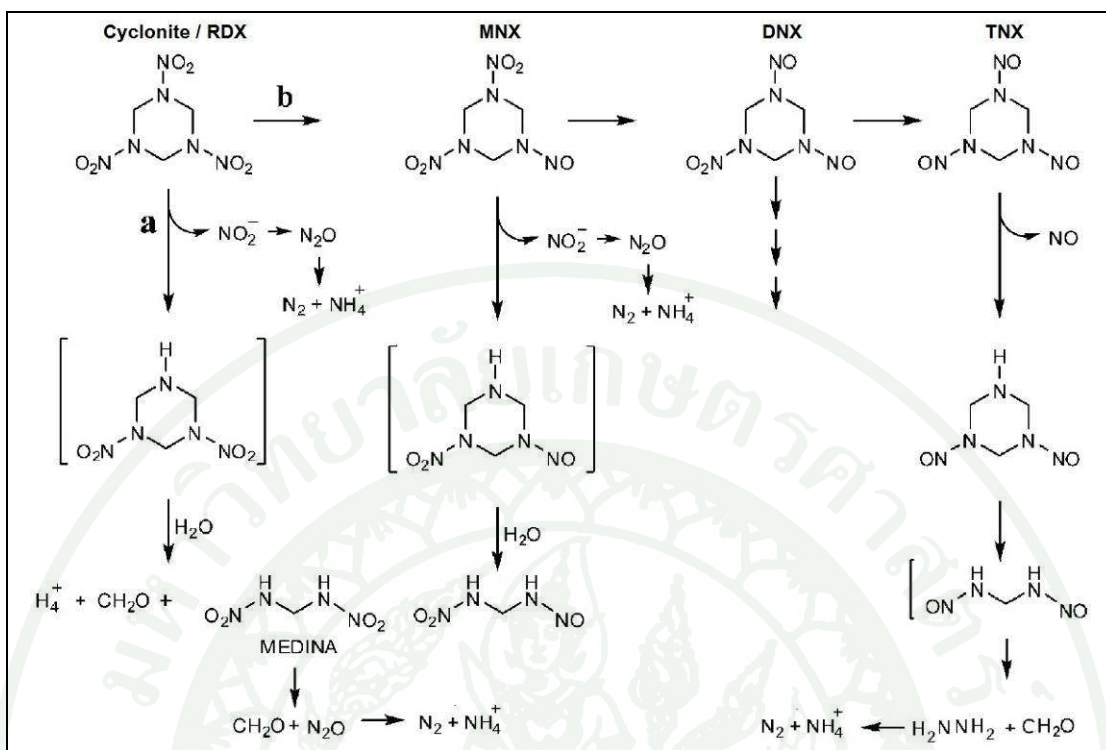
3. การบำบัดไฮโครไนท์โดย NZVI

3.1 ผลของปริมาณ NZVI ต่อการบำบัดไฮโครไนท์

การบำบัดไฮโครไนท์ที่ความเข้มข้นเริ่มต้น 20 mg/L โดยใช้ NZVI ปริมาณ $0.05\% (\text{w/v})$, $0.1\% (\text{w/v})$ และ $0.25\% (\text{w/v})$ พบรates ในการบำบัดเป็น 2.40 และ 76 เปอร์เซ็นต์ ตามลำดับ เมื่อใช้ระยะเวลาสัมผัส 2 ชั่วโมง ดังแสดงในภาพที่ 17 เนื่องจากเมื่อปริมาณของ NZVI เพิ่มมากขึ้น พื้นที่ผิวสัมผัสถำเพ็ชาระ (specific surface area) และพื้นที่ในการทำปฏิกิริยา (reactive site) ระหว่างอนุภาคเหล็กกับสารมลพิษมีมากขึ้น Naja *et al.*, (2008) ได้ศึกษาวิถีทาง (pathway) ของปฏิกิริยาในการบำบัดไฮโครไนท์พบว่า ไฮโครไนท์เป็นตัวรับอิเล็กตรอนจาก NZVI ส่งผลให้ nitro group เกิดการรีดิวซ์ ได้เป็น methylenedinitramine (MEDINA), formaldehyde (HCHO), nitrite (NO_2^-), ammonium (NH_4^+), hydrazine(NH_2NH_2) และ nitrogen gas (N_2) หรือเกิดเป็น nitroso derivative (MNX, DNX และ TNX) (ภาพที่ 18) โดยไฮโครไนท์ 1 โมเลกุลเมื่อถูก reduce ให้อยู่ในรูปของคาร์บอนบริามณ 95.6 เปอร์เซ็นต์ หรืออยู่ในรูปของไนโตรเจนประมาณ 79 เปอร์เซ็นต์



ภาพที่ 17 การบำบัดไฮโครไนท์ที่ความเข้มข้นเริ่มต้น 20 mg/L โดยใช้ NZVI ปริมาณ $0.05\% (\text{w/v})$, $0.1\% (\text{w/v})$ และ $0.25\% (\text{w/v})$



ภาพที่ 18 วิถีทาง (pathway) ของการบำบัดไฮโครไนท์โดย NZVI

ที่มา: ดัดแปลงจาก Naja *et al.* (2008)

ผลศาสตร์ของการบำบัดไฮโครไนท์สอดคล้องกับสมการ Psuedo-first-order (สมการที่ 34) โดยค่าคงที่ของการบำบัด (destruction rate constant, k_{obs}) เมื่อใช้ NZVI ปริมาณ 0.05 % (w/v) 0.1% (w/v) และ 0.25% (w/v) เป็น 0.18×10^{-3} , 3.91×10^{-3} และ $11.04 \times 10^{-3} \text{ min}^{-1}$ ตามลำดับ เมื่อเพิ่มปริมาณของ NZVI ทำให้ค่าคงที่ของการบำบัดเพิ่มขึ้น สอดคล้องกับงานวิจัยของ Wanaratna *et al.* (2006) ศึกษาการบำบัดไฮโครไนท์ที่ความเข้มข้น 10 mg/L โดยใช้เหล็กขนาดไมโครสเกลวานเซนชั่นที่สูง 0.005 – 0.15% (w/v) พบว่าประสิทธิภาพในการบำบัดไฮโครไนท์เป็น 100 เปลอร์เซนต์ โดยใช้ระยะเวลาสามพัท 60 นาที และปฏิกริยาของการบำบัด สอดคล้องกับสมการ Psuedo-first-order โดยค่าคงที่การบำบัดเพิ่มขึ้นเมื่อปริมาณของเหล็กเพิ่มขึ้น ($k_{\text{obs}} = 0.095 - 0.0976 \text{ min}^{-1}$)

$$-\frac{d[\text{Cyclonite}]}{dt} = k_{\text{obs}} [\text{Cyclonite}] \quad (34)$$

สำหรับการเปรียบเทียบประสิทธิภาพในการนำบัดซึ่งมีปริมาณของ NZVI แตกต่างกันสามารถทำได้โดยการปรับค่า (normalization) ให้อยู่ในรูปที่เปรียบเทียบกันได้ โดยใช้สมการการหาค่าคงที่จำเพาะของการนำบัด (specific reaction rate, k_{SA}) (สมการที่ 35 และ 36) (Johnson *et al.*, 1996)

$$-\frac{d[Cyclonite]}{dt} = k_{SA} \rho_a [Cyclonite] \quad (35)$$

หรือ

$$(k_{SA}) = (k_{obs})/\rho_a \quad (36)$$

โดยที่	k_{SA}	คือ ค่าคงที่จำเพาะของการนำบัด (specific reaction rate)
	k_{obs}	คือ ค่าคงที่การนำบัด (removal kinetic removal) (min^{-1})
	ρ_a	คือ พื้นที่ผิวจำเพาะของ NZVI ในสารละลายน้ำ (specific surface area ($\text{m}^2 \text{L}^{-1}$))

ตารางที่ 23 ค่าคงที่การนำบัด (destruction rate constant, k_{obs}) และค่าคงที่จำเพาะการเกิดปฏิกิริยา (specific reaction rate constant, k_{SA}) ของไซโคลไนท์ โดยใช้ NZVI

ปริมาณ NZVI	ค่าคงที่การนำบัด (destruction rate constant, k_{obs}) ($\times 10^{-3} \text{ min}^{-1}$)	ค่าคงที่จำเพาะการนำบัด (specific reaction rate constant, k_{SA}) ($\times 10^{-4} \text{ Lmin}^{-1} \text{ m}^{-2}$)
0.05% (w/v)	0.18	0.14
0.1% (w/v)	3.91	1.56
0.25% (w/v)	11.04	1.77

จากตารางที่ 23 พบค่าคงที่จำเพาะการเกิดปฏิกิริยา (specific reaction rate, k_{SA}) ในการนำบัดไซโคลไนท์โดย NZVI ปริมาณ 0.05% (w/v) 0.1% (w/v) และ 0.25% (w/v) เป็น 0.14×10^{-4} 1.56×10^{-4} และ $1.77 \times 10^{-4} \text{ L/min.m}^2$ ตามลำดับ ค่าคงที่จำเพาะการเกิดปฏิกิริยาในการนำบัดไซโคลไนท์โดย NZVI ปริมาณ 0.1% (w/v) และ 0.25% (w/v) มีค่าใกล้เคียงกันเมื่อเพิ่มปริมาณ NZVI สอดคล้องกับงานวิจัยของ Huan *et al.* (2006) รายงานว่าการเพิ่มปริมาณเหล็กวาเลนซ์ศูนย์ในช่วง 1.5-3.5% (w/v) เป็นการเพิ่มอัตราการนำบัดใน terrestrial แต่การเพิ่มปริมาณเหล็กเท่ากับ

2% (w/v) พบร่วมเป็นการลดประสิทธิภาพการบำบัดในเตրท และงานวิจัยของ Zhang *et al.* (2010) รายงานว่าเมื่อเปรียบเทียบประสิทธิภาพการบำบัด TNT โดย NZVI ปริมาณ 2 3 5 และ 7 g/L การใช้ NZVI ปริมาณ 5 และ 7 ให้ประสิทธิภาพในการบำบัดประมาณ 90 เปอร์เซ็นต์เท่ากัน โดยทั้งสองงานวิจัยเกิดจากปริมาณเหล็กที่มากเกินไปทำให้เกิดการเกาะรวมตัวกัน (aggregation) สะสมอยู่บริเวณผิวน้ำ บดบังพื้นที่ผิวการทำปฏิกิริยา (reactive site) ทำให้ประสิทธิภาพในการบำบัดน้อยลงเช่นกัน

ในงานวิจัยของ Naja *et al.* (2008) ศึกษาการบำบัดใช้โคโรไนท์ความเข้มข้น $82 \mu\text{mol/L}$ โดยใช้ NZVI ปริมาณ 0.3 g/L พบร่วมในสภาพะออกซิเจน ใช้โคโรไนท์ถูกบำบัดได้ถึง 98.2 เปอร์เซ็นต์ภายในระยะเวลาสัมผัส 5 นาที เมื่อ NZVI มีขนาดเส้นผ่านศูนย์กลางที่เล็กประมาณ 32 นาโนเมตร และมีพื้นที่ผิวสัมผัสที่มากถึง $42.6 \text{ m}^2/\text{g}$ จึงทำให้เกิดปฏิกิริยาที่ค่อนข้างไวนอกจานนี้ Naja *et al.* (2009) ยังได้ทำการศึกษาเปรียบเทียบผลของ NZVI ที่เคลือบด้วย carboxymethyl cellulose (CMC) และ NZVI เพียงอย่างเดียวในการบำบัด ใช้โคโรไนท์ พบร่วมการใช้ NZVI ที่เคลือบด้วย CMC ($k_{\text{obs}} = 0.816 \text{ min}^{-1}$) ให้ประสิทธิภาพในการบำบัดที่มากกว่าการใช้ NZVI เพียงอย่างเดียว ($k_{\text{obs}} = 0.019 \text{ min}^{-1}$) เมื่อจาก NZVI มีขนาดเล็ก สามารถเกาะรวมกันเป็นกลุ่มได้ การปรับสภาพ NZVI โดย CMC เป็นการเพิ่มการกระจายตัวของ NZVI ในสารละลายได้อีกด้วย

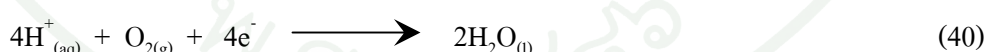
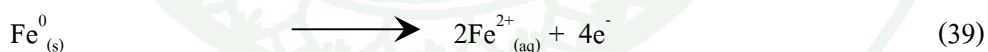
3.2 ผลกระทบค่าความเป็นกรด-ด่าง (pH) ต่อการบำบัดใช้โคโรไนท์

การบำบัดใช้โคโรไนท์ความเข้มข้นเริ่มต้น 20 mg/L ที่มีค่าความเป็นกรด-ด่าง 4 7 และ 10 โดยใช้ NZVI ปริมาณ 0.25% (w/v) พบร่วมค่าคงที่ของการบำบัด(destruction rate constant, k_{obs}) เป็น 2.5×10^{-3} 2.29×10^{-3} และ $4.21 \times 10^{-3} \text{ min}^{-1}$ ตามลำดับ ดังแสดงในภาพที่ 19 จล耷สตร์ของการบำบัดใช้โคโรไนท์สอดคล้องกับสมการ pseudo-first-order ประสิทธิภาพของการบำบัดใช้โคโรไนท์ที่ระยะเวลาสัมผัส 120 นาทีเป็น 30 26 และ 48 เปอร์เซ็นต์สำหรับ pH 4 7 10 ตามลำดับ โดยประสิทธิภาพของการบำบัดเพิ่มสูงขึ้นเมื่อค่าความเป็นกรด-ด่างเพิ่มขึ้นในสภาพะที่สารละลายมีค่าความเป็นกรด-ด่างเพิ่มขึ้น จะทำให้ประสิทธิภาพในการบำบัดใช้โคโรไนท์ลดลง เมื่อจากเมื่อค่าความเป็นกรด-ด่างเพิ่มสูงขึ้นทำให้ปริมาณไฮดรอกไซด์ไอออน (OH^-) ในสารละลายมากขึ้น ไฮดรอกไซด์ไอออนสามารถทำปฏิกิริยากับเฟอร์สไอกอน ได้เหล็กไฮดรอกไซด์ (iron hydroxide) ดังสมการที่ 37 จากนั้นเหล็กไฮดรอกไซด์จะทำปฏิกิริยากับออกซิเจนที่ละลายในน้ำ เกิดตะกอนของเหล็กออกไซด์ (iron oxide) หรือสนิม (rust) ของเหล็ก ดังสมการที่ 38 (Wang, 1994) ซึ่งจะไป

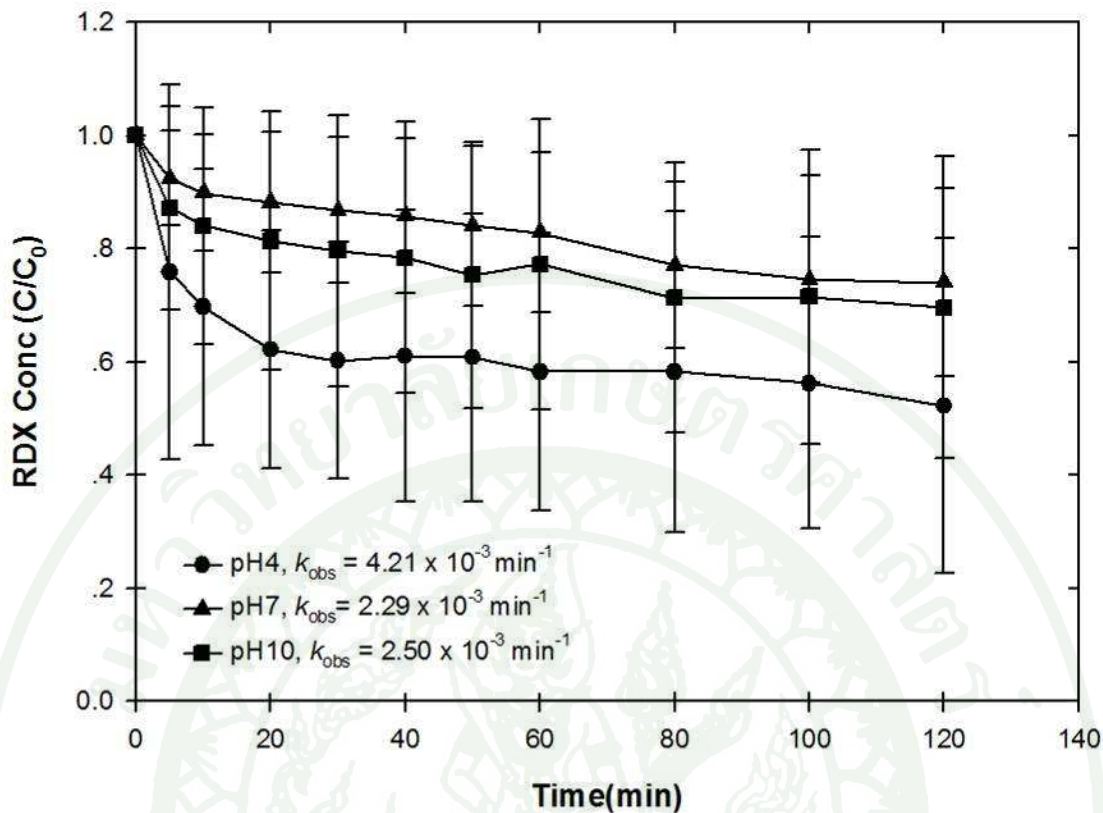
บดบังพื้นที่ผิวการทำปฏิกิริยาระหว่างอนุภาคเหล็กกับไฮโครไนท์ทำให้ประสิทธิภาพในการบำบัดลดลง



บันทึกความเป็นกรด-ด่างลดลงประสิทธิภาพในการบำบัดเพิ่มมากขึ้น เนื่องเหล็ก瓦เลนซ์ศูนย์ (Fe^0) เมื่อให้อิเล็กตรอนแก่ไฮโครไนท์จะเปลี่ยนรูปเป็นเฟอร์สไออกอน (Fe^{2+}) และคลายออกซิเจนในสารละลาย (สมการที่ 39) เมื่อลดค่าความเป็นกรด-ด่างจะมีปริมาณ proton (H^+) มากขึ้น ซึ่งโปรดตระหนักรับประทานจะทำปฏิกิริยากับอิเล็กตรอนจากเหล็กวัลเดนซ์ศูนย์และออกซิเจนที่ละลายนำ (dissolve oxygen) อย่างรวดเร็ว (สมการที่ 40) ทำให้เกิดการกร่อน (corrosion) ที่บริเวณผิวน้ำของเหล็ก (Grafen *et al.*, 2008) ดังนั้นการลดค่าความเป็นกรด-ด่าง จึงทำให้เกิดการกัดกร่อนของเหล็กมากขึ้น ส่งผลพื้นที่ในการทำปฏิกิริยาระหว่าง NZVI มีมากขึ้นด้วยเช่นกัน สาเหตุหลักที่ทำให้เกิดการกัดกร่อนของ TNT ของ Zhang *et al.*, 2009 ศึกษาผลของการลดค่าความเป็นกรด-ด่างต่อการบำบัด trinitrotoluene (TNT) พบว่าอัตราการเกิดรีดักชั่นเพิ่มมากขึ้นเมื่อค่าความเป็นกรด-ด่างลดลง เนื่องจาก proton (H^+) ทำปฏิกิริยากับอนุภาคเหล็กวัลเดนซ์ศูนย์ และโปรดตระหนักรับประทานเป็นตัวเร่งการเกิดปฏิกิริยาดักชั่นของ TNT ในทางตรงกันข้ามการเกิดเฟอร์สไออกอน และเฟอร์กิไอกอนจะทำให้เกิดเหล็กไฮดรอกไฮด์ริก ตกลงกันอยู่ที่ผิวของเหล็ก ทำให้พื้นที่สำหรับทำปฏิกิริยาลดลงด้วยเช่นกัน



ดังนั้นการปรับค่าความเป็นกรด-ด่างให้เพิ่มขึ้นหรือลดลงของไฮโครไนท์ทำให้ประสิทธิภาพของการบำบัดลดลงเมื่อเทียบกับการบำบัดโดยไม่ทำการปรับค่าความเป็นกรด-ด่าง (ความเป็นกรด-ด่างของไฮโครไนท์ = 6.65) ให้ประสิทธิภาพในการบำบัดเป็น 76 เปอร์เซ็นต์ ดังนั้นการปรับค่าความเป็นกรด-ด่างจึงมีผลต่อประสิทธิภาพการบำบัดไฮโครไนท์ที่ลดลง

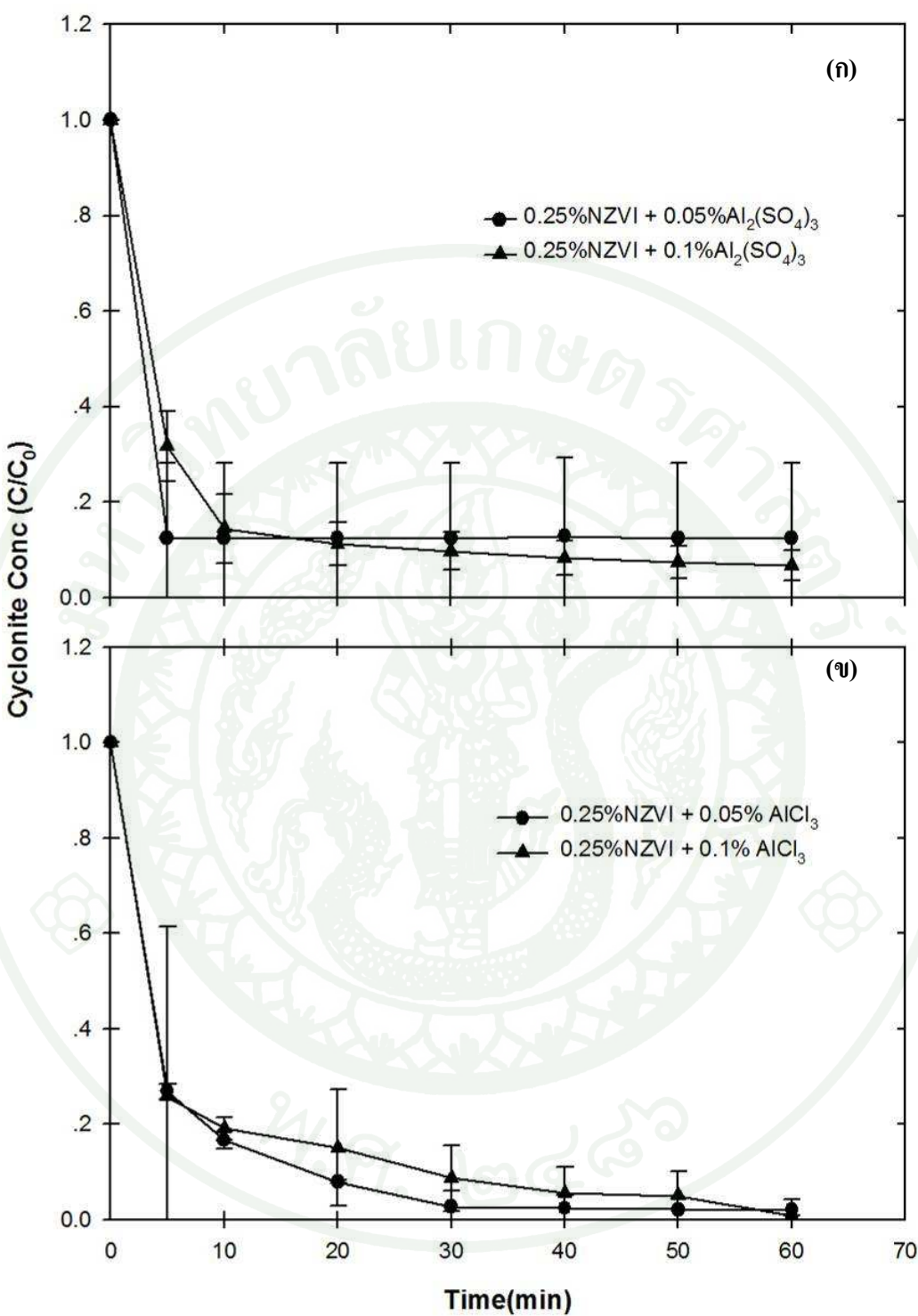


ภาพที่ 19 การนำบัดไฮโครไนท์ที่ความเข้มข้นเริ่มต้น 20 mg/L ที่มีค่าความเป็นกรด-ด่าง 4.7 และ 10 โดยใช้ NZVI ปริมาณ $0.25\% (\text{w/v})$

3.3 ผลของเกลืออะลูมิเนียม (Al-Salt) ต่อการนำบัดไฮโครไนท์

การนำบัดไฮโครไนท์ที่ความเข้มข้นเริ่มต้น 20 mg/L โดยใช้ NZVI ปริมาณ $0.25\% (\text{w/v})$ อะลูมิเนียมชัลเฟต ($\text{Al}_2(\text{SO}_4)_3$) และอะลูมิเนียมคลอไรด์ (AlCl_3) ปริมาณ $0.05\% (\text{w/v})$ และ $0.1\% (\text{w/v})$ พบร่วงในระยะเวลา 10 นาที ประสิทธิภาพในการนำบัดไฮโครไนท์เป็น 100 เปอร์เซ็นต์ ซึ่งใช้ระยะเวลาต่ำกว่าการใช้ NZVI เพียงอย่างเดียว ดังแสดงในภาพที่ 20 เมื่อเปรียบเทียบผลของอะลูมิเนียมชัลเฟต และอะลูมิเนียมคลอไรด์ พบร่วงในทางเดียวกัน โดยค่าคงที่ของการนำบัด (destruction rate constant, k_{obs}) เป็น 0.36 และ 0.21 min^{-1} เมื่อใช้อะลูมิเนียมชัลเฟต $0.05\% (\text{w/v})$ และ $0.1\% (\text{w/v})$ ตามลำดับ และค่าคงที่ของการนำบัดเป็น 0.22 และ 0.29 min^{-1} เมื่อใช้อะลูมิเนียมคลอไรด์ $0.05\% (\text{w/v})$ และ $0.1\% (\text{w/v})$ ตามลำดับ (ตารางที่ 24)

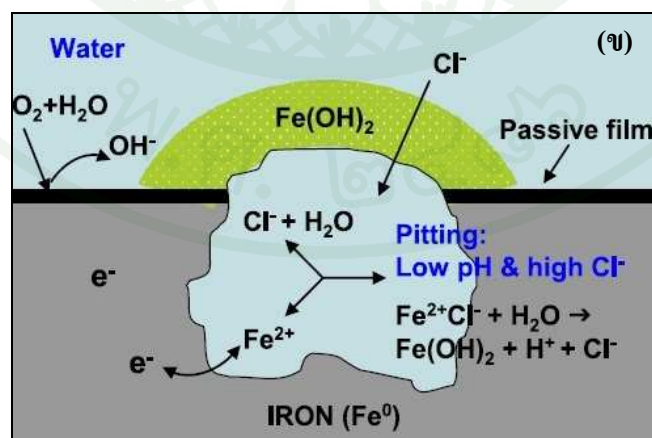
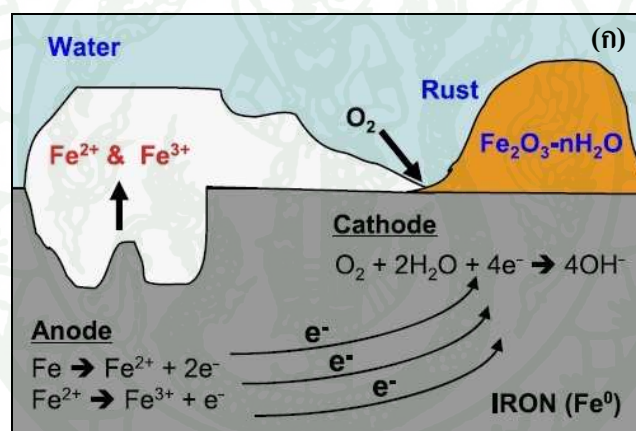
เมื่อเปรียบเทียบอัตราการเกิดปฏิกิริยาในช่วงแรกระหว่างเหล็กกับ nitroaromatic group หรือ nitramine group เกิดเร็วกว่าอัตราการเกิดปฏิกิริยาระหว่างเหล็กกับ chlorinated solvent หรือ pesticide แต่เนื่องจากผลิตภัณฑ์ (by product) ที่ได้จากการทำปฏิกิริยาของ nitroaromatic group หรือ nitramine group สามารถดูดซับที่ผิวของโลหะ ได้เป็นอย่างดี จึงไปขับชี้งการผุกร่อนทำให้เกิดฟิล์มที่ผิวของโลหะ (passivation) ส่งผลให้การทำปฏิกิริยาระหว่างเหล็กกับสารมลพิษลดน้อยลง (deactivation) (Scherer *et al.*, 2001) การเติมเกลือของอะลูมิเนียมลงไปจึงช่วยเพิ่มการผุกร่อน (corrosion) ของเหล็ก และลดการเกิดฟิล์มออกไซด์ที่เกาะอยู่ที่ผิวของโลหะ ชี้งการผุกร่อนโดยปกติเป็นกระบวนการการเกิด electrochemical เกี่ยวข้องกับการถ่ายเทอิเล็กตรอนระหว่างผิวโลหะกับสารละลายน้ำจะเกิดปฏิกิริยาเร็วทัน (รับอิเล็กตรอนหรือข้าวแอลูมิเนียม) หรือข้าวแคโทด) ส่วนออกซิเจนที่ละลายน้ำจะเกิดปฏิกิริยาเร็วทัน (รับอิเล็กตรอนหรือข้าวแอลูมิเนียม) จึงเกิดเป็นผลิตภัณฑ์ที่ไม่คลายน้ำหรือสนิมเหล็ก (rust) (Kim *et al.*, 2007) ดังแสดงในภาพที่ 21 เมื่อในสารละลายน้ำอะลูมิเนียมคลอไรด์จะทำให้เกิดการผุกร่อนแบบบูรลิก (pitting) คลอไรด์ไอออน (Cl^-) จะถูกดูดซับบริเวณออกไซด์ฟิล์มที่เคลือบเหล็ก (passive film) และทำปฏิกิริยากับเฟอรัสไอออน และน้ำ ได้เป็นเฟอรัสไฮดรอกไซด์ (Fe(OH)_2) และ ไประตอรอน (H^+) (Kim *et al.*, 2007)



ภาพที่ 20 การบำบัดไซโคลนที่ความเข้มข้นเริ่มต้น 20 mg/L โดยใช้ NZVI ปริมาณ 0.25% (w/v)
 (ก) อะลูมิเนียมซัลเฟต ($\text{Al}_2(\text{SO}_4)_3$) และ (ห) อะลูมิเนียมคลอไรด์ (AlCl_3) ปริมาณ 0.05% (w/v) และ 0.1% (w/v)

ตารางที่ 24 ค่าคงที่การบำบัด (destruction rate constant, k_{obs}) ของการบำบัดไฮโครไนท์ โดยใช้ NZVI ปริมาณ 0.25 % (w/v) อะลูมิเนียมชัลเฟต ($\text{Al}_2(\text{SO}_4)_3$) และอะลูมิเนียมคลอไรด์ (AlCl_3) ปริมาณ 0.05 % (w/v) และ 0.1% (w/v)

ค่าคงที่การบำบัด		
ปริมาณอะลูมิเนียม	(destruction rate constant, k_{obs})	
	(min ⁻¹)	
อะลูมิเนียมชัลเฟต ($\text{Al}_2(\text{SO}_4)_3$)	0.05% (w/v)	0.36
	0.1% (w/v)	0.21
อะลูมิเนียมคลอไรด์ (AlCl_3)	0.05% (w/v)	0.22
	0.1% (w/v)	0.29



ภาพที่ 21 (ก) การเกิดสนิมเหล็ก และ(ข) การกัดกร่อนของเหล็ก

ที่มา: Kim *et al.* (2007)

3.4 ผลของสภาวะออกซิเจน (aerobic condition) และสภาวะไร้ออกซิเจน (anaerobic condition) ต่อการบำบัดไชโครไนท์

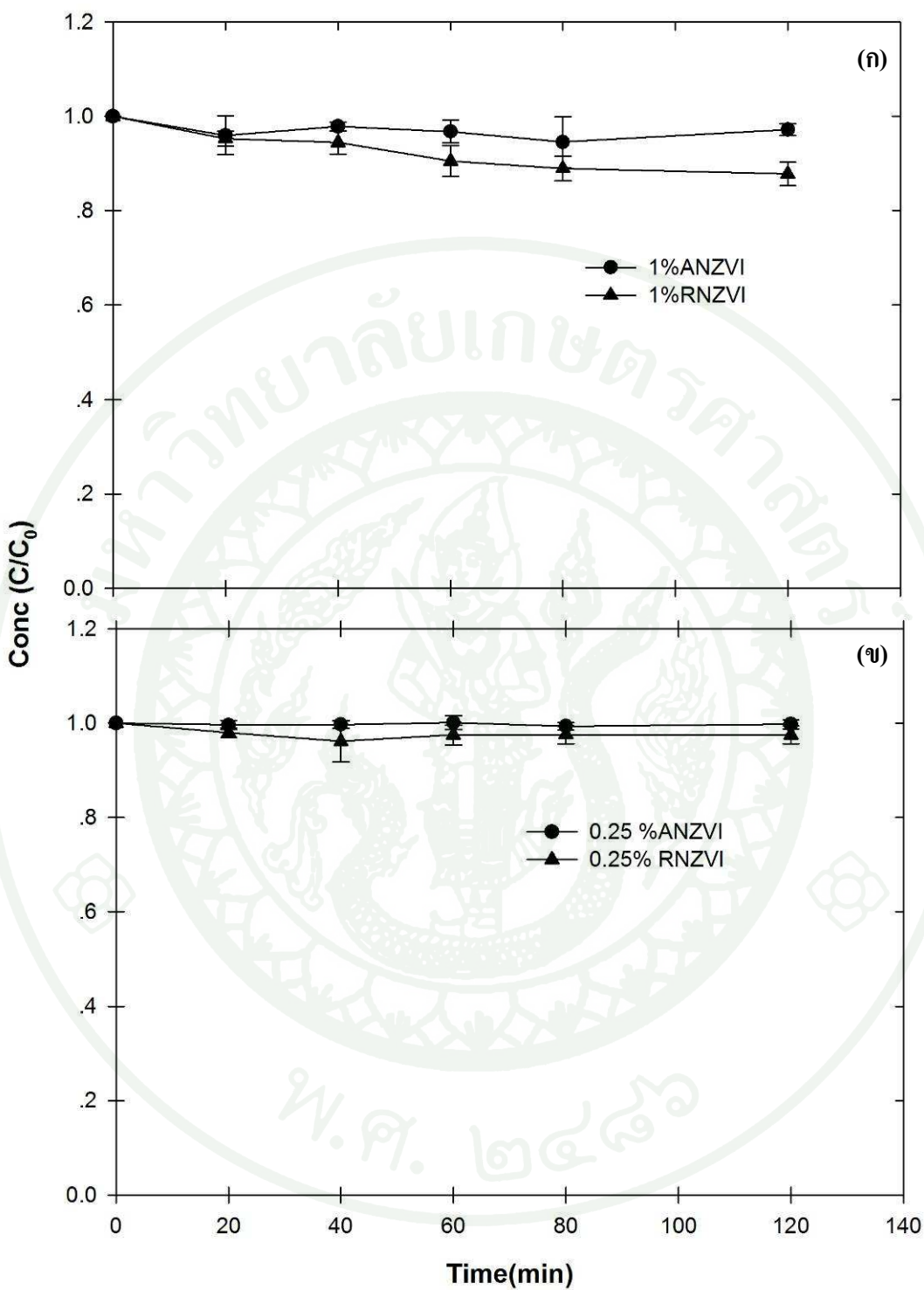
การบำบัดไชโครไนท์ที่ความเข้มข้นเริ่มต้น 20 mg/L โดยใช้ NZVI ปริมาณ $0.05\% (\text{w/v})$ $0.1\% (\text{w/v})$ และ $0.25\% (\text{w/v})$ ภายใต้สภาวะออกซิเจน และสภาวะไร้ออกซิเจน พบว่าค่าคงที่จำเพาะการเกิดปฏิกิริยา (specific reaction rate constant, k_{SA}) ในสภาวะออกซิเจนเป็น 0.14×10^{-4} 1.56×10^{-4} และ $1.77 \times 10^{-4} \text{ L min}^{-1} \text{ m}^{-2}$ ตามลำดับ ในสภาวะไร้ออกซิเจนเป็น 0.75×10^{-4} 3.27×10^{-4} และ $6.00 \times 10^{-5} \text{ L/min.m}^2$ ตามลำดับ ดังแสดงในตารางที่ 25 ประสิทธิภาพของการบำบัดไชโครไนท์ในสภาวะไร้ออกซิเจนมีมากกว่าในสภาวะออกซิเจน เนื่องจากในสภาวะไร้ออกซิเจน ไชโครไนท์จะเป็นตัวรับอิเล็กตรอน (electron acceptor) จาก NZVI เกิดการ denitration บริเวณ N-NO_2 ได้เป็น nitrite (NO_2^-) จากนั้น nitrite เกิดการรีดิวช์ได้เป็น ammonium (NH_4^+) หรือ nitrogen gas (N_2) ขณะที่สภาวะออกซิเจนจะมีออกซิเจนเป็นตัวรับอิเล็กตรอนร่วมด้วย ทำให้เกิดการกัดกร่อนของ NZVI ที่ไวขึ้น นอกจากนี้ออกซิเจนยังทำปฏิกิริยากับเฟอรัส (Fe^{2+}) เกิดเป็นเหล็กออกไซด์ หรือสันมิเหล็กบริเวณผิวของเหล็ก สอดคล้องกับงานวิจัยของ Naja *et al.*, 2008 ศึกษาเปรียบเทียบสภาวะออกซิเจน และสภาวะไร้ออกซิเจนในการบำบัดไชโครไนท์โดย NZVI พบว่าที่สภาวะออกซิเจนให้ประสิทธิภาพในการบำบัดน้อยกว่า 5 เปลอร์เซ็นต์ ขณะที่ในสภาวะไร้ออกซิเจนประสิทธิภาพในการบำบัดมีการถึง 75 เปลอร์เซ็นต์ในระยะเวลาบำบัด 1 ชั่วโมง

ตารางที่ 25 ค่าคงที่การบำบัด (destruction rate constant, k_{obs}) และค่าคงที่จำเพาะการเกิดปฏิกิริยา (specific reaction rate constant, k_{SA}) ของไฮดรอเจนท์ โดยใช้ NZVI ภายใต้สภาวะ ออกรชีเจน (aerobic condition) และสภาวะไร้ออกซิเจน (anaerobic condition)

สภาวะ	ปริมาณ NZVI	ค่าคงที่การบำบัด	ค่าคงที่จำเพาะการบำบัด
		(destruction rate constant, k_{obs}) ($\times 10^{-3} \text{ min}^{-1}$)	(specific reaction rate constant, k_{SA}) ($\times 10^{-4} \text{ L/min.m}^2$)
ออกซิเจน (aerobic condition)	0.05% (w/v)	0.18	0.14
	0.1% (w/v)	3.91	1.56
	0.25% (w/v)	11.04	1.77
ไร้ออกซิเจน (anaerobic condition)	0.05% (w/v)	0.94	0.75
	0.1% (w/v)	8.19	3.27
	0.25% (w/v)	37.43	6.00

4. การบำบัดเมโทลาคลอร์และไฮโครไนท์โดย NZVI ที่นำกลับมาใช้ใหม่

NZVI ที่ผ่านการบำบัดเมโทลาคลอร์และไฮโครไนท์ถูกนำมาเติมสารละลายกรดไฮโครคลอริกแล้วล้างด้วยน้ำประจากไอออน (recovery nano zero valent iron, RNZVI) (Zhu *et al.*, 2007) พบว่า NZVI หลังการบำบัดมีลักษณะเป็นสีน้ำตาล เมื่อผ่านการล้างด้วยกรดแล้วจะมีสีดำ สอดคล้องกับงานวิจัยของชีวนันท์, 2552 ศึกษาการนำ NZVI กลับมาใช้ใหม่ พบว่า NZVI หลังการบำบัดมีสีน้ำตาลเนื่องจากมีองค์ประกอบของเฟอร์ริโกออกไซด์ (Fe_2O_3) ซึ่งมีโครงสร้างเหมือนกับสารประกอบเหล็กออกไซด์ (iron oxide) แต่อนุภาคที่ผ่านการฟื้นฟูด้วย NaBH_4 มีองค์ประกอบของเหล็กวานาเดียม (Fe^0) และเฟอร์ริโกออกไซด์ (Fe_2O_3) แต่มี intensity ครึ่งหนึ่งของเหล็กก่อนใช้งาน ส่วนอนุภาคเหล็กขนาดโนเมตรที่ไม่ผ่านล้างด้วยกรด (aged nano zero valent iron, ANZVI) ยังคงมีสีน้ำตาล และเมื่อนำมาศึกษาเบรย์ทีบประสีทิชภาพการบำบัดเมโทลาคลอร์และไฮโครไนท์โดยใช้ RNZVI และ ANZVI ปริมาณ 1% (w/v) สำหรับเมโทลาคลอร์ความเข้มข้น 100 มิลลิกรัมต่อลิตร และใช้ RNZVI และ ANZVI ปริมาณ 0.25% (w/v) สำหรับไฮโครไนท์ความเข้มข้น 20 มิลลิกรัมต่อลิตร พบว่าประสีทิชภาพของการบำบัดเมโทลาคลอร์และไฮโครไนท์โดย RNZVI และ ANZVI ต่ำกว่า 5 เปลอร์เซ็นต์ ที่ระยะเวลาสัมผัส 120 นาที ดังแสดงในภาพที่ 22 เนื่องจาก NZVI ที่ผ่านการบำบัดมีองค์ประกอบของออกไซด์ การล้างด้วยสารละลายกรดไฮโครคลอริกเป็นเพียงการทำจัดออกไซด์ที่เคลือบอยู่ที่ผิวอนุภาคเหล็กขนาดไมโครเมตร (Zhu *et al.*, 2007) และการนำ NZVI ที่ไม่ผ่านการล้างหรือการทำจัดออกไซด์ที่เคลือบอยู่ที่ผิวนางามบำบัดเมโทลาคลอร์และไฮโครไนท์ส่งผลให้ประสีทิชภาพเป็นเช่นเดียวกับการบำบัดโดย RNZVI ซึ่งการฟื้นฟูอนุภาคเหล็กขนาดโนเมตรที่ผ่านการบำบัด (regenerated) โดยการนำ NZVI มาล้างด้วยน้ำประจากไอออน แล้วเติมโซเดียมโบโรไฮไดร์ (NaBH_4) (Liou *et al.*, 2005) สามารถนำ NZVI ที่ผ่านการฟื้นฟูมาบำบัดสารมลพิษได้แต่ประสีทิชภาพของการบำบัดที่ได้จะลดลง สอดคล้องกับงานวิจัยของชีวนันท์ (2551) ศึกษาการนำ NZVI ที่ผ่านการฟื้นฟูมาบำบัด RB5 และ RR198 พบประสีทิชภาพการบำบัดเป็น 67 และ 62 เปลอร์เซ็นต์ ตามลำดับ ซึ่งประสีทิชภาพที่ได้มีค่าต่ำกว่าการใช้ NZVI ที่ทำการล้างเคราะห์ใหม่ (ประสีทิชภาพการบำบัดเป็น 86 และ 88 เปลอร์เซ็นต์ ตามลำดับ)



ภาพที่ 22 การนำบด (ก) เมโทลาคลอร์ที่ความเข้มข้น 100 mg/L โดย RNZVI และ ANZVI ปริมาณ 1% (w/v) และ (ง) ไฮโกรไนท์ที่ความเข้มข้น 20 mg/L โดย RNZVI และ ANZVI ปริมาณ 0.25% (w/v)

สรุปและข้อเสนอแนะ

สรุป

1. อนุภาคเหล็กขนาดนาโนเมตร (Nanofer 25s) ที่ได้จากบริษัท Nanoiron, S.R.O. (Czech Republic) มีลักษณะเป็นก้อนกลมจับตัวกันเป็นกลุ่ม มีองค์ประกอบของเหล็กปริมาณ 76.63% (w/v) อนุภาคเหล็กประมาณ 50 เपอร์เซ็นต์ของอนุภาคเหล็กทั้งหมดมีขนาดเส้นผ่าศูนย์กลางน้อยกว่า 50 นาโนเมตร และมีพื้นที่ผิวจำเพาะ (specific surface area) ประมาณ $25 \text{ m}^2/\text{g}$
2. การนำบัดเมโลลาคลอร์และไฮโครไนท์โดย NZVI ให้ประสิทธิภาพสูง และใช้ระยะเวลาในการนำบัดน้อย เนื่องจาก NZVI มีขนาดเล็ก พื้นที่ผิว (surface area) และพื้นที่ปฏิกิริยา (surface reactivity) สูง โดยประสิทธิภาพในการนำบัดขึ้นอยู่กับปริมาณ NZVI ประสิทธิภาพในการนำบัดเพิ่มขึ้นเมื่อมีการเพิ่มปริมาณ NZVI และการปรับค่าความเป็นกรด-ด่าง การเพิ่มปริมาณเกลือของอะลูมิเนียมช่วยให้เกิดการกัดกร่อนที่ผิวของ NZVI (corrosion) ซึ่งเป็นการเพิ่มพื้นที่ผิวในการทำปฏิกิริยา นอกจากนี้ออกซิเจนที่ละลายน้ำยังมีผลต่อประสิทธิภาพการนำบัด เมโลลาคลอร์และไฮด์โครไนท์ด้วยเช่นกัน
3. การนำอนุภาคเหล็กที่ผ่านการใช้งานกลับมาใช้ใหม่โดยการล้างด้วยสารละลายกรดไฮโครคลอริก (HCl) และไม่ผ่านการล้างด้วยกรด พบว่าให้ประสิทธิภาพในการนำบัดเมโลลาคลอร์และไฮโครไนท์ที่ต่ำกว่า 5 เപอร์เซ็นต์ นอกจากนี้การฟื้นฟูอนุภาคเหล็กขนาดนาโนเมตรที่ผ่านการนำบัด (regenerated) โดยไฮเดอเจนโบโรไฮไดร์ (NaBH_4) สามารถนำอนุภาคเหล็กขนาดนาโนเมตรที่ผ่านการฟื้นฟูมานำบัดสารมลพิษได้แต่ประสิทธิภาพของการนำบัดที่ได้จะลดลงกว่าการใช้ออนุภาคเหล็กที่ยังไม่ผ่านการนำบัด

ข้อเสนอแนะ

การนำ NZVI ไปใช้ฟื้นฟูพื้นที่ปนเปื้อนจริงจำเป็นต้องศึกษาความเป็นพิษต่อสิ่งมีชีวิตของ NZVI และของเสียอันตรายหลังการนำบัด โดยอาจเพิ่มขั้นตอนในการกักเก็บ NZVI และของเสีย อันตรายหลังการนำบัด เพื่อให้.io ถอนของโลหะและพลิตภัณฑ์อยู่ในรูบที่ไม่ส่งผลกระทบต่อสิ่งมีชีวิตในสิ่งแวดล้อม

เอกสารและสิ่งอ้างอิง

เกรียงศักดิ์ อุดมสิน ใจจัน. 2546. ของเสียอันตราย. มหาวิทยาลัยรังสิต, ปทุมธานี.

กรมควบคุมมลพิษ. 2535. พระราชบัญญัติส่งเสริมและรักษาคุณภาพสิ่งแวดล้อมแห่งชาติ.

แหล่งที่มา: <http://www.pcd.go.th/Download/regulation.cfm?task=s1>, 10 เมษายน 2553.

นัตรเพชร ยศพล. 2553. ผลกระทบต่อสิ่งแวดล้อมของปฏิกริยา. แหล่งที่มา:

http://eng.sut.ac.th/envi/modules/menu/files_menu/128589950712857416601009-Class%20Note%20432-426-Ch2.pdf, 21 กุมภาพันธ์ 2554.

ชีวนันท์ ชุมพูจันท์. 2551 การพัฒนาตัวกรองเหล็กขนาด nano เมตรที่ยึดติดกับชิลิการอกใช้ได้เพื่อการบำบัดสี. วิทยานิพนธ์ปริญญาโท, มหาวิทยาลัยเกษตรศาสตร์.

ศูนย์นาโนเทคโนโลยีแห่งชาติ. 2547. ความหมายของนาโนเทคโนโลยี. แหล่งที่มา:

http://www.nanotec.or.th/nanotec/index.php?leftmenu=nanotechnology&index=nanotech_nology, 1 มกราคม 2554

ศุภมาศ พนิชศักดิ์พัฒนา. 2545. ภาวะมลพิษของดินจากการใช้สารเคมี. มหาวิทยาลัยเกษตรศาสตร์, กรุงเทพฯ.

ศุภกร ภู่เกิด, อุดม ทิพราษ และ ทิพวรรณ สาขพิณ. 2549. วัสดุนานา. วารสารวิชาการ ม.อบ. 8(1): 27-40.

ศศิธร แท่นทอง. 2545. การหาสารเคมีในสิ่งแวดล้อมจังหวัดเพชรบูรณ์. วิทยานิพนธ์ปริญญาโท, สถาบันราชภัฏเพชรบูรณ์.

สำนักควบคุมพิษและวัสดุการเกษตร. 2553. รายงานการนำเสนอข่าวต่ออันตราย. แหล่งที่มา:

<http://as.doa.go.th/ard/stat2.php?cat=2>, 10 เมษายน 2553.

หวาน พินธุพันธ์. 2549. นาโนเทคโนโลยี. แหล่งที่มา: <http://facstaff.swu.ac.th/huan/นาโนเทคโนโลยี.doc>, 1 มกราคม 2554

อิสาน วังใน. 2553. การนำน้ำดื่มสารเคมีชีวภาพ. จุฬาลงกรณ์มหาวิทยาลัย, กรุงเทพฯ.

Alan Wood. 2010. Classified of herbicide. **Compendium of Pesticide Common Names.**

Available source: <http://www.alanwood.net/pesticides/index.html>, December 16, 2010.

Amonette, J.E., D.J. Workman, D.W. Kennedy, J.S. Fruchter and Y.A. Gorby. 2000.

Dechlorination of Carbon Tetrachloride by Fe(II) Associated with Goethite.

Environmental Science and Technology 34: 4606–4613.

Bai, X., Z.F. Ye, Y.Z. Qu, Y.F. Li and Z.Y. Wang. 2009. Immobilization of nanoscale Fe0 in and on PVA microspheres for nitrobenzene reduction. **Hazardous Materials** 172: 1357-1364.

Cheng, R., J.L. Wang and W.X Zhang. 2006. Comparison of reductive dechlorination of p-chlorophenol using Fe0 and nanozized Fe0. **Hazardous Materials** 144: 334-339.

Chesters, G, G.V. Simsiman, J. Levy, B.J. Alhajjar, R.N. Fathulla and J.M. Harkin. 1989.

Environmental fate of alachlor and metolachlor. **Environmental Contamination and Toxicology** 110:1-74.

Deng, N., F. Luo, F. Wu, M. Xiao, and X. Wu. 2000. Discoloration of aqueous reactive dye solutions in the UV/ Fe⁰ system. **Water Research** 34 (8): 2,408-2,411.

Dombek, T., E. Dolan, J. Schultz and D. Klarup. 1999. Rapid reductive dechlorination of atrazine by zero-valent iron under acidic conditions. **Environmental Pollution** 111: 21-27.

Farrell, J.M. Kason, N. Melitas, and T. Li. 1999. Investigation of the Long-Term Performance of Zero-Valent Iron for Reductive Dechlorination of Trichloroethylene. **Environmetal Science and Technology** 34: 514–521.

Georgios, B., K. Kostas and P. Ioannis. 2006. Laboratory evaluation of Fe⁰ barriers to treat acidic leachates. **Minerals Engineering** 19: 505-514.

Gillham, R.W. and S.F. O'Hannesin. 1994. Enhance degradation of halogenated aliphatics by zero-valent iron. **Ground Water** 32: 958-967.

Globalsecurity. 2010. Military. **Explosive**. Available source:
<http://www.globalsecurity.org/military/systems/munitions/explosives.htm>, December 16, 2010.

Grafen, H., E.M. Horn., H. Schelecker, and H. Schindler. 2002. **Ullmann's Encyclopedia of Industrial Chemistry**. Wiley-VCH, Weinheim.

Haderlein, S.B., K.W. Weissmahr and R.P. Schwarzenbach. 1996. Specific adsorption of nitroaromatic explosives and pesticides to clay minerals. **Environmental Science and Technology** 30: 612-622.

Huan, Z, J. Zhao-hui, H. Lu.,and Q. Cheng-hu. 2006. Synthesis of nanoscale zerovalent iron supported on exfoliated graphite of removal of nitrate. **The Transactions of Nonferrous Metals Society of China** 16: s345-349.

Hundal, L.S., P.J. Shea, S.D. Comfort, W.L. Powers and J. Singh. 1997. Long-term TNT sorption and bound residue formation in soil. **Environmental Quality** 26: 896-904.

Johnson, T., M .M . Scherer and P. Trantnyek. 1996. Kinetics of halogenated Organic Compound Degradation by Iron Metal. **Environmental Science and Technology** 30: 2634-2640.

- Jong, S.K., P.J. Shea, E.Y. Jae and K. Jang-Eok. 2007. Halide salts accelerate degradation of high explosive by zerovalent iron. **Environmental Pollution** 147: 634–641.
- Kim, J.S., P.J. Shea , J.E. Yang and J.E. Kim. 2007. Halide salts accelerate degradation of high explosives by zerovalent iron. **Environmental Pollution** 147: 634-641.
- Lee, T. and H.B. Craig. 2004. Sorption and Degradation of Alarchlor and Metolachlor in Ground Water Using Green Sands. **Environmetal Quality** 33: 1682-1693.
- Li, X.Q., D. W. Elliott and W.X. Zhang. 2006. Zero-Valent Iron Nanoparticles for Abatement of Environmental Pollutants: Materials and Engineering Aspects. **Critical Reviews in Solid State and Materials Sciences** 31: 111–122.
- Lien, H.L. and W., Zhang. 2001. Nanoscale iron particles for complete reduction of chlorinated ethenes. **Colloids and Surfaces A: Physicochemical and Engineering Aspects** 191: 97-105.
- Liou, Y.H., S.L. Loa, C.J. Lin, W.H. Kuan, and S.C. Weng. 2005. Chemical reduction of an unbuffered nitrate solution using catalyzed and uncatalyzed nanoscale iron particles. **Hazardous Materials** 127: 102–110.
- Liu, Y., S.A. Majetich, R.D. Tilton, D.S. Sholl and G.V. Lowry. 2005. TCE dechlorination rates, pathways, and efficiency of nanoscale iron particles with different properties. **Environmental Science and Technology** 39: 1338-1345.
- Matheson, L.J. and P. G. Tratnyek. 1994. Reductive Dehalogenation of Chlorinated Methanes by Iron Metal. **Environmetal Science and Technology** 28: 2045-2053.
- McLellan, W. L., Hartley, W. R., and Brower, M. E. 1988. **Health advisory for hexahydro-1,3,5-trinitro-1,3,5-triazine (RDX).** PB90-273533, US Army Medical Research and Development Command, Fort Detrick, MD.

Muller, M.C. and N. Bernd. 2010. **Observatory NANO focus report 2010.**

Naja, G., A. Halasz, S. Thiboutot, G. Ampleman and J. Hawari. 2008. Degradation of Hexahydro-1,3,5-trinitro-1,3,5-triazine (RDX) Using zerovalent Iron Nanoparticles. **Environmental Science and Technology** 42: 4364-4370.

Naja, G., R. Apiratikul, P. Pavasant, B. Volesky and J. Hawari. 2009. Dynamic and equilibrium studies of the RDX removal from soil using CMC-coated zerovalent iron nanoparticles. **Environmental Pollution** 157: 2405–2412

Pischa, W., Christodoulatos C. and Sidhoumv M. 2006. Kinetics of RDX degradation by zero-valent iron (ZVI). **Hazardous Materials** 136: 68–74.

Ponder, S.M., J.G. Darab and T.E. Mallouk. 2000. Remediation of Cr(VI) anf Pb(II) aqueous solutions using supported, nanoscale zero-valent iron. **Environmental Science and Technology** 34: 2564-2569.

Reardon, EricJ. 1995. Anaerobic Corrosion of Granular Iron: Measurement and Interpretation of Hydrogen Evolution Rates. **Environmental Science and Technology** 29: 2936-2945.

Rosenblatt, D.H., E.P. Burrows, W.R. Mitchell and D.L. Parmer. 1991. Organic explosives and related compounds, pp. 195-232. In O. Hutzinger Jr., eds. **The Handbook of Environmental Chemistry**. Springer-Verlag, Berlin.

Satapanajaru, T. 2002. **Remediation Chloroacetanilide-contaminated Water Using Zero valent Iron.** Ph.D. Dissertation. University of Nebraska. Lincoln. USA.

_____, P. Anurakpongsatorn, P. Penghamkeerati and H. Boparai. 2008. Remediation of Atrazine-contaminated Soil and Water by Nano Zerovalent Iron. **Water Air Soil Pollution** 192: 349–359.

- Satapanajaru, T, P.S. Shea and S.D. Comfort. 2003a. Green Rust and Iron Oxide Formation Influences Metolachlor Dechlorination during Zerovalent Iron Treatment. **Environmetal Science and Technology** 37: 5219-5227.
- _____, S.D. Comfort and P.S. Shea. 2003b. Enhancing metolachlor destruction rates with aluminum and iron salts during zerovalent iron treatment. **Environmental Quality** 32: 1726-1734.
- Sayles, G.D., G. You, M. Wang and M.J. Kupferic. 1997. DDT, DDD and DDE Dechlorination by Zero-Valent Iron. **Environmental Science and Technology** 31: 3448-3454.
- Scherer, M., K.M. Johnson, J.S. Westall and P.G. Tratnyek. 2001. Mass transport effects on the kinetics of nitrobenzene reduction by iron metal. **Environmetal Science and Technology** 35: 2804-2811.
- Shea, P.J., T.A. Machacek and S.D. Comfort. 2004. Accelerated remediation of pesticide-contaminated soil with zerovalent iron. **Environmental Pollution** 132: 183–188.
- Singh, B.K. and A. Walker. 2006. Microbial degradation of organophosphorus compounds. **FEMS Microbial** 30: 428–471.
- Spanggord, R.J., T. Mill, T.W. Chou, W.R. Mabey, J.H. Smith and S. Lee. 1980. **Final report : Environmental fate studies on certain munition wastewater constituents.**
- Sun, Y.P., X. Li, J. Cao, W. Zhang, and H.P. Wang. 2006. Characterization of zero-valent iron nanoparticles. **Advances in Colloid and Interface Science** 120: 47-56.
- Tratnyek, P.G. and R.L. Johnson. 2006. Nano technologies for environmental cleanup. **Nanotoday** 1: 44-48.

United States Environmental Protection Agency. 2004. **Type of Hazardous Waste..**

Hazardous Waste. Available Source:

<http://www.epa.gov/osw/hazard/wastetypes/index.htm>, Jan 15, 2010.

_____. 2005. **In Situ Treatments Using Nano-Scale Zero Valent Iron (nZVI) Implemented in North America and Europe.** pp. 17-18. In Workshop on Nanotechnology for Site Remediation. U.S. Department of Commerce Washington, DC

Varanasi, P., A. Fullana and S. Sidhu. 2007. Remediation of PCB contaminated soils using iron nano-particles. **Chemosphere** 66: 1031-1038.

Wang, J. 1994. **Analytical Electrchemistry**. VCH, New York.

Wang, C.B. and W.X. Zhang. 1997. Synthesizing Nanoscale Iron Particles for Rapid and Complete Dechlorination of TCE and PCBs. **Environmental Science and Technology** 31: 2154-2156.

Wanaratna, P., C. Christodoulatos and M. Sidhoum. Kinetics of RDX degradation by zero-valent iron (ZVI). **Hazardous Materials** 136: 68–74.

Weast, R.C. 1978. **Handbook of chemistry and physics**. 58th ed. CRC Press, Inc. West Palm Beach, FL.

Westernoff, P. and J. Jame. 2003. Nitrate removal in zero-valent iron packed columns. **Water Research** 37: 1,818-1,830.

William H.A. 1994. **Herbicide handbook**. 7th ed. Weed Science Society of America, Illinois, USA.

Xin, Z., L. Yu-man, S. Xaio-quan and C. Zu-liang. 2010. Accelerated remediation of pesticide-contaminated soil with zerovalent iron. **Chemical Engineering** 158: 566–570.

Yang, G.C.C. and H.L. Lee. 2005. Chemical reduction of nitrate by nanosized iron:kinetics and pathways. **Water Research** 39: 884-894.

Yinon, J. 1990. **Toxicity and metabolism of explosives**. CRC Press, Ann Arbor, MI.

Zhang, X., Y.M Lina, X.Q. Shanb and Z.L. Chena. 2010. Degradation of 2,4,6-trinitrotoluene (TNT) from explosive wastewater using nanoscale zero-valent iron. **Chemical Engineering** 158: 566–570.

Zhang, X., Y.M. Lina and Z.L. Chen. 2009. 2,4,6-Trinitrotoluene reduction kinetics in aqueous solution using nanoscale zero-valent iron. **Hazardous Materials** 165: 923–927.

Zhu, B.W. and T.T. Lim. 2007. Catalytic Reduction of Chlorobenzene with Pd/Fe Nanoparticles: Reactive Sites, Catalyst Stability, Particle Aging, and Regenerattion. **Environmetal Science and Technology** 41: 7523-7529.

Zhu, B.W., T.T. Lim and J. Feng. 2008. Influences of Amphiphiles on Dechlorination of a Trichlorobenzene by Nanoscale Pd/Fe: Adsorption,Reaction Kinetics, and Interfacial Interactions. **Environmetal Science and Technology** 42: 4513–4519.



TECHNICAL DATA SHEET

NANOFER 25S

Dispersion of zero valent iron nanoparticles

Product specification Chemical

Parameter	Description
Chemical composition of Fe(0)	Fe(core) FeO(shell)
Content of solid phase in dispersion by weight	20% ≈ 85%
Content Fe(0) in solid phase	Fe ₃ O ₄ , FeO, C
Other ingredients in solid phase	organic stabilisator
Other ingredients in liquid phase	17%
Content of Fe(0) in dispersion by weight	
Other ingredients	alpha Fe
Particles morphology	spherical
Average particle size	d50 < 50nm
Particles specific surface area	>25m ² /g
Dispersion colour	black
Dispersion density	1210 kg/m ³
Fe(0) particles density	7870 kg/m ³
Fe₃O₄ density	5700 kg/m ³

Product application

- Decontamination of groundwater, soil
- Decontamination of surface water
- Technological water purification
- Decontamination of technological waste water

Product package and delivery

- NANOFER 25S is packed in steel barrels, with tight PE bag inside, 25 and 50kg
- Small package up to 1kg is delivered in plastic doses

Transport and storage

- No special requirements for transport
- Fe(0) is very reactive, subsequently oxidize to Fe₃O₄, then content of Fe(0) decrease in time.
 - Is necessary to reduce the disperze exposition to air, and dispose the disperze as soon as possible.
 - No storage for a long time.

ประวัติการศึกษา และการทำงาน

ชื่อ – นามสกุล	นางสาวประภัสสร สุนทร ใจดี
วัน เดือน ปี ที่เกิด	26 มีนาคม พ.ศ. 2528
สถานที่เกิด	กรุงเทพมหานคร
ประวัติการศึกษา	พ.ศ. 2547
ดำเนินการศึกษา วท.บ. (วิทยาศาสตร์สิ่งแวดล้อม)	
ภาควิชาวิทยาศาสตร์สิ่งแวดล้อม คณะวิทยาศาสตร์	
มหาวิทยาลัยเกษตรศาสตร์ วิทยาเขตบางเขน	
ตำแหน่งหน้าที่การงานปัจจุบัน	-
สถานที่ทำงานปัจจุบัน	-
ผลงานเด่นและรางวัลทางวิชาการ	-
ทุนการศึกษาที่ได้รับ	<ul style="list-style-type: none"> 1. ทุนอุดหนุนการค้นคว้า และวิจัยประเภทวิทยานิพนธ์ระดับบัณฑิตศึกษา ประจำปีงบประมาณ 2553 2. ทุนสนับสนุนการเสนอผลงานวิจัยแบบปากเปล่าในการประชุมวิชาการระดับนานาชาติ ปี 2553 3. ทุนผู้ช่วยวิจัยของศูนย์นานาชาติโอลิมปิกแห่งชาติ สำนักงานพัฒนาวิทยาศาสตร์